

GM 66021

TRAVAUX D'EXPLORATION ET DE CARTOGRAPHIE GEOLOGIQUES DANS LA REGION DES MONTS OTISH,
PROJET HOTISH, CAMPAGNE ETE 2011

Documents complémentaires

Additional Files



Licence



Licence

Cette première page a été ajoutée
au document et ne fait pas partie du
rapport tel que soumis par les auteurs.

Énergie et Ressources
naturelles

Québec 

IOS Services Géoscientifiques inc.

**TRAVAUX D'EXPLORATION
ET DE CARTOGRAPHIE GÉOLOGIQUES
DANS LA RÉGION
DES MONTS OTISH, QUÉBEC**

**PROJET HOTISH
« CAMPAGNE ÉTÉ 2011 »**

Présenté à

**Mme Marie-Josée GIRARD, Géo.
DIOS EXPLORATION INC.**



GM66021

Par

Jonathan LALANCETTE, Ing.
et
Réjean Girard, géo.

REÇU AU MRNF

04 NOV. 2011

DIRECTION DES TITRES MINERS

Ressources naturelles et Faune

10 JAN. 2012

Dir information géologique

Ville de Saguenay

Date : 27 octobre 2011

Projet : 363

2^e copie

115 2639

SOMMAIRE

Dios Exploration inc. a mandaté IOS Services Géoscientifiques inc. afin de mener une campagne d'exploration et de cartographie géologiques pour l'uranium et les terres-rares dans le cadre du projet Hotish, situé dans le secteur des monts Tichégami. La présente campagne est la quatrième portant sur l'évaluation du potentiel uranifère de ce secteur couvrant plusieurs propriétés. Seules les propriétés Papaskwasati et Extrémité ont été visitées lors de cette intervention. L'objectif de la campagne de l'été 2011 était de :

- Faire un suivi sur les zones identifiées lors des précédentes campagnes, notamment dans les secteurs de l'indice Godzilla et du nord/nord-ouest de la propriété Papaskwasati.
- Mener une campagne de décapage et de rainurage sur l'indice Godzilla ainsi que sur deux autres secteurs de la propriété Papaskwasati où ont été découverts, lors de la présente campagne, des indices uranifères et thorifères.

Les travaux d'exploration, de cartographie, de décapage et de rainurage se sont déroulés du 14 juin 2011 au 3 juillet 2011. Un total de 114 échantillons de roche, sélectionnés ou de rainure, ont été prélevés et analysés. Parmi ces 114 échantillons, 10 présentent des valeurs supérieures à 0,1 % U_3O_8 , dont 5 montrent des valeurs supérieures à 1 % U_3O_8 . Ces résultats se retrouvent principalement dans des roches ultramafiques (nord-ouest de la propriété Papaskwasati), des roches volcaniques (ceinture de Takwa) et des roches granitiques (indice Godzilla).

TABLE DES MATIÈRES

SOMMAIRE.....	II
LISTE DES FIGURES	IV
LISTE DES PHOTOS	V
LISTE DES TABLEAUX.....	V
LISTE DES ANNEXES	V
LISTE DES CARTES.....	VI
INTRODUCTION	1
TERMES DE RÉFÉRENCE.....	2
DESCRIPTION DES PROPRIÉTÉS.....	3
Hotish Est.....	4
Extrémité.....	4
Papaskwasati.....	4
Butte	5
XR	5
XC	5
ACCÈS	6
CLIMAT	7
PHYSIOGRAPHIE.....	8
GÉOLOGIE DES DÉPÔTS MEUBLES.....	8
GÉOLOGIE RÉGIONALE.....	10
TRAVAUX ANTÉRIEURS.....	14
CAMPAGNE D'ÉVALUATION POUR L'URANIUM ET LES ETR.....	15
RÉSULTATS D'ANALYSES	17
Protocole d'analyse pour l'uranium (src).....	17
CONTRÔLE DE LA QUALITÉ ANALYTIQUE (SRC).....	19
RECONNAISSANCE DES SECTEURS CIBLÉS.....	20
Ceinture de Takwa	20
Anomalie magnétique circulaire	26

Hotish est.....	30
godzilla.....	31
ANOMALIE A1.....	33
ANOMALIE B1.....	34
CONCLUSIONS ET RECOMMANDATIONS.....	35
RÉFÉRENCES BIBLIOGRAPHIQUES.....	36

LISTE DES FIGURES

Figure 1 : Localisation du projet.....	1
Figure 2 : Description des propriétés.....	3
Figure 3 : Géologie des propriétés du projet Hotish.....	13
Figure 4 : Visualisation de la ceinture volcanique de Takwa sur levé spectrométrique.....	20
Figure 5 : Localisation des 45 échantillons récoltés dans le secteur de la Ceinture volcanique de Takwa et des anomalies A2 et A3	22
Figure 6 : Reproduction à l'échelle de la tranchée effectuée sur la Ceinture volcanique de Takwa	25
Figure 7 : Visualisation de la trace de l'anomalie magnétique circulaire, sur fond spectrométrique	27
Figure 8 : Localisation des 27 échantillons récoltés dans le secteur où l'anomalie magnétique circulaire se combine à une anomalie spectrométrique.....	28
Figure 9 : Reproduction à l'échelle de la tranchée dans le secteur de l'affleurement I4B.....	29
Figure 10 : Localisation des 7 échantillons récoltés sur le nouveau bloc de cellules de la propriété Hotish Est.....	30
Figure 11 : Localisation des 4 échantillons récoltés dans le secteur de l'anomalie A1	33
Figure 12 : Localisation de l'échantillon récolté dans le secteur de l'anomalie B1	34

LISTE DES PHOTOS

Photo 1 :	Campement du lac Magyar.....	7
Photo 2 :	Photo montrant la présence locale d'uranophane sur certains secteurs dans le secteur de l'affleurement.....	23
Photo 3 :	Photo montrant la texture bréchique de la roche et la présence de chalcopyrite et de l'hématisation des fragments	24
Photo 4 :	Extension de la tranchée datant de l'automne 2009	32

LISTE DES TABLEAUX

Tableau 1 :	Tableau montrant les 6 meilleurs résultats en uranium pour la campagne 2011	18
Tableau 2 :	Tableau présentant les échantillons qui montrent un enrichissement polymétallique.....	18
Tableau 3 :	Tableau montrant la haute teneur en zirconium dans certains échantillons présentant de hauts comptes par seconde.....	27

LISTE DES ANNEXES

Annexe 1 :	Rapports journaliers
Annexe 2 :	Localisation et échantillonnage
Table 1 :	Description des affleurements
Table 2 :	Description des échantillons
Annexe 3 :	Résultats d'analyse
Table 1 :	Résultats d'analyse de la digestion partielle à l'Aqua-Regia, par SRC
Table 2 :	Résultats d'analyse de la digestion totale multiacides, par SRC
Annexe 4 :	Contrôle de la qualité
Table 1 :	Analyse du quartz/matériau de référence interne IOS
Table 2 :	Analyse des matériaux de référence certifiés, par SRC
Table 3 :	Analyse des répliques analytiques (SRC)
Annexe 5 :	Certificats d'analyse

LISTE DES CARTES

Carte 1 : Carte de la propriété

Carte 2 : Carte des affleurements

Carte 3 : Carte de la géochimie

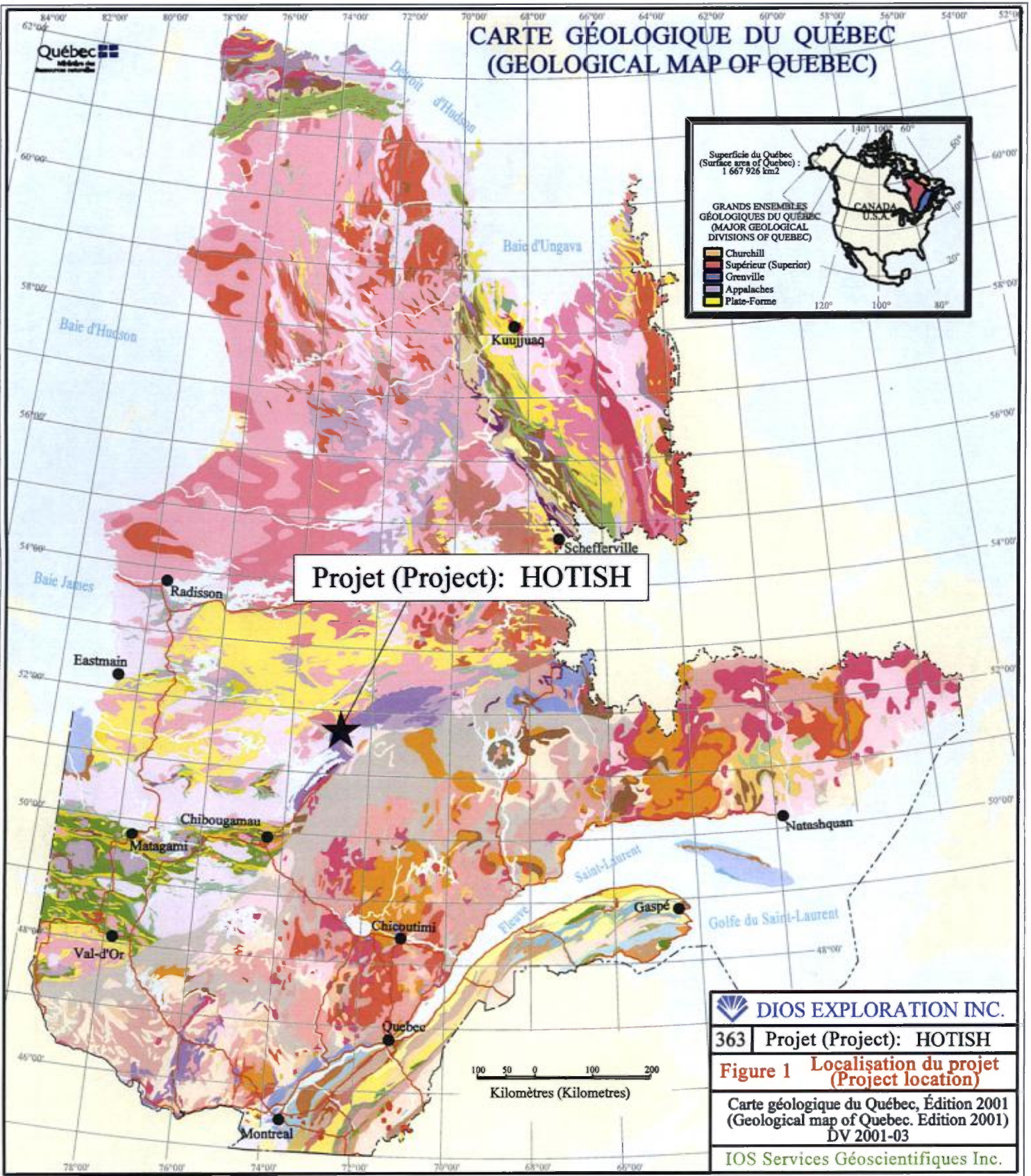
INTRODUCTION

Le présent rapport couvre une campagne d'exploration et de cartographie géologique combinée à une campagne de décapage et de rainurage pour l'uranium et les terres-rares sur le projet Hotish. Ce projet, propriété de Dios Exploration, est situé dans le secteur des monts Tichégami, à l'ouest des monts Otish, au nord-est de Chibougamau. Le projet couvre des propriétés majoritairement situées dans l'arche de Mantouchiche, entre la cuvette paléoprotérozoïque de Papaskwasati et le bassin contemporain d'Otish (monts Otish), dans le nord du Québec, au nord-est du lac Mistassini (*figure 1*). Ces deux bassins sédimentaires paléoprotérozoïques sont reconnus comme étant des environnements propices à contenir des minéralisations uranifères, comme en témoignent les diverses occurrences découvertes entre les années 1970 et 1986. L'intérêt pour ces minéralisations a été renouvelé, il y a quelques années, par la montée du prix de l'uranium ainsi que par la découverte du dépôt de Matoush, par Ressources Strateco inc., dans la partie ouest du bassin des Otish. Les éléments terres-rares font aussi l'objet d'un intérêt grandissant depuis quelques années étant donné l'augmentation de la demande mondiale. Dans le cadre de leur quatrième année de travaux pour l'uranium, Dios a fait appel à d'IOS Services Géoscientifiques inc. pour procéder, sur le terrain, à une campagne d'exploration et de cartographie géologiques en plus d'une campagne de décapage et de rainurage.

Le projet couvre une série de propriétés antérieurement acquises pour leur potentiel diamantifère, lesquelles ont été intensivement étudiées par Dios au cours des neuf dernières années. La taille et le pourtour de ces propriétés ont été régulièrement modifiés par l'abandon ou l'acquisition de nouvelles cellules.

Le but de la présente campagne était d'identifier des extensions de certaines zones minéralisées découvertes à l'été 2008, l'indice Godzilla entre autres. De plus, des secteurs ciblés dans la portion nord et nord-ouest de la propriété Papaskwasati devaient être visités.

Le présent rapport décrit l'examen des affleurements et des blocs erratiques rencontrés avec une brève interprétation de leur contexte, de leur environnement et de leur signification. Il décrit aussi la campagne de décapage et de rainurage.



TERMES DE RÉFÉRENCE

Dios Exploration inc., par l'entremise de sa présidente Mme Marie-Josée Girard, a requis IOS Services Géoscientifiques inc. pour mener une campagne d'exploration et de cartographie géologique pour l'uranium sur les propriétés du projet Hotish. Cette campagne a été menée conjointement à une campagne de décapage et de rainurage.

Le mandat d'IOS pour ce projet inclut :

- La planification logistique de la campagne
- La réalisation des travaux de terrain
- L'envoi des échantillons au laboratoire et la gestion des analyses
- L'interprétation des résultats
- La composition d'un rapport couvrant la campagne.

Aucune enveloppe budgétaire précise n'a été convenue entre les parties, bien qu'un suivi rigoureux des dépenses ait été effectué.

Lors d'une conversation téléphonique, Mme Marie-Josée Girard, présidente de Dios, s'est entendue avec Réjean Girard, président d'IOS, sur l'exécution de la campagne d'exploration et de cartographie géologiques combinée à une campagne de décapage et de rainurage. Cette discussion a eu lieu au printemps 2011. Les cibles d'exploration à visiter ont été majoritairement déterminées par les représentants de Dios à partir des éléments suivants :

- L'interprétation du levé aéromagnétique et spectrométrique à haute résolution fourni par M. Camille St-Hilaire (2008);
- Les résultats des campagnes précédentes;
- L'interprétation des travaux antérieurs de la dernière décennie effectués par Dios sur cette propriété.

Le laboratoire retenu pour effectuer l'analyse des échantillons de roche était le « Saskatchewan Research Council (SRC) » basé à Saskatoon, en Saskatchewan.

La présentation et l'interprétation des résultats ont été effectués par les auteurs et demeurent leur responsabilité exclusive.

DESCRIPTION DES PROPRIÉTÉS

Le projet Hotish comprend six propriétés principales¹ (*figure 2*).

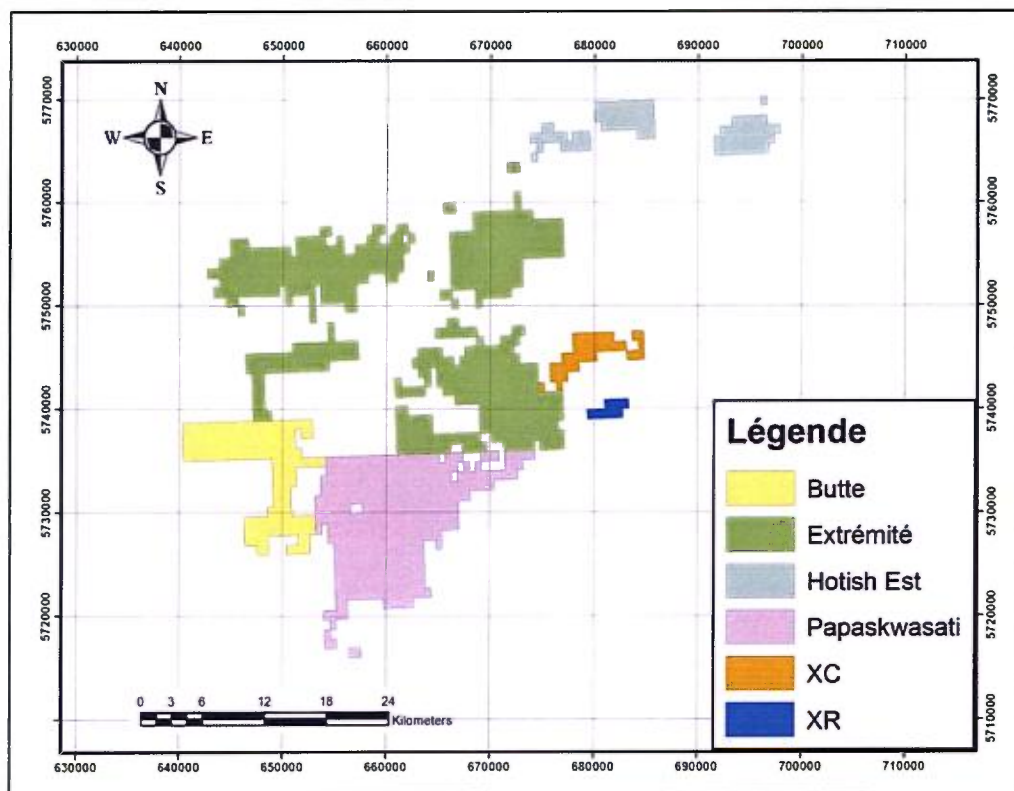


Figure 2 : Le projet Hotish comprend 6 propriétés plus ou moins contiguës et de formes et de dimensions irrégulières. La projection de la figure est en UTM Nad 27, zone 18.

¹ La taille et les pourtours des propriétés décrites dans ce rapport sont celles qui étaient valides à la fin des travaux, c'est-à-dire au début juillet 2011. Plusieurs cellules ont depuis lors expiré.

HOTISH EST

La propriété Hotish Est est composée de 86 cellules non contiguës (**carte 1**) et est attenante à l'ouest de la propriété Matoush de Ressources Strateco. Cette propriété est délimitée par les coordonnées de latitude 52° 3' 00" et 52° 00' 00" ainsi que par les longitudes 72° 7' 00" et 72° 28' 00", et est entièrement contenue sur le feuillet SNRC 1:50 000 33A/01. Elle est de forme irrégulière et couvre une superficie de 45,75 km². Elle se situe sur le flanc nord du bassin des Otish, couvrant essentiellement des strates du grès continental protérozoïque de la Formation d'Indicateur.

EXTRÉMITÉ

La propriété Extrémité, acquise initialement dans le cadre de l'exploration pour le diamant, est située directement à l'ouest du bassin des Otish et de la large propriété de Cameco. Elle couvre plus de la moitié du feuillet SNRC 32P/15 et déborde sur le feuillet SNRC 32P/16, à l'est. Elle est constituée d'un assemblage complexe de cellules formant quatre blocs distincts et quelques cellules isolées. Elle est délimitée par les coordonnées de latitude 51° 45' 00" et 52° 00' 00" et de longitude 72° 25' 30" et 72° 55' 30", couvrant une superficie de 314,53 km² pour 595 cellules (**carte 1**). La propriété Extrémité a été épurée du quart de ces cellules depuis la campagne 2009.

PAPASKWASATI

La propriété Papaskwasati, acquise à l'époque de l'exploration pour le diamant, est située à l'extrémité nord-est de la cuvette de Papaskwasati et se retrouve sur le feuillet SNRC 32P/10 avec une petite partie sur le feuillet 32P/09. Cette propriété contient 341 cellules (**carte 1**) couvrant une superficie de 182,18 km². Elle est formée d'un bloc de forme irrégulière et de cellules isolées. Elle est délimitée par les latitudes 51° 34' 32" et 51° 45' 00" et par les longitudes 72° 47' 00" et 72° 28' 30".

BUTTE

La propriété Butte (anciennement Ashton I et acquise initialement pour l'exploration diamantifère) est un petit bloc de 145 cellules contiguës (environ 77,39 km²) situé à l'ouest/nord-ouest de la propriété Papaskwasati. Elle est de forme irrégulière, délimitée par les latitudes 51° 47' 00" et 51° 40' 00" et par les longitudes 72° 58' 00" et 72° 46' 00". Elle a fait l'objet de travaux intensifs à l'été 2008 au cours desquels un corps minéralisé a été découvert en forage.

XR

La propriété XR, qui est adjacente à la bordure sud-est de la propriété Extrémité, est située sur le feuillet 32P16. Cette propriété contient 10 cellules contiguës pour une superficie de 5,33 km². Elle est de forme allongée et est délimitée par les latitudes 51° 46' 30" et 51° 47' 30" et par les longitudes 72° 24' 00" et 72° 20' 30". La propriété XR a été acquise en raison des anomalies spectrométriques identifiées par Uranertz dans les années 70. De plus, la propriété se situe juste au sud du supposé contact entre des roches mafiques au sud (amphibolite) et des roches sédimentaires protérozoïques.

XC

La propriété XC est un bloc de 38 cellules (20,24 km²), située au nord du bloc XR, également sur le feuillet 32P16. Elle est de forme irrégulière et est délimitée par les latitudes 51° 51' 00" et 51° 48' 00" et par les longitudes 72 °28' 00" et 72° 19' 00". La propriété XC a été acquise en raison des anomalies spectrométriques qui y ont été identifiées par Uranertz dans les années 70 et par Cameco dans les dernières années. La propriété est sise sur les roches sédimentaires protérozoïques, soit les roches de la Formation d'Indicateur.

ACCÈS

Les diverses propriétés du projet sont difficiles d'accès, ne pouvant être atteintes convenablement que par support aéroporté. Le lac du Magyar, dont la rive nord se situe sur la partie sud-est de la propriété Extrémité, est l'étendue d'eau sur laquelle il est le plus facile d'amerrir en période estivale. IOS y a installé un campement temporaire au printemps 2008 (*photo 1*). Ce campement, d'une capacité d'une vingtaine de personnes, a été utilisé lors de la présente campagne. Il a été démantelé à la fin de la même campagne. La base d'hydravion Nisk, située en bordure du lac Mattawashish, près du campement forestier Tournemine, a été utilisée lors de la mobilisation et pour l'acheminement du matériel et du carburant. Lors de la campagne, le campement Magyar a été utilisé comme base de support logistique et pour l'hébergement. Le ravitaillement en carburant de l'hélicoptère se faisait au campement. Presque toutes les réserves de carburant utilisées lors de la campagne ont été achetées à la base Nisk et apportées au campement par hydravion.

La propriété Hotish Est est située sur des terres de catégories III selon la Convention de la Baie-James, tandis que le reste des propriétés est situé sur des terres de catégorie II. Ainsi, les terrains couverts par le projet sont libres de toute restriction en regard des travaux d'exploration minérale, et ce, outre les limitations habituelles inhérentes aux lois sur la protection de l'environnement et sur l'exploitation forestière (conformément à l'Accord de la paix des braves). Cependant, les ressources halieutiques et cynégétiques sont réservées à la nation crie pour les terres de catégorie II. Ce projet est détenu à 100 % par Dios Exploration inc.; il est sans redevance et libre de tout lien.



Photo 1 : Campement du lac Magyar, situé sur la rive nord du lac du même nom. Le campement est situé aux coordonnées UTM 673050/5736140 dans la projection Nad27 zone 18U. Le campement est accessible par hydravion en saison estivale. Le campement a été démantelé à la fin de la présente campagne.

CLIMAT

Le climat de la région des monts Tichégami est de type subarctique, relativement rigoureux, maussade et sujet à de brusques changements. La température moyenne en hiver se situe autour de -10°C , et de 15°C en été. Les précipitations y sont relativement importantes (approximativement 80 cm annuellement), principalement en automne et en hiver. Les lacs y sont libres de leur glace à partir du début du mois de juin jusqu'à la fin du mois d'octobre.

Le couvert végétal de la majeure partie du secteur est de type boréal. Le couvert forestier y est très abondant, quoique considéré non exploitable. Sur les sommets des collines et des montagnes, le couvert végétal est clairsemé, plutôt de type toundra subarctique. Les épinettes noires (*picea mariana*) et les sapins baumiers (*abies balsamea*) sont les essences d'arbre dominant dans le secteur. On peut observer quelques bouleaux blancs (*betula papyrifera*) et peupliers faux-trembles (*populus trembloide*) dans les vallées ainsi que du mélèze laricin (*larix laricina*). Le sol est recouvert d'un épais lit de mousse, de cladonie ou d'éricacées.

PHYSIOGRAPHIE

La région au nord du lac Mistassini fait partie de la région physiographique des collines de Mistassini (Bostok, 1970).

Le massif de Tichégami s'élève à plus de 600 m d'altitude et occupe les feuillets SNRC 32P/15 et 32P/16 et la partie nord des feuillets SNRC 32P/09 et 32P/10. Il comprend les monts Tichégami à l'ouest et le plateau d'Hippocampe à l'est. Les monts Tichégami atteignent localement 830 m d'altitude. Les sédiments meubles n'y occupent que les vallées (Bouchard, 1986). Le plateau d'Hippocampe forme une vaste plaine surélevée qui lie les monts Tichégami, à l'ouest, aux monts Otish, au nord-est. Il occupe la partie ouest du feuillet SNRC 32P16 ainsi que la partie est du feuillet SNRC 22M13. Les sédiments meubles recouvrent 99 % de la surface avec une épaisseur de 3 à 12 m (Bouchard, 1986). Le plateau représente l'extension sud-ouest de la zone d'affleurement de la Formation d'Indicateur (Hasimoto, 1961), masquant celle-ci à l'observation directe.

Le secteur au sud du massif de Tichégami (feuillet SNRC 32P/10) est occupé par la cuvette de Papaskwasati. Dans ce secteur, la topographie se situe entre 450 et 600 m et s'abaisse graduellement du nord au sud, jusque dans les basses-terres de Mistassini. Le relief y est peu accidenté et la topographie ondulante. Une portion de ce terrain a comme substrat les formations sédimentaires non perturbées de Papaskwasati et de Chéno. Les dépôts meubles recouvrent 95 % de la surface et les affleurements sont rares (Bouchard, 1986). Les dépôts meubles présentent une épaisseur de 9 à 12 m et peuvent atteindre jusqu'à 70 m localement, notamment en bordure du plateau d'Hippocampe.

GÉOLOGIE DES DÉPÔTS MEUBLES

La géologie des dépôts meubles du secteur du projet Hotish est relativement bien connue, considérant les nombreux travaux effectués pour l'exploration du diamant menés dans le secteur et ses environs.

Le plateau d'Hippocampe (propriété Extrémité est et XC) est caractérisé par des formes du relief glaciaire suggérant des moraines « hummocky » et des drumlins. Selon l'interprétation photo aérienne (Huss, 2002), le secteur est dominé par une mince nappe de till de fusion. L'épaisseur de ce till de fusion est mal connue, mais elle est estimée à 1 ou 2 m, pouvant atteindre 12 m. Il est localement parsemé d'affleurements rocheux et typiquement sablonneux, bien drainé, intensément ferrochelaté, délavé de sa fraction fine et couvert d'un tapis de blocs. Cette nappe repose sur un till de fond, lequel ne peut pas

être échantillonné sur une base systématique. Le relief glaciaire est contrôlé par la morphologie de ce till de fond, notamment par les formes fuselées ou drumlinisées. Le till de fond est typiquement plus limoneux, imperméable et mal drainé. Lorsque non recouvert de till de fusion, il est généralement à l'origine de terrains marécageux, peu podzolisés et présente un tapis de blocs résiduels moins prononcé. Toutefois, la nature localement gréseuse et/ou granitique du socle rocheux est susceptible de produire un till de fond sablonneux peu argileux, ainsi difficile à différencier du till de fusion. Les principales vallées sont tapissées de débris fluvioglaciaires et d'alluvions récents, proportionnellement peu abondants.

Le paysage glaciaire des propriétés Papaskwasati, Extrémité et XR est formé de légères ondulations correspondant à des collines drumlinisées recouvertes d'une nappe de till de fusion. Quelques moraines mineures, orientées perpendiculairement à l'écoulement glaciaire, tapissent localement les moraines fuselées ou drumlinisées. De vastes zones marécageuses correspondent à un till de fond imperméable. Les dépôts meubles semblent relativement épais et très peu d'affleurements sont répertoriés, excepté sur les hauts topographiques. Quelques eskers sinueux suivent le creux des vallées et sont orientés sud-ouest.

La partie nord de la propriété Papaskwasati et la partie ouest d'Extrémité ainsi que la propriété Butte sont caractérisées par des dépôts de till relativement minces près du sommet des monts. De nombreux phénomènes de reptation, d'éboulis et d'accumulations de blocs sont présents près des escarpements rocheux et des vallées étroites. La partie nord se distingue par quelques formes glaciaires allongées et par des monticules de till s'apparentant à des drumlins. Le till de fusion « hummocky » domine cependant ce territoire et une série de terrasses en paliers se trouve à l'extrémité nord, à proximité de la rivière Tichégami.

La direction dominante de transport est orientée selon l'allongement du relief glaciaire, soit sud/sud-ouest à l'est de la propriété Extrémité, mais semble prendre une tendance sud-ouest à l'ouest.

GÉOLOGIE RÉGIONALE

La région se situe sur la limite sud du craton du Supérieur, à quelques dizaines de kilomètres au nord-ouest du front tectonique du Grenville. Le secteur est principalement situé dans l'arche de Mantouchiche, lequel représente un promontoire stratigraphique du socle ayant séparé, à l'Aphébien (1,7 à 2,5 Ma), les bassins sédimentaires de la Sous-province de Mistassini appartenant aux groupes d'Otish et de Mistassini (Bergeron, 1957). Quelques petits lambeaux de grès sont préservés sur cette arche dans le secteur du lac Mantouchiche, laissant penser à la continuité de la couverture sédimentaire entre les deux groupes. Ces deux groupes représentent des empilements ayant une stratigraphie similaire avec, à la base, des grès continentaux. Ils reposent en discordance sur le socle archéen de la Province du Supérieur (Stockwell, 1964). Au contact des deux, se retrouve localement un paléorégolite (Caty, 1976), lequel affleure à quelques endroits autour du bassin d'Otish et qui a été décrit en forage dans le secteur du dépôt de Matoush. Ces grès évoluent verticalement vers un sommet évaporitique complexe dans le Groupe d'Otish et, latéralement, vers des séquences de marge continentale passive dans le Groupe de Mistassini. En général, ces roches sédimentaires sont subhorizontales, sauf près des failles où on retrouve quelques plis ouverts et près du front du Grenville où les plis sont beaucoup plus serrés (Caty, 1976). Il a été interprété que la cuvette de Papaskwasati, attenante au Groupe de Mistassini qui s'en projette vers le nord ainsi que l'essaim quasi contemporain de filons de diabase de Mistassini représentent la racine d'un aulacogène paléoprotéozoïque.

Les propriétés Hotish Est et XC se situent à l'intérieur du périmètre du bassin sédimentaire du Groupe d'Otish. Cette séquence est, à cet endroit, exclusivement composée de grès de la Formation d'Indicateur, reposant en discordance sur le socle. Cette formation comprend des grès et des conglomérats continentaux de couleur gris-beige avec des teintes rosées et des quantités mineures d'argilites (Caty, 1976). La nature du socle sous-jacent est peu connue. La propriété Hotish Est se situe non loin de la discordance entre les grès et le socle, plus au nord.

La propriété XR couvre des roches métavolcaniques (amphibolite) (**figure 2**) Ces amphibolites font partie de la Ceinture de Takwa, Groupe de Tichégami, ceinture volcanique qui couvre aussi le nord de la propriété Papaskwasati. Ce lithodème, d'âge Archéen, qui appartient à la Province du Supérieur, est composé de roches volcaniques, en dominance des metabasaltes, accompagnées de quelques roches sédimentaires (Chown, 1971). On les retrouve en lambeaux étroits d'amphibolites et de schistes, orientés plus ou moins est-ouest (Huss, 2002). Il est incertain que ces roches soient affiliées à la

Sous-province d'Opatica ou qu'elles représentent des lambeaux de la ceinture volcanique de la rivière Eastmain supérieure et, qu'ainsi, elles soient affiliées à la Sous-province de La Grande. La répartition exacte de ces roches est mal connue, considérant l'ampleur de la couverture quaternaire et paléoprotozoïque, et ne peut être extrapolée que de leur signature aéromagnétique.

L'est de la propriété Extrémité couvre l'extrémité ouest du bassin sédimentaire protozoïque du Groupe d'Otish ainsi que les gneiss sous-jacents. La couverture sédimentaire y est composée de grès blancs et rosés de la Formation Indicateur, en discordance sur le socle. Le socle est composé de roches granitiques et de gneiss granitiques, lesquels contiennent des lambeaux d'amphibolite et des filons de diabase (Chown, 1971). Le secteur est très peu affleurant, bien drainé et dominé par les dépôts de surface. Il est à noter que le contour exact des strates sédimentaires à l'extrémité ouest du bassin est mal établi.

L'ouest de la propriété Extrémité ainsi que la majeure partie de la propriété Papaskwasati et de la propriété Butte, situés sur le massif de Tichégami, couvrent les roches cristallines de la Province du Supérieur, d'âge Archéen (2,7 Ma). On y retrouve majoritairement des gneiss mixtes, des migmatites gneissiques, des roches granitiques au sud (propriété Papaskwasati) et des gneiss quartzo-feldspathiques dans la portion centrale. Les séquences migmatitiques montrent des similitudes avec celles du Complexe Laguiche et pourraient ainsi être attribuées à la Sous-province d'Opinaca. De nombreuses pegmatites recoupent ce terrain granitique. On trouve aussi des bandes intercalées de « roches vertes » d'origine métavolcanique et métasédimentaire, variablement attribuées au Groupe de Téchigami. Toutes ces roches ont subi l'orogène kénoraniennne, ce qui a imprimé l'orientation est-ouest au grain structural prédominant (Bouchard, 1986). Des affleurements de péridotite, déjà connus, ont été observés sur les propriétés Butte et Papaskwasati. Des filons kimberlitiques ont aussi été découverts dans le secteur lors d'une campagne antérieure. Des zones d'affleurements sont présentes au sommet des collines, près des escarpements des monts et aux abords de ruisseaux, lesquels sont des affluents de la rivière Tichégami.

On retrouve, au sud-ouest de la propriété Papaskwasati, la bordure nord de la Formation Papaskwasati. Cette formation constitue une apophyse elliptique dénommée « cuvette de Papaskwasati », considérant que la topographie du socle sous la formation épouse la forme d'une cuvette (Caty, 1976). La formation est composée, de la base au sommet, de conglomérats et de grès conglomératiques, de grès laminés à stratifications entrecroisées avec intercalations de lits d'argilites (Chown, 1960; Neilson, 1966; Chown et Caty, 1973; Caty, 1976). La couleur des grès de cette formation est généralement gris-blanc. Des indices uranifères et/ou thorifères sont localisés sur la bordure orientale de la cuvette, principalement en contact avec des filons protérozoïques tardifs de diabase. On retrouve d'ailleurs ces filons de diabase, orientés nord-sud, dans la partie sud de la propriété Papaskwasati. Par contre, on ne les retrouve pas en contact avec la Formation Papaskwasati (*figure 3*), laissant penser qu'ils leur sont précurseurs.

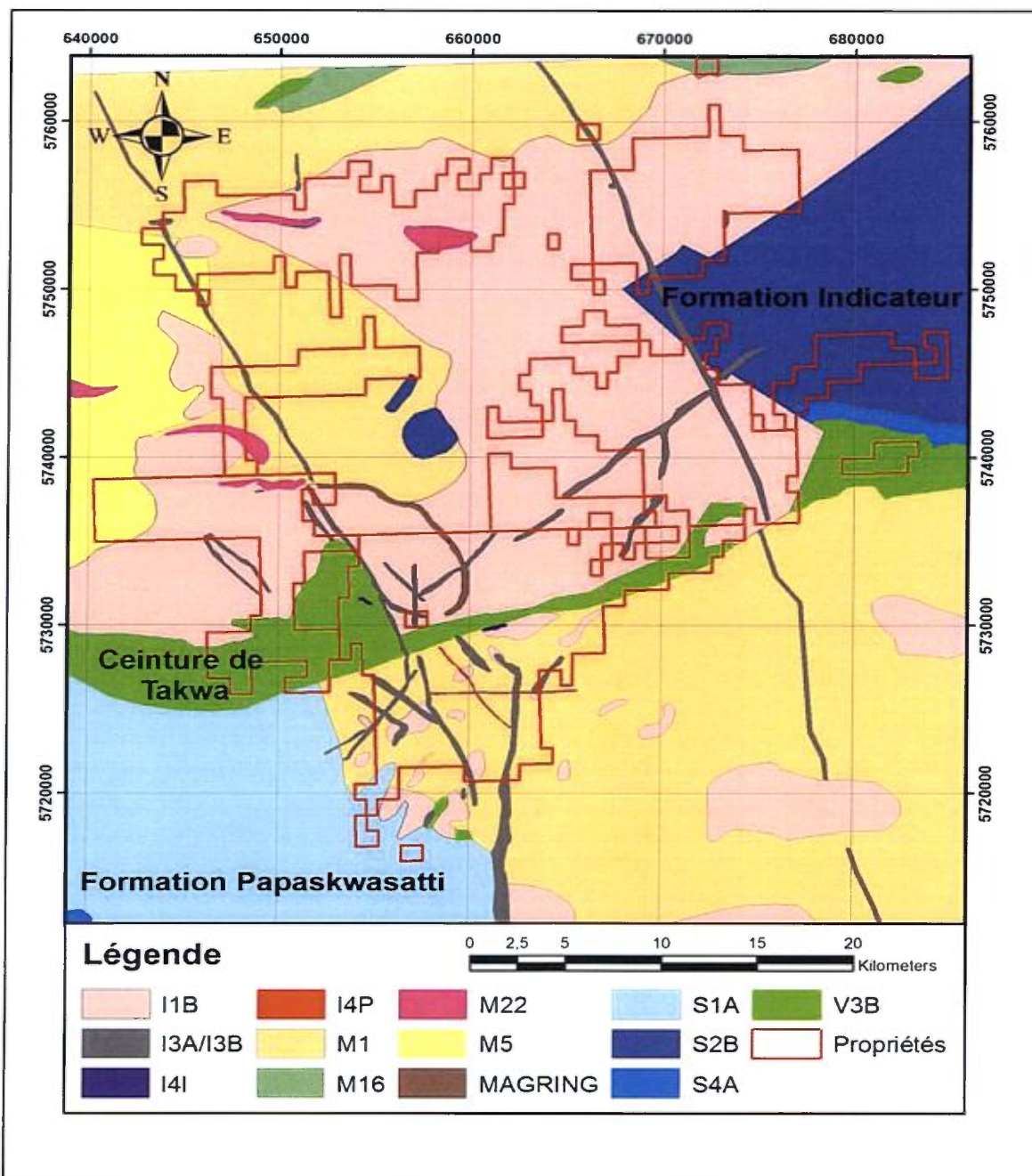


Figure 3 : Géologie des propriétés du projet Hotish,¹ située sur les feuillets SNRC 32P09, 32P10, 32P15 et 32P16.

¹ La carte géologique est principalement inspirée de travaux de compilation (Huss, 2002; Doucet, 2009). Certains contacts sont basés sur l'interprétation des cartes magnétiques, spectrométriques ainsi que des photos aérienne. Ils demeurent théoriques.

TRAVAUX ANTÉRIEURS

La cartographie régionale, à l'échelle d'un mille au pouce, a été effectuée dans les années 1960 par divers intervenants du ministère des Richesses naturelles du Québec. La cartographie de l'est de la propriété Extrémité, soit le feuillet SNRC 32P/16, a été effectuée par Hashimoto (1961) et reprise par Chown (1971). Plusieurs études universitaires ou régionales ont aussi été réalisées sur le Groupe Otish (Genest, 1989; Huss, 2002; Lamontagne, 1996).

Le secteur des propriétés Papaskwasati, Butte (Ashton I), XR et XC ainsi que la portion ouest d'Extrémité ont été couverts par Chown (1971) (32P/10, 32P/15 et 32P/16). Des études régionales et universitaires ont aussi traité de la géologie et de la stratigraphie du Groupe de Mistassini et de la cuvette de Papaskwasati (Coty, 1976) ou du Groupe d'Otish (Genest, 1989). De plus, un levé de la géologie du Quaternaire est disponible pour le secteur (Bouchard, 1986).

Concernant les travaux géoscientifiques, aucun levé gouvernemental n'est disponible tant sur le plan de la géophysique aéroportée de haute densité que de la géochimie.

De nombreux travaux d'exploration ont été réalisés dans les environs des diverses propriétés, notamment par Uranerz Exploration and Mining Ltd. ainsi que par SOQUEM entre les années 1970 et 1980. Ces projets comprennent des cartographies géologiques, des levés de spectrométrie aéroportés et au sol, de magnétométrie aéroportés et au sol, de polarisation provoquée, des levés électromagnétiques ainsi que des levés de géochimie des sédiments de lacs, des ruisseaux et des eaux souterraines. Plusieurs centaines de forages sont répertoriés. Des levés aéroportés de radiométrie et de magnétométrie-électromagnétométrie de basse densité ont aussi été réalisés.

Depuis la fin des années 1990, dans le cadre de l'exploration pour le diamant, Dios a effectué de nombreux travaux sur le projet Hotish, auxquels s'ajoutent les travaux de ses concurrents sur les propriétés adjacentes. Ces travaux comprennent des cartographies géologiques, des levés de minéraux lourds et de géochimie des dépôts quaternaires, de la magnétométrie aéroportée et au sol ainsi que des forages.

Finalement, au cours des six dernières années, Dios a effectué divers travaux spécifiquement pour l'exploration uranifère dans le secteur, tout comme ses concurrents l'ont fait dans les secteurs environnants. Ces travaux incluent des levés de spectrométrie aéroportés, de la géochimie des sédiments de fond de lacs, diverses campagnes de

cartographie et d'échantillonnage de roches, des levés de géochimie de l'humus ainsi que du forage.

CAMPAGNE D'ÉVALUATION POUR L'URANIUM ET LES ETR

La campagne de travaux de terrain de l'été 2011 vise l'évaluation de quelques anomalies spectrométriques et magnétiques non expliquées, principalement dans le secteur nord de la propriété Papaskwasati, en plus de tenter de mieux délimiter certains indices déjà connus. Des nouveaux blocs de cellules de la propriété Hotish Est devaient aussi être évalués. Durant la campagne, quelques secteurs ciblés ont donc été visités. Un total de 114 échantillons de roche a été prélevé et soumis à l'analyse au cours de cette campagne (**carte 2 et 3, annexe 2 et 3**). La majorité de ces échantillons proviennent d'affleurements. Parmi ces échantillons, 25 ont été récoltés en rainure.

Les travaux d'exploration et de cartographie se sont déroulés du 15 juin 2011 au 2 juillet 2011 (**annexe 1**) pour les 18 jours de travail. La mobilisation de l'équipe s'est faite le 14 juin 2011 et la démobilisation le 3 juillet 2011. Le rainurage a été fait à l'intérieur de cet intervalle de temps. Le camp du Magyar, situé en bordure du lac Magyar et opéré par IOS, a été utilisé comme base de support logistique pour l'ensemble de la campagne. Les échantillons ont été acheminés aux installations d'IOS pour être ensuite expédiés au laboratoire SRC (Saskatchewan Research Council) à Saskatoon, en Saskatchewan.

L'équipe de terrain était composée de membres du personnel :

- Jonathan Lalancette, ingénieur
- Daniel Boudreau, étudiant 1^{er} cycle en géologie
- Robby Aumond, technicien en géologie
- Jean-David Pelletier, technicien en géologie
- Julie Perras, étudiante 1^{er} cycle en géologie
- Katherine Jetté, étudiante 1^{er} cycle en géologie

Carol Desormeaux, ingénieur junior et représentant de Dios, a participé aux travaux du début de la campagne jusqu'au 25 juin 2011. La compagnie Hélicoptère Canadien Ltée a assuré le transport des équipes. Pour l'ensemble de la campagne, le pilote a été Dominic Descampes. Ce dernier assurait aussi la maintenance de l'appareil. L'hélicoptère était de type Astar AS350 BA (C-FETA). L'équipe professionnelle et technique était appuyée par le personnel de soutien d'IOS :

- François-Alexis Provost, logisticien
- Jean-Guy Mailhot, cuisinier
- David Boulanger, homme de camp
- Benoît Bélanger, opérateur de pelle mécanique

Lors de la rédaction du rapport, l'auteur a été appuyé par le personnel professionnel d'IOS :

- Réjean Girard, géologue
- Sanmei Gao, géologue et dessinatrice
- Jordy Turcotte, géologue stagiaire
- Justine Pelletier, linguiste

Chaque géologue ou assistant était équipé d'un scintillomètre « Radiation Solution RS120 » super-SCINT ou d'un spectromètre « Radiation Solution RS125 » super-SPEC. Ces appareils sont dotés de cristal d'iodure de sodium dopé de 103 cm^3 . Ils produisent typiquement des lectures 60 % plus élevées que les autres scintillomètres disponibles sur le marché. Ainsi, des comparaisons des comptes ne peuvent pas être faites avec les levés antérieurs ou de tiers partis.

RÉSULTATS D'ANALYSES

PROTOCOLE D'ANALYSE POUR L'URANIUM (SRC)

Un total de 114 échantillons de roche a été récolté et soumis pour l'analyse de l'uranium, des terres-rares et de l'or et des métaux de base lors de la présente campagne d'exploration. Parmi ceux-ci, vingt-cinq ont été récoltés sur les rainures. Tous les échantillons ont été envoyés au laboratoire Saskatchewan Research Council (SRC) situé à Saskatoon. Les échantillons ont été analysés pour :

- Dosage pour les éléments traces par spectrométrie d'émission atomique au plasma (ICP-AES) à la suite d'une digestion partielle à l'Aqua-Regia (16 éléments);
- Dosage pour les éléments majeurs et traces par spectrométrie d'émission atomique au plasma à la suite d'une mise en solution totale multiacides (46 éléments).
- Pour les échantillons dont la concentration est égale ou supérieure à 0,1 % U_3O_8 , ils sont dosés par ICP-OES à la suite d'une digestion à partielle à l'Aqua-Regia.
- L'or est dosé par pyroanalyse avec une finition par spectrométrie d'absorption atomique et/ou ICP-OES (méthode utilisant 30 g).

Les analyses sont listées à l'**annexe 3, tables 1 à 4** et les résultats pour l'uranium sont présentés sur la **carte 3**. Les données du contrôle de la qualité sont fournies à l'**annexe 4, table 1 à 6** et les certificats d'analyse à l'**annexe 5, table 1**.

Les échantillons ont été sélectionnés en fonction de leur radioactivité, nécessitant généralement une lecture de 1000 cps en compte total sur affleurement (ou sur les blocs) pour justifier leur prélèvement. Certains échantillons ont aussi été sélectionnés sur la base de la présence de sulfure. Parmi les 114 échantillons, dix (10) présentent des valeurs supérieures à 0,1 % U_3O_8 , dont quatre (4) ont été pris en rainure (**carte 3) (tableau 1)**.

N°Échantillon	UTM X	UTM Y	LITHOFACIÈS	SECTEUR	% U ₃ O ₈
36390618	660763	5729788	V3	Tranchée 1	1,660 %
36390621	660756	5729791	V3	Tranchée 1	0,624 %
36390641	658599	5735293	V3	Tranchée 1	0,110 %
36390666	658609	5735290	???	Tranchée 2	0,118 %
36390667	676409	5758232	I1B	Godzilla	2,260 %
36390669	676409	5758232	I1B	Godzilla	1,500 %

Tableau 1 : Tableau montrant les 6 meilleurs résultats en uranium pour la campagne 2011. Les échantillons en rainure ne sont pas inclus sur ce tableau.

Certains échantillons, indépendamment de leur teneur en U₃O₈, présentent un enrichissement polymétallique (argent, cuivre, plomb, zinc, nickel). D'autres échantillons montrent des teneurs anormales en thorium et/ou en zirconium (**tableau 2**).

Échantillon	UTM X	UTM Y	U ₃ O ₈ (%)	Ag (ppm)	Cu (ppm)	Ni (ppm)	Pb (ppm)	Th (ppm)	Zn (ppm)	Zr (ppm)
36390551	658609	5735290	0,069	-0,2	5490	454	557	3030	142	13900
36390569	661022	5729848	0,000	-0,2	7	1600	10	1	105	-1
36390570	661034	5729831	0,000	-0,2	77	1370	16	1	173	2
36390573	684073	5767954	0,000	2,1	2300	101	21	3	180	78
36390574	660742	5729791	0,000	0,6	1280	183	15	2	984	53
36390601	658929	5734686	0,000	-0,2	2	1250	6	1	66	2
36390618	660763	5729788	1,660	-0,2	1310	87	6300	95	95	307
36390620	660762	5729795	0,093	-0,2	586	144	434	18	83	185
36390621	660756	5729791	0,624	0,5	1700	49	1430	51	60	269
36390635	658599	5735293	0,004	-0,2	119	548	24	466	99	471
36390637	658599	5735293	0,001	-0,2	32	699	9	43	80	52
36390639	658599	5735293	0,020	-0,2	744	916	230	816	186	1460
36390646	658214	5735331	0,000	-0,2	2	1830	4	-1	133	-1
36390647	658139	5735123	0,000	-0,2	9	943	4	1	105	16
36390665	658609	5735290	0,094	-0,2	549	75	1470	4620	104	14600

Tableau 2 : Tableau présentant les échantillons qui montrent un enrichissement polymétallique (argent, cuivre, plomb, nickel et zinc). Quelques-uns de ces enrichissements sont associés à un enrichissement en uranium et/ou en thorium et/ou en zirconium.

CONTRÔLE DE LA QUALITÉ ANALYTIQUE (SRC)

Cinq échantillons de quartz pur ont été insérés par IOS parmi la séquence d'échantillons analysés (**annexe 4, table 1**). Ce quartz provient de la veine de quartz de haute pureté du lac Bouchette, nettoyé à la brosse et à l'acide oxalique en laboratoire. Plus de mille analyses de ce matériel sont disponibles selon divers protocoles analytiques, lequel est certifié stérile et ayant des teneurs en or et en argent sous les limites de détection habituelles. L'insertion de ce matériel permet de détecter les problèmes de contamination à la salle de préparation, de contamination par le recyclage des creusets, l'effet mémoire sur le spectromètre d'émission atomique au plasma, ainsi que les problèmes de numérotation des échantillons. Aucun problème de contamination ni d'inversion de numéro d'échantillon n'a été détecté.

Le laboratoire SRC a un protocole de mesure de la radioactivité sur les échantillons avant leurs analyses. Les échantillons sont ainsi classés et traités dans différentes chambres de préparation selon leur niveau de radiation et les analyses sont effectuées en ordre croissant, selon leur degré de radiation. Le laboratoire insère aussi des blancs et des matériaux de référence au début de chaque série analytique. C'est pourquoi IOS n'a pas effectué, comme méthode de contrôle de qualité, d'insertions de matériaux de référence ou de duplicatas pour les échantillons de roche.

Le SRC insère divers matériaux de référence entre les séquences des échantillons. Différents types de matériaux sont utilisés pour l'ICP en digestion partielle et en digestion totale. Les résultats des essais et les valeurs certifiées pour ces matériaux sont reportés à l'**annexe 4, table 2**. Aucun problème significatif n'est détecté.

Le SRC effectue également des répliques d'analyse pour chaque groupe d'échantillons afin de s'assurer de la répétitivité des résultats générés. Pour ces répliques, la préparation des échantillons n'est pas répétée. Cette méthode ne permet donc pas de détecter les contaminations possibles lors de la préparation ou d'évaluer l'homogénéité des échantillons. Les résultats de ces répliques sont aussi présentés à l'**annexe 4, table 3**.

RECONNAISSANCE DES SECTEURS CIBLÉS CEINTURE DE TAKWA

La ceinture volcanique de Takwa est sise environ au centre de la propriété Papaskwasati, la traversant d'est en ouest. On remarque cette ceinture de roche volcanique dans le rapport d'interprétation du levé spectrométrique aérien (St-Hilaire, 2007). Elle représente un secteur à basse densité spectrométrique, coïncé entre deux anomalies à haute densité spectrométrique (A2 et A3) (**figure 4**). Plusieurs journées, au cours de la présente campagne, ont été consacrées à ce secteur.

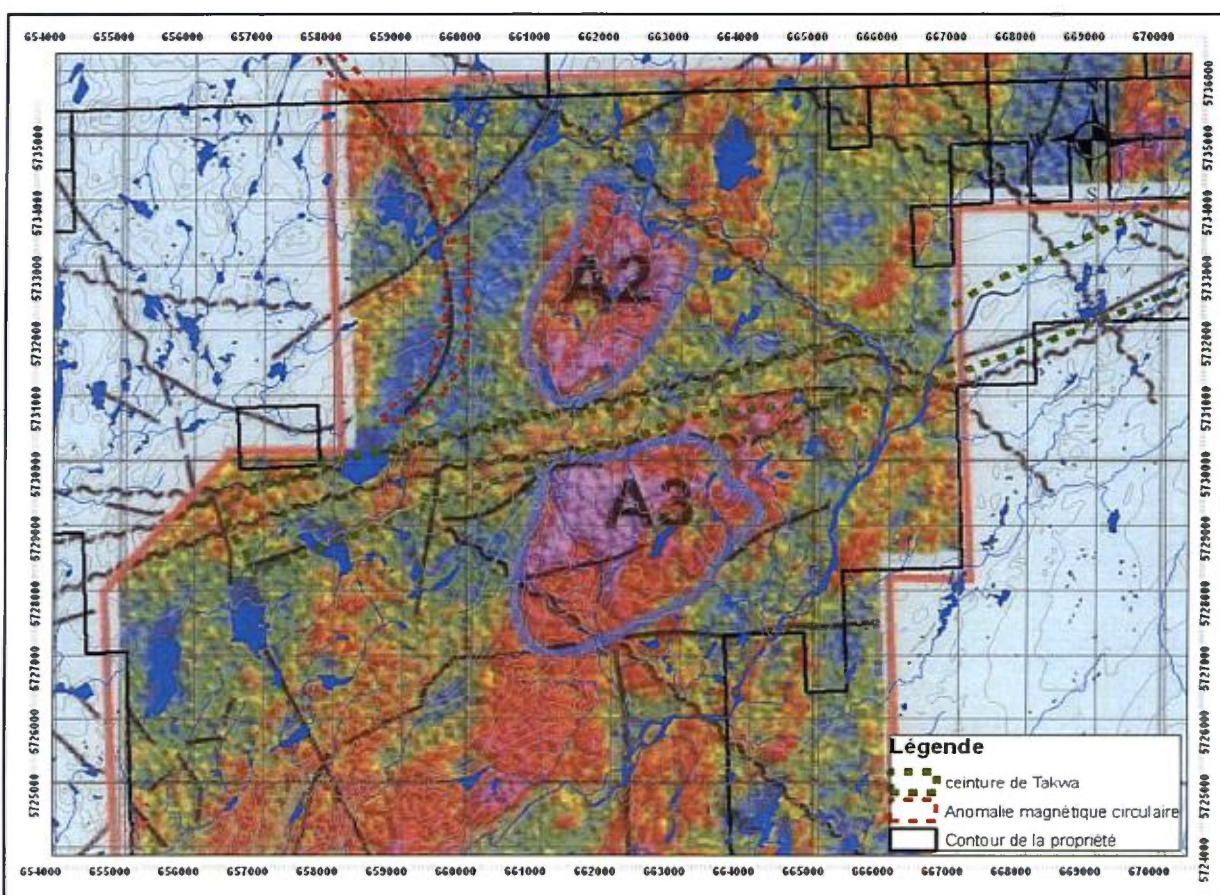


Figure 4 : Visualisation de la ceinture volcanique de Takwa sur le levé spectrométrique (équivalent uranium), représenté par un secteur à basse densité spectrométrique, coïncé entre deux anomalies à haute densité spectrométrique. La carte est dans la projection UTM Nad 27, zone 18.

Directement entre les anomalies spectrométriques A2 et A3, des affleurements de roches volcaniques mafiques à intermédiaires ont été observés. Ces roches sont attribuées à la ceinture volcanique de Takwa. De très hauts comptes spectrométriques au sol ont été notés dans ce secteur, allant jusqu'à 64 000 cps. Un total de 45 échantillons a été récolté dans ce secteur, incluant 5 échantillons ramassés dans le secteur de l'anomalie A2, hors de la ceinture volcanique (**figure 5**). Parmi ces échantillons, seulement 2 montrent des teneurs supérieures à 0,1 % U_3O_8 , soit les échantillons 36390618 (1,66%) et 36390621 (0,624 %). Ces deux échantillons montraient des comptes par seconde de 64 000 cps et 30 000 cps respectivement. Il est à noter que les levés spectrométriques dans le secteur de ces échantillons montraient de très hautes teneurs en potassium. De l'uranophane (**photo 2**) et des sulfures, principalement la chalcopryrite, ont été observés dans ces roches. Une texture bréchique a aussi été notée (**photo 3**) en plus d'un fort cisaillement local, rendant la roche schisteuse. Dans les secteurs où la roche est bréchique, on observe une hématisation des fragments. Une tranchée a été exécutée à proximité de ces deux échantillons. La dimension de cette tranchée est d'environ 5 m de large par 15 m de longueur (**figure 6**). Un total de 14 m linéaires a été rainuré sur la tranchée, pour quatorze échantillons d'un mètre. Plusieurs de ces derniers montrent des teneurs anormales en uranium associées à un enrichissement en cuivre et en plomb.

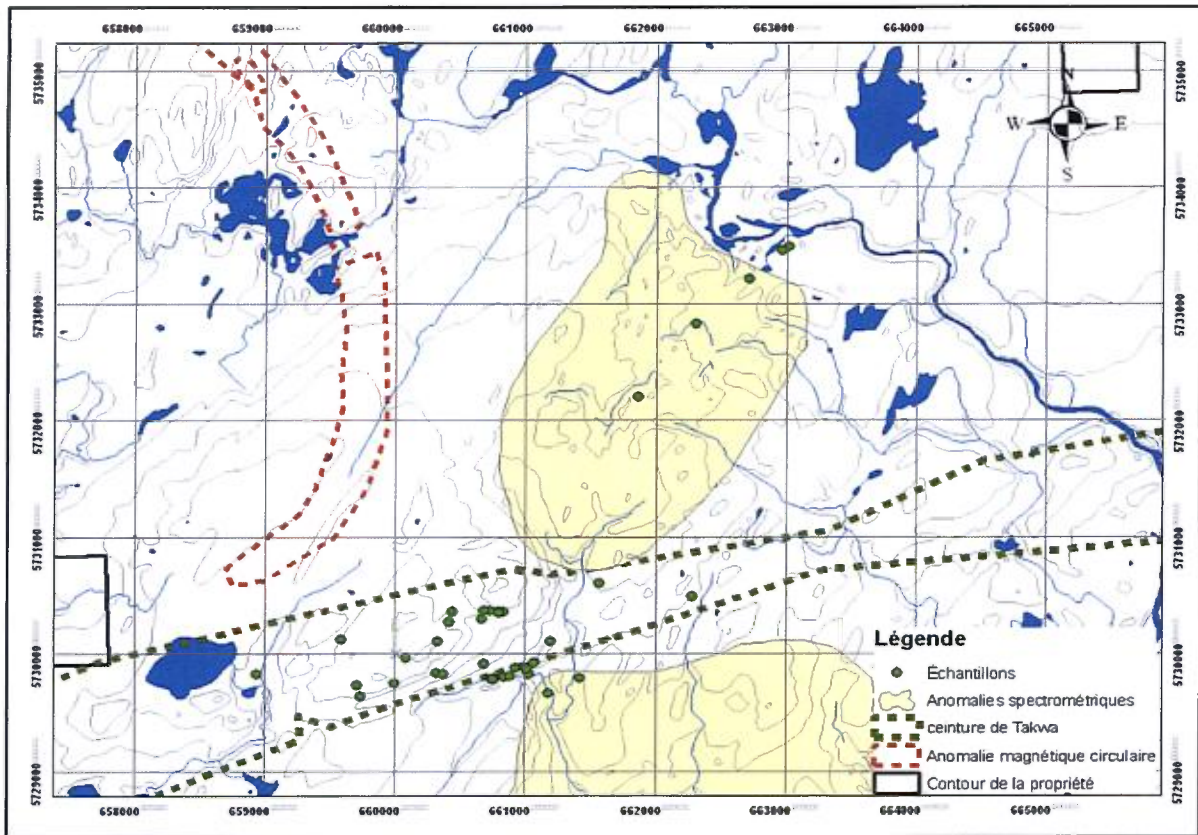


Figure 5 : Localisation des 45 échantillons récoltés dans le secteur de la ceinture volcanique de Takwa et des anomalies spectrométriques A2 et A3. La carte est sur fond topographique, dans la projection UTM Nad 27, zone 18.



Photo 2 : Photo montrant la présence locale d'uranophane sur certains secteurs de l'affleurement où la tranchée a été faite. Le crayon montre l'échelle.



Photo 3 : Photo montrant la texture bréchique de la roche et la présence de chalcopyrite (directement sous le crayon), en plus de montrer l'hématisation des fragments. Le crayon montre l'échelle.

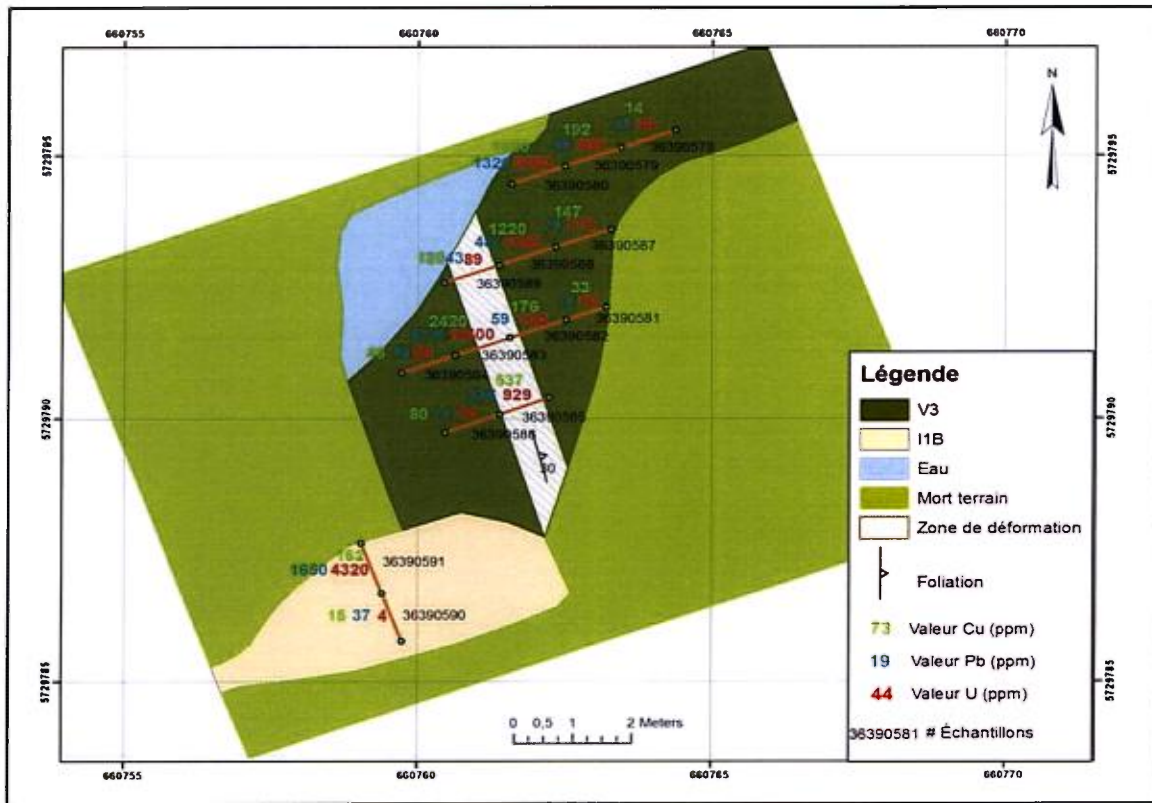


Figure 6 : Reproduction à l'échelle de la tranchée effectuée sur la ceinture volcanique de Takwa. La position des rainurages est en traits rouges, les échantillons de rainures étant délimités par les points. Les résultats des rainures sont issus de la digestion totale, analysés par SRC. On remarque des enrichissements en plomb et en cuivre associés aux teneurs anormales en uranium.

ANOMALIE MAGNÉTIQUE CIRCULAIRE

Une anomalie magnétique annulaire d'une vingtaine de kilomètres de rayon s'étend jusqu'à la propriété Butte (**figure 7**). Cette anomalie a été identifiée sur le levé aéroporté de haute densité effectué par Dios en 2003 lors des travaux pour le diamant, et n'a jamais pu être expliquée. Une partie de cette anomalie est située dans la portion nord-ouest de la propriété Papaskwasati et a été visitée à plusieurs reprises lors de cette campagne, étant une des cibles prioritaires. Des blocs d'amphibolite découverts lors des deux campagnes précédentes montrent des teneurs intéressantes en U_3O_8 , mais aussi en cuivre et en argent. D'autres blocs de même nature ont été observés durant cette campagne. À proximité de ceux-ci, un affleurement de roche intrusive ultramafique a été découvert, présentant de hauts comptes par seconde (entre 2000 cps et 28 500 cps). Les levés spectrométriques sur cette roche donnent des hautes teneurs en thorium. La présence de sulfures (pyrite et chalcopyrite) a aussi été observée. Cette roche ultramafique semble être recoupée par une intrusion mafique. Ces roches intrusives mafiques et ultramafiques sont encaissées dans des roches granitiques. Un total de 27 échantillons a été récolté sur des affleurements dans ce secteur (**figure 8**). Parmi ces échantillons, 14 ont été sélectionnés dans les roches mafiques et ultramafiques ou leur encaissant. De ces 14 échantillons, 4 montrent des teneurs en U_3O_8 supérieures à 0,05 %, soit les échantillons 36390551 (0,069 %), 36390641 (0,110 %), 36390665 (0,094 %) et 36390666 (0,118 %). Les hauts comptes par seconde dans certains de ces échantillons semblent plutôt s'expliquer par la présence de hautes teneurs en thorium et en zirconium (**tableau 3**). Une tranchée a été faite à la pelle hydraulique sur l'affleurement de roche ultramafique (**photo 4**). La dimension de cette tranchée est d'environ 6 m de large par une quinzaine de mètres de longueur (**figure 9**). Un total de 11 m linéaires (11 rainures de 1 m chacune) ont été rainurés sur cette tranchée. On remarque sur ces rainures des teneurs anormales en thorium et en zirconium.

Le reste des échantillons dans le secteur a été récolté sur des roches granitiques situées à proximité du secteur décrit plus haut. Aucun résultat n'est digne de mention parmi ces échantillons. La nature exacte de la roche ultramafique demeure incertaine.

# Échantillons	CPS	U3O8 (%)	Th (ppm)	Zr (ppm)
36390551	10000	0,069	3030	13 900
36390638	9000	0,005	497	1320
36390639	1300	0,020	816	1460
36390641	28500	0,110	3710	15 000
36390650	1100	0,010	824	2400
36390665	???	0,094	4620	14 600
36390666	???	0,118	3870	19 000

Tableau 3 : Tableau montrant la haute teneur en zirconium dans certains échantillons présentant de hauts comptes par seconde, dans le secteur de l'anomalie magnétique circulaire.

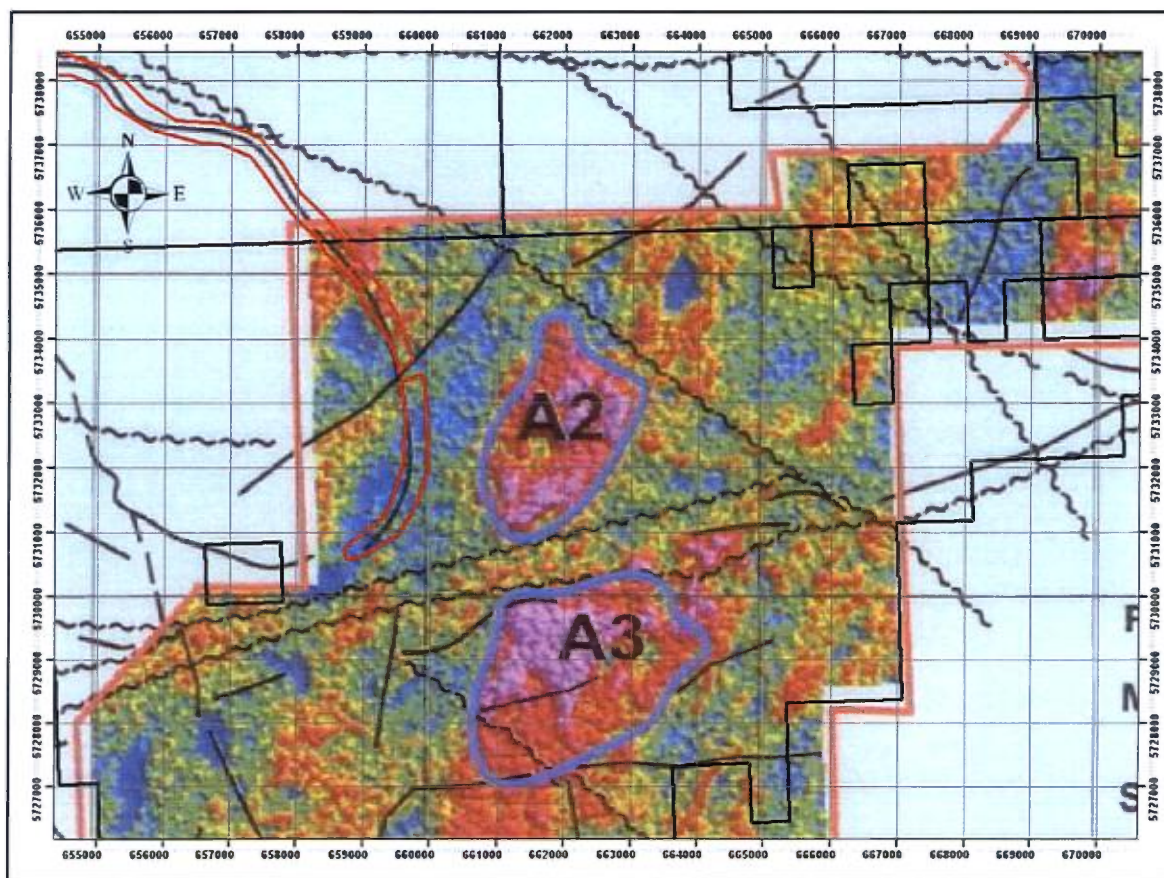


Figure 7 : Visualisation de la trace de l'anomalie magnétique circulaire, sur fond spectrométrique (équivalent uranium). On remarque une petite anomalie en uranium sur le coin nord-ouest du levé spectrométrique. Cette anomalie est une des cibles prioritaires pour cette campagne.

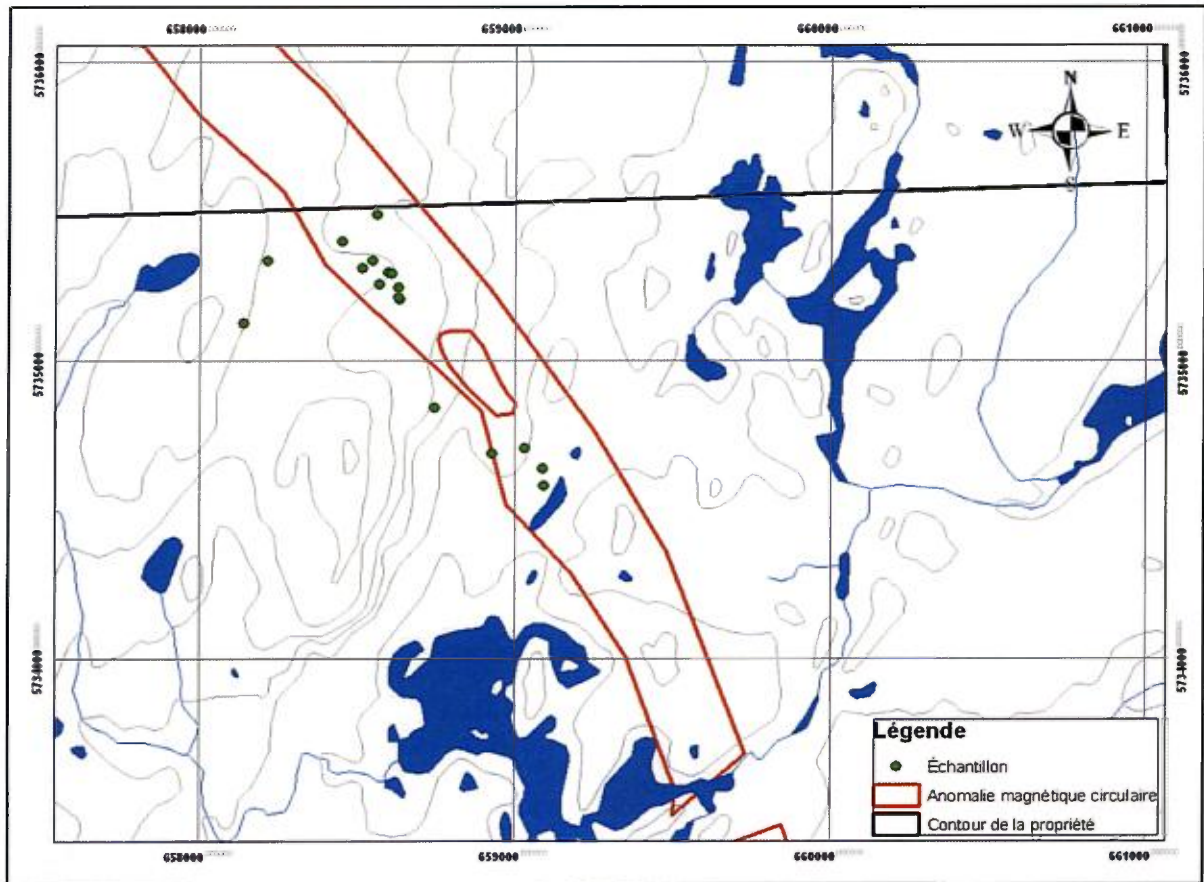


Figure 8 : Position des 27 échantillons récoltés dans le secteur où l'anomalie magnétique circulaire se combine à une anomalie spectrométrique (équivalence uranium). La figure est sur fond topographique, dans la projection UTM Nad 27, zone 18.

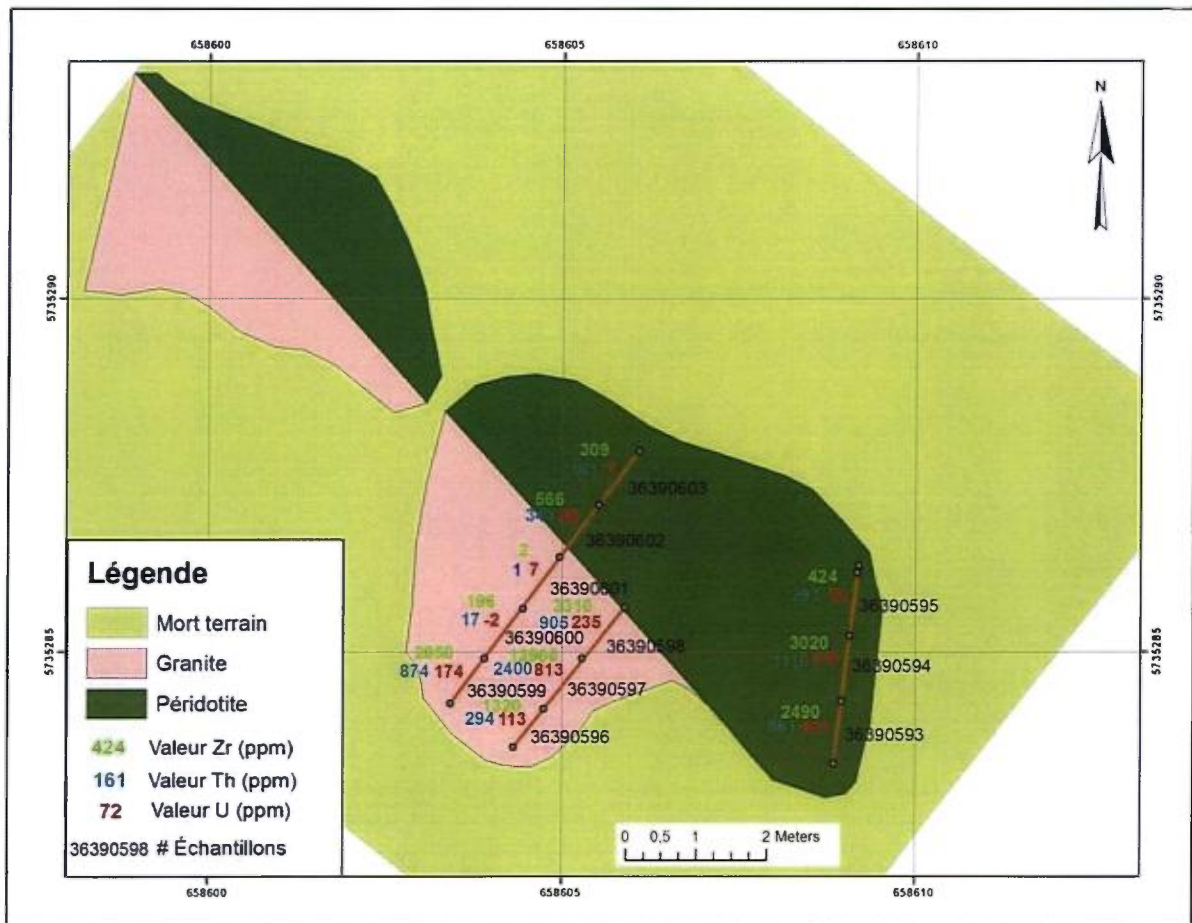


Figure 9 : Reproduction à l'échelle de la tranchée dans le secteur de l'affleurement I4B. La position des rainurages est en traits rouges, les échantillons de rainures étant délimités par les points. Les résultats des rainures sont issus de la digestion totale, analysés par SRC. On remarque que les teneurs en thorium et en zirconium sont plus importantes que les teneurs en uranium.

HOTISH EST

Un nouveau bloc de cellules a récemment été ajouté à la propriété Hotish Est. Il a été visité à quelques reprises par les équipes de géologues lors de la présente campagne. Un total de 7 échantillons a été récolté dans ce secteur (*figure 10*).

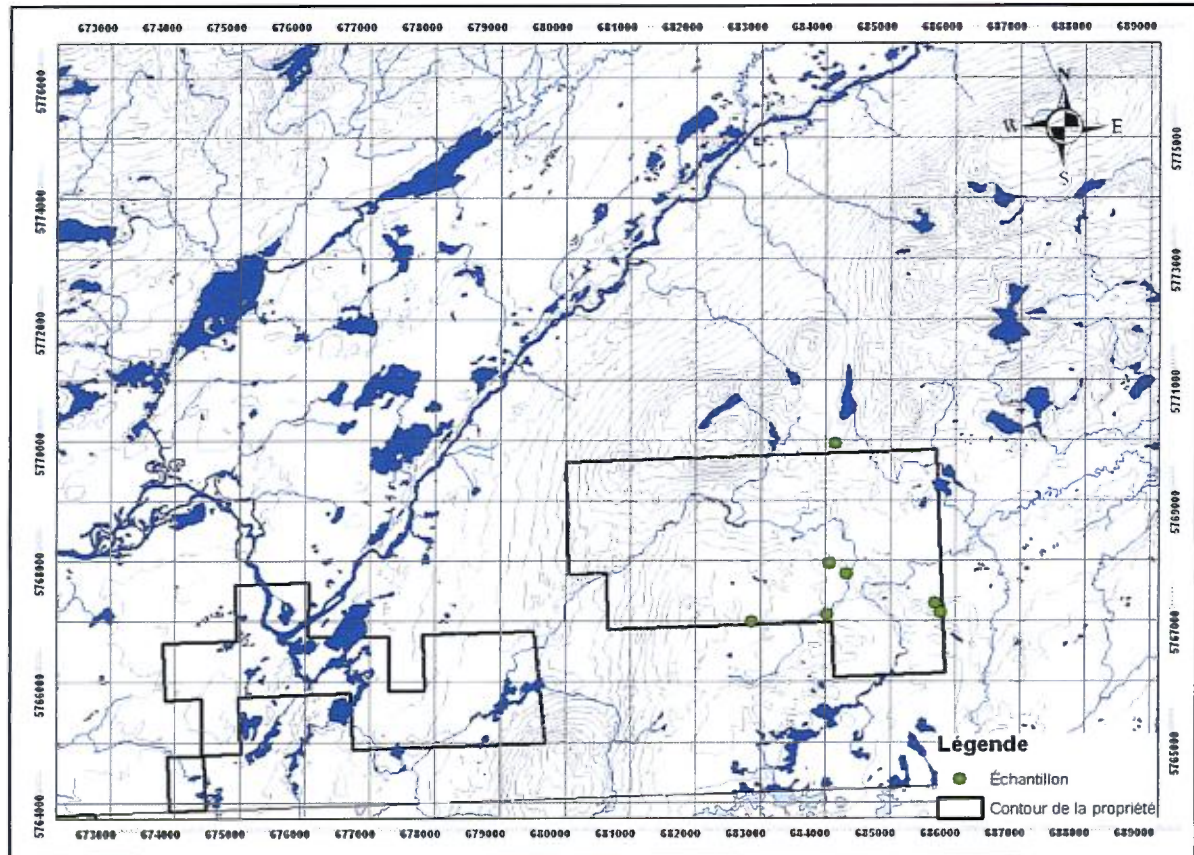


Figure 10 : Localisation des 7 échantillons récoltés sur le nouveau bloc de cellules de la propriété Hotish Est. La carte est sur fond topographique, dans la projection UTM Nad 27, zone 18.

Parmi les sept (7) échantillons, un seul a été choisi pour ses hauts comptes par seconde. Cet échantillon (36390655) est un bloc de pegmatite présentant des lectures radiométriques maximales de 5000 cps. Les résultats montrent une teneur de 0,01 % U_3O_8 . Les autres échantillons ont été récoltés en raison de la présence de sulfure (pyrite) dans la roche. Ils proviennent de roches de composition mafique à intermédiaire,

probablement de nature intrusive. Ces échantillons ne présentent aucun enrichissement en métaux de base.

GODZILLA

Durant la campagne estivale de 2009, un affleurement a été découvert à l'extrémité nord-est de la propriété Extrémité. Certains échantillons choisis sur cet affleurement titraient à plus de 2 % U_3O_8 . Une tranchée et des rainures y avaient été faites plus tard dans la saison. Cet indice a été nommé « Godzilla ». Plusieurs traverses ont été faites dans le secteur de cet indice durant la présente campagne, afin d'y trouver d'une possible extension. Aucune extension n'y a été mise à jour. Seulement 2 échantillons ont été récoltés dans les environs (36390550 et 36390577). Ces derniers ne montrent aucune teneur en U_3O_8 digne de mention.

Aussi, une extension à la tranchée datant de l'automne 2009 a été faite à la pelle hydraulique. Les dimensions de cette extension sont d'une dizaine de mètres vers l'est, de quelques mètres vers l'ouest et de quelques mètres vers le sud (*photo 4*). Un total de trois (3) échantillons choisis ont été pris sur les nouveaux secteurs décapés. Une seule coordonnée n'est fournie pour les trois échantillons étant donné la proximité des trois échantillons. La distance entre les échantillons se trouve à l'intérieur de la précision du GPS utilisé.



Photo 4 : On observe, à droite de la photo, l'extension d'une dizaine de mètres vers l'est. L'extension vers l'ouest et vers le sud de quelques mètres n'est pas visible sur la photo. La pelle mécanique fait l'échelle.

ANOMALIE A1

Une seule traverse a été faite dans le secteur de l'anomalie A1. Le but de la traverse était de visiter le linéament nord/nord-ouest, représenté par un creux topographique, qui recoupe la limite est de l'anomalie spectrométrique. Aussi, un échantillon de sédiment de lac, échantillonné dans ce secteur lors d'une campagne antérieure, montre un enrichissement en U-Ag. Un total de quatre (4) échantillons a été pris à l'intérieur des limites de l'anomalie spectrométrique A1 (**figure 11**). Parmi ces échantillons, un seul a été choisi pour ses comptes par seconde anomaux (700 cps). L'échantillon 36390657 ne présente aucune teneur anormale en uranium. Les autres échantillons ont été sélectionnés pour leur contenu en sulfure. Ils ne présentent aucun enrichissement en métaux de base.

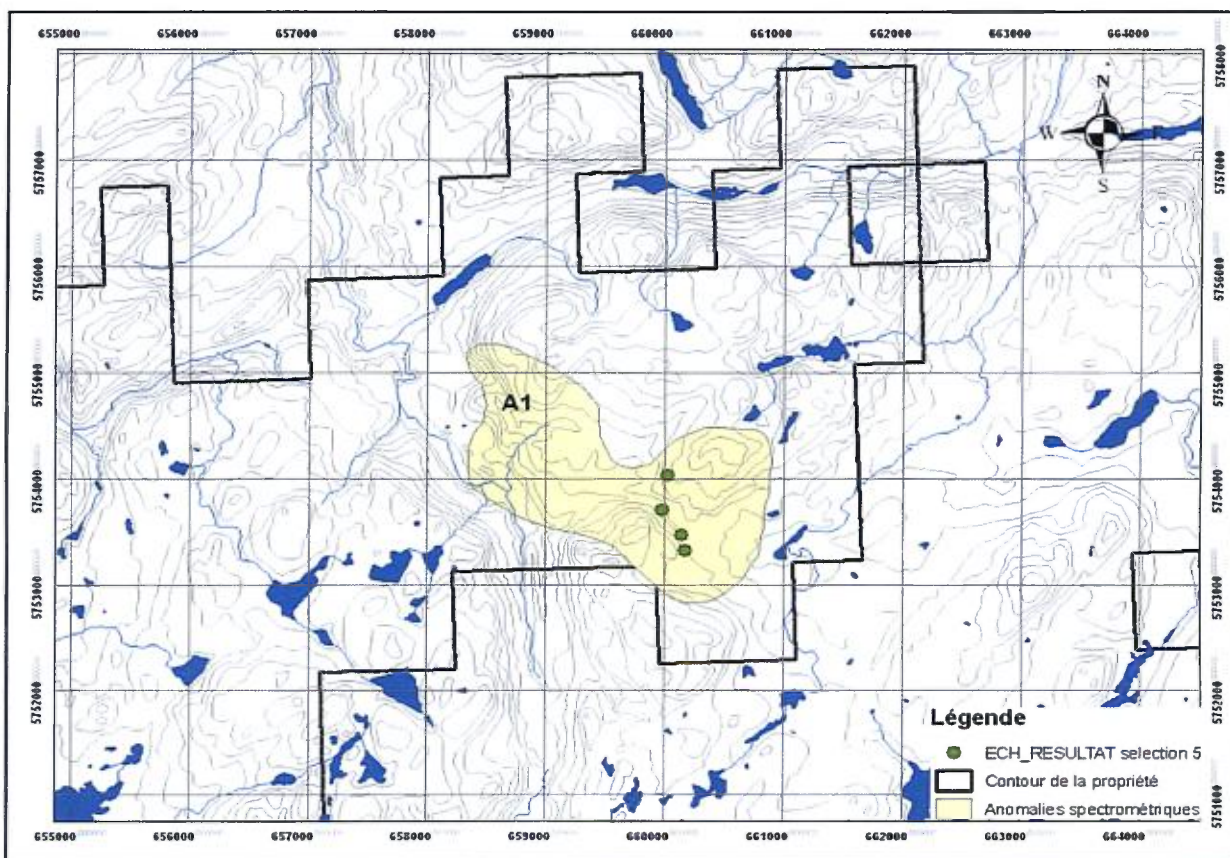


Figure 11 : Localisation des 4 échantillons récoltés dans le secteur de l'anomalie A1. La carte est sur fond topographique, dans la projection UTM Nad 27, zone 18.

ANOMALIE B1

Une seule traverse a été faite dans le secteur de l'anomalie B1. Le but de la traverse était de visiter le linéament nord/nord-ouest, représenté par un creux topographique, qui recoupe la limite est de l'anomalie spectrométrique. Un seul échantillon a été pris dans ce secteur (**figure 12**). La roche échantillonnée (36390652) est un bloc de méta-pyroxénite riche en magnétite d'environ 0,3 m par 0,3 m par 0,4 m. Il a été pris sur le dessus d'une colline où plusieurs blocs de même nature ont été observés. L'échantillon ne montre aucun enrichissement en métaux de base ni aucune teneur en uranium.

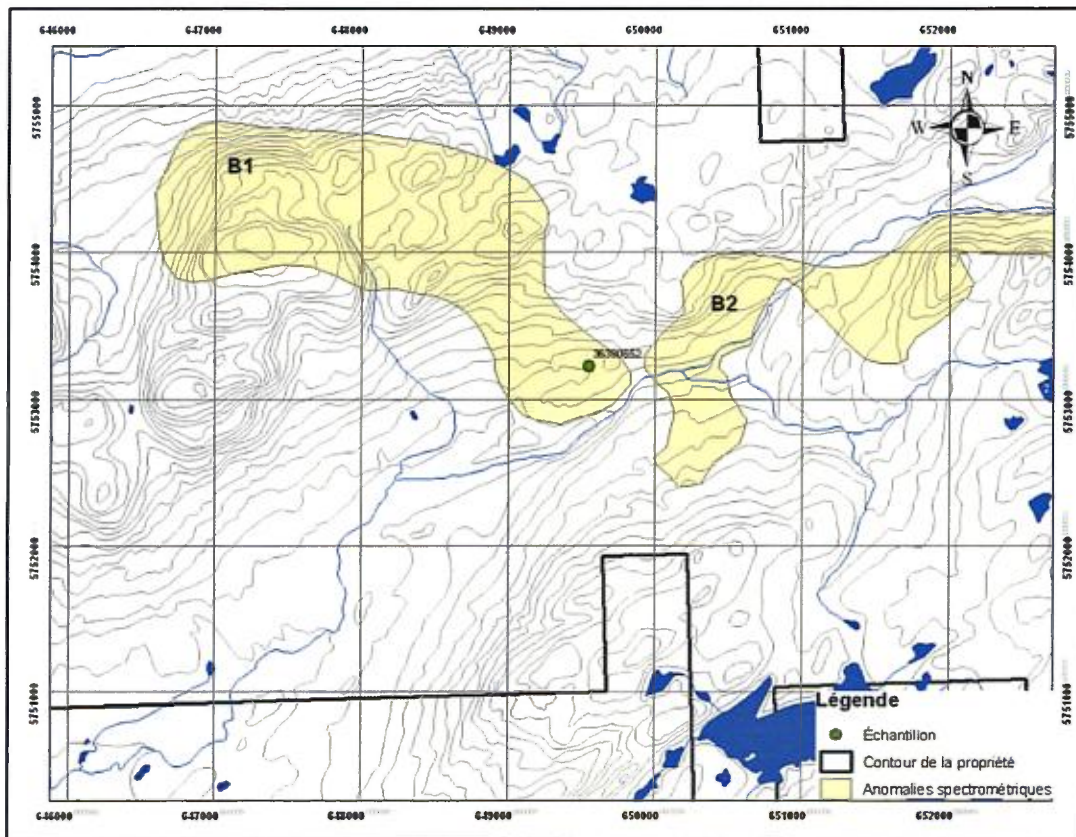
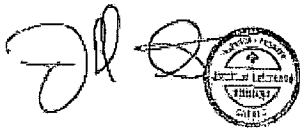


Figure 12 : Localisation de l'échantillon récolté dans le secteur de l'anomalie B1. La carte est sur fond topographique, dans la projection UTM Nad 27, zone 18.

CONCLUSIONS ET RECOMMANDATIONS

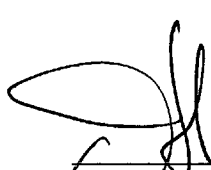
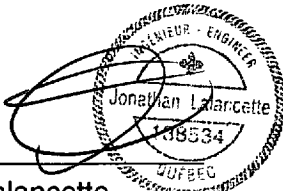
Il est à noter que l'ensemble des propriétés présente peu d'affleurements. Il est donc probable que plusieurs anomalies non expliquées soient intéressantes. Des efforts d'exploration supplémentaires seraient justifiés. Tout particulièrement, une campagne de forage pourrait confirmer ou discréditer le potentiel de plusieurs secteurs. Aussi, la pelle hydraulique utilisée pour faire les tranchées a atteint la limite de ses capacités. Pour mieux comprendre ou voir la roche située à l'endroit des tranchées, une pelle hydraulique plus grosse ou des forages seront nécessaires.

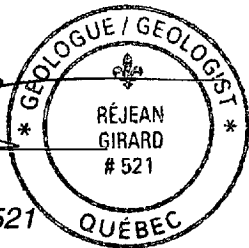


Jonathan Lalancette
Ingénieur OIQ n° 138534

CONCLUSIONS ET RECOMMANDATIONS

Il est à noter que l'ensemble des propriétés présente peu d'affleurements. Il est donc probable que plusieurs anomalies non expliquées soient intéressantes. Des efforts d'exploration supplémentaires seraient justifiés. Tout particulièrement, une campagne de forage pourrait confirmer ou discréditer le potentiel de plusieurs secteurs. Aussi, la pelle hydraulique utilisée pour faire les tranchées a atteint la limite de ses capacités. Pour mieux comprendre ou voir la roche située à l'endroit des tranchées, une pelle hydraulique plus grosse ou des forages seront nécessaires.



Jonathan Lalancette
Ingénieur OIQ n° 138534



Réjean Girard
Géologue, OGQ n° 521

RÉFÉRENCES BIBLIOGRAPHIQUES

- BERGERON, R. (1957). *Late Precambrian rocks of the north shore of the St-Lawrence River and of the Mistassini and Otish Mountains areas, Québec in the proterozoic of Canada*, Société royale du Canada, publication spéciale n° 2, pages 124-131.
- BOUCHARD, M.A. (1986). *Géologie des dépôts meubles de la région de Témiscamie (Territoire du Nouveau-Québec)*, Direction générale de l'exploration géologique et minérale, gouvernement du Québec, 76 p.
- CATY, J-L. (1976). *Stratigraphie et sédimentologie de la Formation de Papaskwasati (région du lac Mistassini)*, ministère des Richesses naturelles, direction générale des mines. 270 p.
- CATY, J-L. Chown, E.H., (1973). *Région de la baie Abatagush, territoire de Mistassini, Québec*, ministère des Richesses naturelles, Québec. DP-189, 18 p.
- CHOWN, E.H. (1971). *Région de la rivière Papachouasati, territoire de Mistassini, Québec*, ministère des Richesses naturelles, Québec. RG 144, 64 p.
- CHOWN, E.H. (1960). *Région de Tichégami*, ministère des Richesses naturelles, Québec. RP-415, 11 p.
- GENEST, S. (1989). *Histoire géologique du bassin d'Otish, du Protérozoïque inférieur, Québec*, thèse de doctorat non publiée, Université de Montréal.
- GIRARD, R. (2007). *Lake-bottom sediment sampling program, Otish Mountains area, volume 1*, IOS Services Géoscientifiques inc., Chicoutimi, 17 p.
- HASHIMOTO, T. (1961). *Région du lac Hippocampe, district de Mistassini, Québec*, ministère des Richesses naturelles, Québec. RP-438, 5 p.
- HUSS, L. (2002). *Compilation géoscientifique de la région du bassin sédimentaire des monts Otish et de la cuvette de Papaskwasati*, IOS Services Géoscientifiques inc. Rapport 02-396, Jonquière, 70 p.

KODIAK EXPLORATION Ltd., 2008, Otish Basin Uranium Properties.
< www.kodiakexp.com/projects/energy/uranium_properties>, 5 p.

LAMONTAGNE, C., et R. Girard (1996). *Exploration program for sediment hosted stratiform deposits of gold and copper in the monts Otish basin*, IOS Services Géoscientifiques inc, Chicoutimi, 45 p.

LALANCETTE, J., et R. GIRARD (2007). *Travaux géologiques de reconnaissance pour l'uranium, région des monts Otish*, IOS Services Géoscientifiques inc, Chicoutimi, 16 p.

LALANCETTE, J., et R. GIRARD (2008). *Travaux géologiques de reconnaissance pour l'uranium, région des monts Otish, deuxième intervention*, IOS Services Géoscientifiques inc. Chicoutimi, 12 p.

NEILSON, J.M. (1966). *Takwa River area*, ministère des Richesses naturelles, Québec. RG-124, 53 p.

ST-HILAIRE, C., 2007. Data interpretation report, high resolution airborne, gamma ray spectrometric survey, Mistassini project, Québec, Montréal, 39 p.

STOCKWELL, C.H. (1964). *Fourth report on structural provinces, orogenies, and time-classification of rocks of the canadian precambrien shield*, Geol. Surv. Canada, 19 p.

ANNEXE 1

RAPPORTS JOURNALIERS

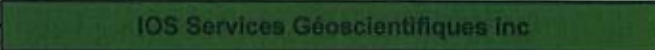
RAPPORT JOURNALIER	Date: 14-06-2011	PROJET: Hotish	CAMPEMENT: Magyar	MÉTÉO: Soleil et chaud
		CLIENT: DIOS	RESP: J. Lalancette	SIGNATURE:
		APPEL QUOTIDIEN : NON		

COMMENTAIRES SUR LES TRAVAUX:
 Mobilisation de Chicoutimi vers Chibougamau.
 Départ de Chicoutimi vers 17h00.
 Arrivée à Chibougamau vers 22h30.
 Jonathan est allé récupérer Carol au terminus.

COMMENTAIRES SUR LA GÉOLOGIE:

PERSONNEL	TÂCHES	Couché	Heures	Hors camps	Échant: De	Échant: A	FACT.
1 : Jonathan Lalancette	Ingénieur Géologue (IOS)	Chibougameau	6	X			FACT.
2 : Daniel Boudreau	Assistant Géologue (IOS)	Chibougameau	6	X			FACT.
3 : Julie Perras	Assistant Géologue (IOS)	Chibougameau	6	X			FACT.
4 : Jean-David Pelletier	Assistant géologue (IOS)	Chibougameau	6	X			FACT.
5 : Robby Aumond	Assistant Géologue (IOS)	Chibougameau	6	X			FACT.
6 : Jean-Guy Maillot	Cuisinier (IOS)	Chibougameau	6	X			FACT.
7 : Carol Desormeaux	Géologue (DIOS)	Chibougameau					NON FACT.

VOLS D'HYDRAVIONS:	AVARIS MECANIQUES:
TEMPS D'HELICOPTERE:	ACCIDENTS:
VOYAGES DE CAMION:	TEMPS MORT:
EXPEDITION D'ÉCHANTILLONS:	AMÉLIORATIONS À PRÉVOIR:
ACHATS:	
MOBILISATION:	
DEMOBILISATION:	AVIS DISCIPLINAIRE:
	VÉRIFICATION:
	FACTURATION:



RAPPORT JOURNALIER		Date: 15-06-2011	PROJET: Hotish	CAMPEMENT: Magyar	MÉTÉO: Soleil et chaud, orages en PM.			
			CLIENT: DIOS	RESP: J. Lalancette	SIGNATURE:			
			APPEL QUOTIDIEN : NON					
COMMENTAIRES SUR LES TRAVAUX:								
Commissions à Chibougamau en avant-midi (épicerie).								
Départ de Chibougamau au environ de 9h30 AM.								
Jean-Guy est parti avec l'hélicoptère								
Arrivée à la base de Air Saguenay à Tournemine. Départ de Tournemine vers 11h30.								
Arrivée au campement vers 12h15.								
Travaux sur le campement pour le reste de la journée. Mobilisation de l'hélicoptère de Chibougamau vers le campement.								
COMMENTAIRES SUR LA GÉOLOGIE:								
Aucun travaux aujourd'hui.								
PERSONNEL	TÂCHES		Couché	Heures	Hors camps	Échant: De	Échant: A	FACT.
1 : Jonathan Lalancette	Ingénieur Géologue (IOS)		Magyar	12				FACT.
2 : Daniel Boudreau	Assistant Géologue (IOS)		Magyar	12				FACT.
3 : Julie Perras	Assistant Géologue (IOS)		Magyar	12				FACT.
4 : Jean-David Pelletier	Assistant géologue (IOS)		Magyar	12				FACT.
5 : Robby Aumond	Assistant Géologue (IOS)		Magyar	12				FACT.
6 : Jean-Guy Maillot	Cuisinier (IOS)		Magyar	12				FACT.
7 : Carol Desormeaux	Géologue (DIOS)		Magyar	12				NON FACT.
8 : Jonathan	Manœuvre (IOS)		Magyar	12				
9 : David Boulanger	Manœuvre (IOS)		Magyar	12				
10: Julien	Manœuvre (IOS)		Magyar	12				
VOLS D'HYDRAVIONS: Tournemine - Magyar (1)			AVARIS MECANIQUES:					
TEMPS D'HELICOPTÈRE: 1,4 heure			ACCIDENTS:					
VOYAGES DE CAMION:			TEMPS MORT:					
EXPÉDITION D'ÉCHANTILLONS:			AMÉLIORATIONS À PRÉVOIR:					
ACHATS:								
MOBILISATION:								
DEMOBILISATION:			AVIS DISCIPLINAIRE:					
			VÉRIFICATION:					
			FACTURATION:					

RAPPORT JOURNALIER	Date: 16-06-2011	PROJET: Hotish	CAMPEMENT: Magyar	MÉTÉO: Soleil et chaud
		CLIENT: DIOS	RESP: J. Lalancette	SIGNATURE:
		APPEL QUOTIDIEN : NON		

COMMENTAIRES SUR LES TRAVAUX:

En attente de la livraison de l'épicerie en AM (il n'y avait pas d'eau potable sur le camp).

Départ pour le terrain vers 10h30.

Arrivée au campement vers 17h00.

Départ de Jonathan en AM.

COMMENTAIRES SUR LA GÉOLOGIE:

Traverses dans le secteur à l'ouest de Godzilla. Plusieurs affleurements de granite sans intérêt. Le background des granites est assez élevé et pourrait expliquer l'anomalie G2.

PERSONNEL	TÂCHES	Couché	Heures	Hors camps	Échant: De	Échant: A	FACT.
1 : Jonathan Lalancette	Ingénieur Géologue (IOS)	Magyar	12		36390550		FACT.
2 : Daniel Boudreau	Assistant Géologue (IOS)	Magyar	12				FACT.
3 : Julie Perras	Assistant Géologue (IOS)	Magyar	12				FACT.
4 : Jean-David Pelletier	Assistant géologue (IOS)	Magyar	12				FACT.
5 : Robby Aumond	Assistant Géologue (IOS)	Magyar	12				FACT.
6 : Jean-Guy Maillot	Cuisinier (IOS)	Magyar	12				FACT.
7 : Carol Desormeaux	Géologue (DIOS)	Magyar	12				NON FACT.
8 : Jonathan	Manœuvre (IOS)	Magyar	12				FACT.
9 : David Boulanger	Manœuvre (IOS)	Magyar	12				FACT.
10: Julien	Manœuvre (IOS)	Magyar	12				FACT.

VOLS D'HYDRAVIONS: Tournemine - Magyar (2)	AVARIS MÉCANIQUES:
TEMPS D'HELICOPTÈRE: 1,4 heure	ACCIDENTS:
VOYAGES DE CAMION:	TEMPS MORT:
EXPÉDITION D'ÉCHANTILLONS:	AMÉLIORATIONS À PRÉVOIR:
ACHATS:	
MOBILISATION:	
DEMOBILISATION:	AVIS DISCIPLINAIRE:
	VÉRIFICATION:
	FACTURATION:

IOS Services Géoscientifiques Inc.

RAPPORT JOURNALIER	Date: 18-06-2011	PROJET: Hotish	CAMPEMENT: Magyar	MÉTÉO: Nuageux, pluie en PM
		CLIENT: DIOS	RESP: J. Lalancette	SIGNATURE:
		APPEL QUOTIDIEN : NON		

COMMENTAIRES SUR LES TRAVAUX:
Départ sur le terrain vers 7h30 AM.
Arrivée au camp vers 15h00.

COMMENTAIRES SUR LA GÉOLOGIE:
Daniel et Julie: Traverse dans le secteur SE de l'anomalie circ (dyke de péridotite). Plusieurs affleurements et blocs de péridotite rencontrés. Quelques blocs de granite minéralisés.
Carol et Robby: Traverse au NW du dyke de péridotite. Granite et paragneiss rencontré.
Jonathan et JD: Tranchée manuelle.

PERSONNEL	TÂCHES	Couché	Heures	Hors camps	Échant: De	Échant: A	FACT.
1 : Jonathan Lalancette	Ingénieur Géologue (IOS)	Magyar	12				FACT.
2 : Daniel Boudreau	Assistant Géologue (IOS)	Magyar	12		36390600	36390604	FACT.
3 : Julie Perras	Assistant Géologue (IOS)	Magyar	12				FACT.
4 : Jean-David Pelletier	Assistant géologue (IOS)	Magyar	12				FACT.
5 : Robby Aumond	Assistant Géologue (IOS)	Magyar	12				FACT.
6 : Jean-Guy Maillot	Cuisinier (IOS)	Magyar	12				FACT.
7 : Carol Desormeaux	Géologue (DIOS)	Magyar	12				NON FACT.
8 : David Boulanger	Manceuvre (IOS)	Magyar	12				FACT.

VOLS D'HYDRAVIONS: NON	AVARIS MÉCANIQUES:
TEMPS D'HÉLICOPTÈRE: 1,5 heure	ACCIDENTS:
VOYAGES DE CAMION:	TEMPS MORT:
EXPÉDITION D'ÉCHANTILLONS:	AMÉLIORATIONS À PRÉVOIR:
ACHATS:	
MOBILISATION:	
DEMOBILISATION:	AVIS DISCIPLINAIRE:
	VÉRIFICATION:
	FACTURATION:

RAPPORT JOURNALIER	Date: 19-06-2011	PROJET: Hotish	CAMPEMENT: Magyar	MÉTÉO: Nuageux, plusieurs averses
		CLIENT: DIOS	RESP: J. Lalancette	SIGNATURE:
		APPEL QUOTIDIEN : NON		

COMMENTAIRES SUR LES TRAVAUX:
Départ sur le terrain vers 7h30 AM.
Arrivée au camp vers 16h30.

COMMENTAIRES SUR LA GÉOLOGIE:
Daniel et JD: Traverses sur l'anomalie A2. Rien vu d'intéressant.
Carol et Robby: Traverse sur l'anomalie A3. Rien vu d'intéressant.
Jonathan et Julie: Traverse entre A2 et A3. Ceinture de Takwa (roches volcaniques) plusieurs échantillons récoltés. Présence de Py-Cpy-Po.

PERSONNEL	TÂCHES	Couché	Heures	Hors camps	Échant: De	Échant: A	FACT.
1 : Jonathan Lalancette	Ingénieur Géologue (IOS)	Magyar	12		36390553	36390560	FACT.
2 : Daniel Boudreau	Assistant Géologue (IOS)	Magyar	12		36390605	36390609	FACT.
3 : Julie Perras	Assistant Géologue (IOS)	Magyar	12				FACT.
4 : Jean-David Pelletier	Assistant géologue (IOS)	Magyar	12				FACT.
5 : Robby Aumond	Assistant Géologue (IOS)	Magyar	12				FACT.
6 : Jean-Guy Maillot	Cuisinier (IOS)	Magyar	12				FACT.
7 : Carol Desormeaux	Géologue (DIOS)	Magyar	12				NON FACT.
8 : David Boulanger	Manceuvre (IOS)	Magyar	12				FACT.

VOLS D'HYDRAVIONS: NON	AVARIS MÉCANIQUES:
TEMPS D'HÉLICOPTÈRE: heure	ACCIDENTS:
VOYAGES DE CAMION:	TEMPS MORT:
EXPÉDITION D'ÉCHANTILLONS:	AMÉLIORATIONS À PRÉVOIR:
ACHATS:	
MOBILISATION:	AVIS DISCIPLINAIRE:
DEMOBILISATION:	VÉRIFICATION:
	FACTURATION:

IOS Services Géoscientifiques inc.

RAPPORT JOURNALIER	Date: 20-06-2011	PROJET: Hotish	CAMPEMENT: Magyar	MÉTÉO: Nuageux, plusieurs averses
		CLIENT: DIOS	RESP: J. Lalancette	SIGNATURE:
		APPEL QUOTIDIEN : NON		

COMMENTAIRES SUR LES TRAVAUX:
Départ sur le terrain vers 7h30 AM. Arrivée au camp vers 16h30.

COMMENTAIRES SUR LA GÉOLOGIE:
Toutes les équipes ont travaillé dans le secteur de la ceinture de Takwa.
Carol et Robby: Traverse dans le secteur ouest de la ceinture, à la bordure de la propriété. Rien d'intéressant n'a été rencontré.
Daniel et JD: Traverse dans le secteur d'un petit affleurement de péridotite. Ils ont trouvé des très hauts comptes dans la mousse (30000 cps) mais n'ont pas pu voir la roche.
Jonathan et Julie: Traverse entre les deux autres équipes. Plusieurs affleurements de roches interm, probablement volc.

PERSONNEL	TÂCHES	Couché	Heures	Hors camps	Échant: De	Échant: A	FACT.
1 : Jonathan Lalancette	Ingénieur Géologue (IOS)	Magyar	12		36390561	36390566	FACT.
2 : Daniel Boudreau	Assistant Géologue (IOS)	Magyar	12		36390610	36390616	FACT.
3 : Julie Perras	Assistant Géologue (IOS)	Magyar	12				FACT.
4 : Jean-David Pelletier	Assistant géologue (IOS)	Magyar	12				FACT.
5 : Robby Aumond	Assistant Géologue (IOS)	Magyar	12				FACT.
6 : Jean-Guy Maillot	Cuisinier (IOS)	Magyar	12				FACT.
7 : Carol Desormeaux	Géologue (DIOS)	Magyar	12				NON FACT.
8 : David Boulanger	Manœuvre (IOS)	Magyar	12				FACT.

VOLS D'HYDRAVIONS: NON	AVARIS MÉCANIQUES:
TEMPS D'HELICOPTÈRE: heure	ACCIDENTS:
VOYAGES DE CAMION:	TEMPS MORT:
EXPÉDITION D'ÉCHANTILLONS:	AMÉLIORATIONS À PRÉVOIR:
ACHATS:	
MOBILISATION:	
DEMOBILISATION:	AVIS DISCIPLINAIRE:
	VÉRIFICATION:
	FACTURATION:
IOS Services Géoscientifiques inc.	

RAPPORT JOURNALIER	Date: 21-06-2011	PROJET: Hotish	CAMPEMENT: Magyar	MÉTÉO: Nuageux, orages
		CLIENT: DIOS	RESP: J. Lalancette	SIGNATURE:
		APPEL QUOTIDIEN : NON		

COMMENTAIRES SUR LES TRAVAUX:
Départ sur le terrain vers 7h30 AM. Arrivée au camp vers 16h30.

COMMENTAIRES SUR LA GÉOLOGIE:
Carol et Robby: Traverse dans le secteur de l'anomalie B1. Un aff de M16 rencontré, sinon M4/I1G.
Le reste de l'équipe est allé faire un décapage manuel sur l'indice trouvé la veille par Daniel et JD. La roche semble être une volc. mafique, schisteuse, riche en Up. La foliation semble déviée à 350N (070N ailleurs dans les volc).

PERSONNEL	TÂCHES	Couché	Heures	Hors camps	Échant: De	Échant: A	FACT.
1 : Jonathan Lalancette	Ingénieur Géologue (IOS)	Magyar	12		36390617	36390622	FACT.
2 : Daniel Boudreau	Assistant Géologue (IOS)	Magyar	12				FACT.
3 : Julie Perras	Assistant Géologue (IOS)	Magyar	12				FACT.
4 : Jean-David Pelletier	Assistant géologue (IOS)	Magyar	12				FACT.
5 : Robby Aumond	Assistant Géologue (IOS)	Magyar	12				FACT.
6 : Jean-Guy Maillot	Cuisinier (IOS)	Magyar	12				FACT.
7 : Carol Desormeaux	Géologue (DIOS)	Magyar	12		36390652		NON FACT.
8 : David Boulanger	Manœuvre (IOS)	Magyar	12				FACT.

VOLS D'HYDRAVIONS: NON	AVARIS MÉCANIQUES:
TEMPS D'HÉLICOPTÈRE: heure	ACCIDENTS:
VOYAGES DE CAMION:	TEMPS MORT:
EXPÉDITION D'ÉCHANTILLONS:	AMÉLIORATIONS À PRÉVOIR:
ACHATS:	
MOBILISATION:	
DEMOBILISATION:	AVIS DISCIPLINAIRE:
	VÉRIFICATION:
	FACTURATION:

IOS Services Géoscientifiques Inc.

RAPPORT JOURNALIER		Date: 23-06-2011	PROJET: Hotish	CAMPEMENT: Magyar	MÉTÉO: Nuageux, orages				
			CLIENT: DIOS	RESP: J. Lalancette	SIGNATURE:				
APPEL QUOTIDIEN : NON									
COMMENTAIRES SUR LES TRAVAUX:									
Départ sur le terrain vers 7h30 AM.									
Arrivée au camp vers 16h30.									
Benoît et Katherine ont couché à Chibougamau.									
COMMENTAIRES SUR LA GÉOLOGIE:									
Traverse sur la nouvelle propriété sur le feuillet SNRC 33A01. Roche mafique rencontrée (probablement dyke de gabbro) et pegmatite encaissée dans des paragneiss. Quelques secteurs cm isolés entre 1000 et 4000 cps dans les IIG. Bruit de fond entre 150 et 250 cps.									
PERSONNEL	TÂCHES			Couché	Heures	Hors camps	Échant: De	Échant: A	FACT.
1 : Jonathan Lalancette	Ingénieur Géologue (IOS)			Magyar	12		36390572	36390573	FACT.
2 : Daniel Boudreau	Assistant Géologue (IOS)			Magyar	12		36390628	36390631	FACT.
3 : Julie Perras	Assistant Géologue (IOS)			Magyar	12				FACT.
4 : Jean-David Pelletier	Assistant géologue (IOS)			Magyar	12				FACT.
5 : Robby Aumond	Assistant Géologue (IOS)			Magyar	12				FACT.
6 : Jean-Guy Maillot	Cuisinier (IOS)			Magyar	12				FACT.
7 : Carol Desormeaux	Géologue (DIOS)			Magyar	12		36390655		NON FACT.
8 : David Boulanger	Manœuvre (IOS)			Magyar	12				FACT.
9: Benoît Bélanger	Manœuvre (IOS)			Chibougamau	6				FACT.
10: Katherine Jetté	Assistant Géologue (IOS)			Chibougamau	6				FACT.
VOLS D'HYDRAVIONS: NON				AVARIS MÉCANIQUES:					
TEMPS D'HÉLICOPTÈRE: heure				ACCIDENTS:					
VOYAGES DE CAMION:				TEMPS MORT:					
EXPÉDITION D'ÉCHANTILLONS:				AMÉLIORATIONS À PRÉVOIR:					
ACHATS:									
MOBILISATION:									
DEMOBILISATION:				AVIS DISCIPLINAIRE:					
				VÉRIFICATION:					
				FACTURATION:					
IOS Services Géoscientifiques inc.									

RAPPORT JOURNALIER	Date: 24-06-2011	PROJET: Hotish	CAMPEMENT: Magyar	MÉTÉO: Pluie et brume
		CLIENT: DIOS	RESP: J. Lalancette	SIGNATURE:
		APPEL QUOTIDIEN : NON		

COMMENTAIRES SUR LES TRAVAUX:
Mauvaise météo, aucun travaux de terrain aujourd'hui. Benoît et Katherine ont couché au camp Nisk.

COMMENTAIRES SUR LA GÉOLOGIE:

PERSONNEL	TÂCHES	Couché	Heures	Hors camps	Échant: De	Échant: A	FACT.
1 : Jonathan Lalancette	Ingénieur Géologue (IOS)	Magyar	12				FACT.
2 : Daniel Boudreau	Assistant Géologue (IOS)	Magyar	12				FACT.
3 : Julie Perras	Assistant Géologue (IOS)	Magyar	12				FACT.
4 : Jean-David Pelletier	Assistant géologue (IOS)	Magyar	12				FACT.
5 : Robby Aumond	Assistant Géologue (IOS)	Magyar	12				FACT.
6 : Jean-Guy Maillot	Cuisinier (IOS)	Magyar	12				FACT.
7 : Carol Desormeaux	Géologue (DIOS)	Magyar	12				NON FACT.
8 : David Boulanger	Manœuvre (IOS)	Magyar	12				FACT.
9 : Benoît Bélanger	Manœuvre (IOS)	NISK	12				FACT.
10: Katherine Jetté	Assistante géologue (IOS)	NISK	12				FACT.

VOLS D'HYDRAVIONS: NON	AVARIS MÉCANIQUES:
TEMPS D'HELICOPTÈRE: heure	ACCIDENTS:
VOYAGES DE CAMION:	TEMPS MORT:
EXPÉDITION D'ÉCHANTILLONS:	AMÉLIORATIONS À PRÉVOIR:
ACHATS:	
MOBILISATION:	
DEMOBILISATION:	AVIS DISCIPLINAIRE:
	VÉRIFICATION:
	FACTURATION:

IOS Services Géoscientifiques Inc.

RAPPORT JOURNALIER	Date: 25-06-2011	PROJET: Hotish	CAMPEMENT: Magyar	MÉTÉO: Pluie et brume
		CLIENT: DIOS	RESP: J. Lalancette	SIGNATURE:
		APPEL QUOTIDIEN : NON		

COMMENTAIRES SUR LES TRAVAUX:
Mauvaise météo, aucun travaux de terrain aujourd'hui.
Benoît et Katherine sont rentrés au camp Magyar en début d'après-midi. Sortie de Carol Desormeaux.

COMMENTAIRES SUR LA GÉOLOGIE:

PERSONNEL	TÂCHES	Couché	Heures	Hors camps	Échant: De	Échant: A	FACT.
1 : Jonathan Lalancette	Ingénieur Géologue (IOS)	Magyar	12				FACT.
2 : Daniel Boudreau	Assistant Géologue (IOS)	Magyar	12				FACT.
3 : Julie Perras	Assistant Géologue (IOS)	Magyar	12				FACT.
4 : Jean-David Pelletier	Assistant géologue (IOS)	Magyar	12				FACT.
5 : Robby Aumond	Assistant Géologue (IOS)	Magyar	12				FACT.
6 : Jean-Guy Maillot	Cuisinier (IOS)	Magyar	12				FACT.
7 : Carol Desormeaux	Géologue (DIOS)						NON FACT.
8 : David Boulanger	Manœuvre (IOS)	Magyar	12				FACT.
9 : Benoît Bélanger	Manœuvre (IOS)	Magyar	12				FACT.
10: Katherine Jetté	Assistante géologue (IOS)	Magyar	12				FACT.

VOLS D'HYDRAVIONS: NON	AVARIS MÉCANIQUES:
TEMPS D'HÉLICOPTÈRE: heure	ACCIDENTS:
VOYAGES DE CAMION:	TEMPS MORT:
EXPÉDITION D'ÉCHANTILLONS:	AMÉLIORATIONS À PRÉVOIR:
ACHATS:	
MOBILISATION:	
DEMOBILISATION:	AVIS DISCIPLINAIRE:
	VÉRIFICATION:
	FACTURATION:

IOS Services Géoscientifiques Inc.

RAPPORT JOURNALIER

Date: 26-06-2011

PROJET: Hotish CAMPEMENT: Magyar MÉTÉO: Pluie AM, soleil PM.
 CLIENT: DIOS RESP: J. Lalancette SIGNATURE:
 APPEL QUOTIDIEN : NON

COMMENTAIRES SUR LES TRAVAUX:

Avant-midi down-time.
 Bûchage de l'emplacement de la première tranchée en après-midi et traverse dans le secteur du dyke de péridotite.
 Une élingue avec des morceaux de la pelle mécanique a été faite.

COMMENTAIRES SUR LA GÉOLOGIE:

PERSONNEL	TÂCHES	Couché	Heures	Hors camps	Échant: De	Échant: A	FACT.
1 : Jonathan Lalancette	Ingénieur Géologue (IOS)	Magyar	12				FACT.
2 : Daniel Boudreau	Assistant Géologue (IOS)	Magyar	12		36390633	36390637	FACT.
3 : Julie Perras	Assistant Géologue (IOS)	Magyar	12				FACT.
4 : Jean-David Pelletier	Assistant géologue (IOS)	Magyar	12				FACT.
5 : Robby Aumond	Assistant Géologue (IOS)	Magyar	12				FACT.
6 : Jean-Guy Maillot	Cuisinier (IOS)	Magyar	12				FACT.
7 : Carol Desormeaux	Géologue (DIOS)						NON FACT.
8 : David Boulanger	Manœuvre (IOS)	Magyar	12				FACT.
9 : Benoît Bélanger	Manœuvre (IOS)	Magyar	12				FACT.
10: Katherine Jetté	Assistante géologue (IOS)	Magyar	12				FACT.

VOLS D'HYDRAVIONS: NON	AVARIS MÉCANIQUES:
TEMPS D'HELICOPTÈRE: heure	ACCIDENTS:
VOYAGES DE CAMION:	TEMPS MORT:
EXPÉDITION D'ÉCHANTILLONS:	AMÉLIORATIONS À PRÉVOIR:
ACHATS:	
MOBILISATION:	
DEMOBILISATION:	AVIS DISCIPLINAIRE:
	VÉRIFICATION:
	FACTURATION:

IOS Services Géoscientifiques inc.

RAPPORT JOURNALIER	Date: 27-06-2011	PROJET: Hotish	CAMPEMENT: Magyar	MÉTÉO: Soleil et chaud
		CLIENT: DIOS	RESP: J. Lalancette	SIGNATURE:
		APPEL QUOTIDIEN : NON		

COMMENTAIRES SUR LES TRAVAUX:
 Tranchée avec la pelle mécanique (tranchée 1).
 Suite de la traverse de la vaille dans le secteur du dyke de péridotite.

COMMENTAIRES SUR LA GÉOLOGIE:

PERSONNEL	TÂCHES	Couché	Heures	Hors camps	Échant: De	Échant: A	FACT.
1 : Jonathan Lalancette	Ingénieur Géologue (IOS)	Magyar	12		36390575	36390576	FACT.
2 : Daniel Boudreau	Assistant Géologue (IOS)	Magyar	12		36390638	36390649	FACT.
3 : Julie Perras	Assistant Géologue (IOS)	Magyar	12				FACT.
4 : Jean-David Pelletier	Assistant géologue (IOS)	Magyar	12				FACT.
5 : Robby Aumond	Assistant Géologue (IOS)	Magyar	12				FACT.
6 : Jean-Guy Maillot	Cuisinier (IOS)	Magyar	12				FACT.
7 : Carol Desormeaux	Géologue (DIOS)						NON FACT.
8 : David Boulanger	Manœuvre (IOS)	Magyar	12				FACT.
9 : Benoît Bélanger	Manœuvre (IOS)	Magyar	12				FACT.
10: Katherine Jetté	Assistante géologue (IOS)	Magyar	12				FACT.

VOLS D'HYDRAVIONS: NON	AVARIS MÉCANIQUES:
TEMPS D'HÉLICOPTÈRE: heure	ACCIDENTS:
VOYAGES DE CAMION:	TEMPS MORT:
EXPÉDITION D'ÉCHANTILLONS:	AMÉLIORATIONS À PRÉVOIR:
ACHATS:	
MOBILISATION:	
DEMOBILISATION:	AVIS DISCIPLINAIRE:
	VÉRIFICATION:
	FACTURATION:

IOS Services Géoscientifiques Inc.

RAPPORT JOURNALIER	Date: 28-06-2011	PROJET: Hotish	CAMPEMENT: Magyar	MÉTÉO: Soleil et chaud
		CLIENT: DIOS	RESP: J. Lalancette	SIGNATURE:
		APPEL QUOTIDIEN : NON		

COMMENTAIRES SUR LES TRAVAUX:
 Tranchée 1 avec la pelle mécanique (Jonathan, Robby et Benoît).
 Deux équipes ont réalisés des traverses dans le secteur sud de Godzilla.

COMMENTAIRES SUR LA GÉOLOGIE:

PERSONNEL	TÂCHES	Couché	Heures	Hors camps	Échant: De	Échant: A	FACT.
1 : Jonathan Lalancette	Ingénieur Géologue (IOS)	Magyar	12				FACT.
2 : Daniel Boudreau	Assistant Géologue (IOS)	Magyar	12		36390577		FACT.
3 : Julie Perras	Assistant Géologue (IOS)	Magyar	12				FACT.
4 : Jean-David Pelletier	Assistant géologue (IOS)	Magyar	12				FACT.
5 : Robby Aumond	Assistant Géologue (IOS)	Magyar	12				FACT.
6 : Jean-Guy Maillot	Cuisinier (IOS)	Magyar	12				FACT.
7 : Carol Desormeaux	Géologue (DIOS)						NON FACT.
8 : David Boulanger	Manœuvre (IOS)	Magyar	12				FACT.
9: Benoît Bélanger	Manœuvre (IOS)	Magyar	12				FACT.
10: Katherine Jetté	Assistante géologue (IOS)	Magyar	12				FACT.

VOLS D'HYDRAVIONS: NON	AVARIS MÉCANIQUES:
TEMPS D'HELICOPTÈRE: heure	ACCIDENTS:
VOYAGES DE CAMION:	TEMPS MORT:
EXPÉDITION D'ÉCHANTILLONS:	AMÉLIORATIONS À PRÉVOIR:
ACHATS:	
MOBILISATION:	
DEMOBILISATION:	AVIS DISCIPLINAIRE:
	VÉRIFICATION:
	FACTURATION:

IOS Services Géoscientifiques Inc.

RAPPORT JOURNALIER	Date: 29-06-2011	PROJET: Hotish	CAMPEMENT: Magyar	MÉTÉO: Nuageux
		CLIENT: DIOS	RESP: J. Lalancette	SIGNATURE:
		APPEL QUOTIDIEN : NON		

COMMENTAIRES SUR LES TRAVAUX:
 Rainurage sur la tranchée 1 (Jonathan, Julie, Daniel et Robby) et bûchage du site de la tranchée 2 (Benoît, Catherine et Jean-David).
 Déplacement de la pelle mécanique en après-midi.
 Début du décapage de la tranchée 2

COMMENTAIRES SUR LA GÉOLOGIE:

PERSONNEL	TÂCHES	Couché	Heures	Hors camps	Échant: De	Échant: A	FACT.
1: Jonathan Lalancette	Ingénieur Géologue (IOS)	Magyar	12				FACT.
2: Daniel Boudreau	Assistant Géologue (IOS)	Magyar	12				FACT.
3: Julie Perras	Assistant Géologue (IOS)	Magyar	12				FACT.
4: Jean-David Pelletier	Assistant géologue (IOS)	Magyar	12				FACT.
5: Robby Aumond	Assistant Géologue (IOS)	Magyar	12				FACT.
6: Jean-Guy Maillot	Cuisinier (IOS)	Magyar	12				FACT.
7: Carol Desormeaux	Géologue (DIOS)						NON FACT.
8: David Boulanger	Manœuvre (IOS)	Magyar	12				FACT.
9: Benoît Bélanger	Manœuvre (IOS)	Magyar	12				FACT.
10: Katherine Jetté	Assistante géologue (IOS)	Magyar	12				FACT.

VOLS D'HYDRAVIONS: NON	AVARIS MÉCANIQUES:
TEMPS D'HELICOPTÈRE: heure	ACCIDENTS:
VOYAGES DE CAMION:	TEMPS MORT:
EXPÉDITION D'ÉCHANTILLONS:	AMÉLIORATIONS À PRÉVOIR:
ACHATS:	
MOBILISATION:	AVIS DISCIPLINAIRE:
DEMOBILISATION:	VÉRIFICATION:
	FACTURATION:

IOS Services Géoscientifiques inc.

RAPPORT JOURNALIER	Date: 30-06-2011	PROJET: Hotish	CAMPEMENT: Magyar	MÉTÉO: Nuageux
		CLIENT: DIOS	RESP: J. Lalancette	SIGNATURE:
		APPEL QUOTIDIEN : NON		

COMMENTAIRES SUR LES TRAVAUX:
 Rainurage sur la tranchée 1 (Jonathan, Julie, Daniel et Robby).
 Bûchage du site de la tranchée 2 (Benoît, Catherine et Jean-Denis).
 Déplacement de la pelle mécanique en après-midi.
 Début du décapage de la tranchée 2.

COMMENTAIRES SUR LA GÉOLOGIE:

PERSONNEL	TÂCHES	Couché	Heures	Hors camps	Échant: De	Échant: A	FACT.
1 : Jonathan Lalancette	Ingénieur Géologue (IOS)	Magyar	12				FACT.
2 : Daniel Boudreau	Assistant Géologue (IOS)	Magyar	12		36390578	36390591	FACT.
3 : Julie Perras	Assistant Géologue (IOS)	Magyar	12				FACT.
4 : Jean-David Pelletier	Assistant géologue (IOS)	Magyar	12				FACT.
5 : Robby Aumond	Assistant Géologue (IOS)	Magyar	12				FACT.
6 : Jean-Guy Maillot	Cuisinier (IOS)	Magyar	12				FACT.
7 : Carol Desormeaux	Géologue (DIOS)						NON FACT.
8 : David Boulanger	Manœuvre (IOS)	Magyar	12				FACT.
9 : Benoît Bélanger	Manœuvre (IOS)	Magyar	12				FACT.
10: Katherine Jetté	Assistante géologue (IOS)	Magyar	12				FACT.

VOLS D'HYDRAVIONS: NON	AVARIS MÉCANIQUES:
TEMPS D'HELICOPTÈRE: heure	ACCIDENTS:
VOYAGES DE CAMION:	TEMPS MORT:
EXPÉDITION D'ÉCHANTILLONS:	AMÉLIORATIONS À PRÉVOIR:
ACHATS:	
MOBILISATION:	
DEMOBILISATION:	AVIS DISCIPLINAIRE:
	VÉRIFICATION:
	FACTURATION:

IOS Services Géoscientifiques Inc.

RAPPORT JOURNALIER	Date: 01-07-2011	PROJET: Hotish	CAMPEMENT: Magyar	MÉTÉO:
		CLIENT: DIOS	RESP: J. Lalancette	SIGNATURE:
		APPEL QUOTIDIEN : NON		

COMMENTAIRES SUR LES TRAVAUX:
Finition de la tranchée 2.
Déplacement de la pelle sur le site de la tranchée 3.

COMMENTAIRES SUR LA GÉOLOGIE:

PERSONNEL	TÂCHES	Couché	Heures	Hors camps	Échant: De	Échant: A	FACT.
1 : Jonathan Lalancette	Ingénieur Géologue (IOS)	Magyar	12				FACT.
2 : Daniel Boudreau	Assistant Géologue (IOS)	Magyar	12		36390657	36390660	FACT.
3 : Julie Perras	Assistant Géologue (IOS)	Magyar	12				FACT.
4 : Jean-David Pelletier	Assistant géologue (IOS)	Magyar	12				FACT.
5 : Robby Aumont	Assistant Géologue (IOS)	Magyar	12				FACT.
6 : Jean-Guy Maillot	Cuisinier (IOS)	Magyar	12				FACT.
7 : Carol Desormeaux	Géologue (DIOS)						NON FACT.
8 : David Boulanger	Manœuvre (IOS)	Magyar	12				FACT.
9 : Benoît Bélanger	Manœuvre (IOS)	Magyar	12				FACT.
10: Katherine Jetté	Assistante géologue (IOS)	Magyar	12				FACT.

VOLS D'HYDRAVIONS: NON	AVARIS MÉCANIQUES:
TEMPS D'HELICOPTÈRE: heure	ACCIDENTS:
VOYAGES DE CAMION:	TEMPS MORT:
EXPÉDITION D'ÉCHANTILLONS:	AMÉLIORATIONS À PRÉVOIR:
ACHATS:	
MOBILISATION:	
DEMOBILISATION:	AVIS DISCIPLINAIRE:
	VÉRIFICATION:
	FACTURATION:

IOS Services Géoscientifiques Inc.

RAPPORT JOURNALIER		Date: 02-07-2011	PROJET: Hotish	CAMPEMENT: Magyar	MÉTÉO:		
			CLIENT: DIOS	RESP: J. Lalancette	SIGNATURE:		
			APPEL QUOTIDIEN : NON				
COMMENTAIRES SUR LES TRAVAUX:							
Réalisation de la tranchée 3 à l'aide de la pelle mécanique.							
Échantillonnage de la tranchée 3 et démobilitation de la pelle mécanique vers le camp.							
COMMENTAIRES SUR LA GÉOLOGIE:							
PERSONNEL	TÂCHES	Couché	Heures	Hors camps	Échant: De	Échant: A	FACT.
1 : Jonathan Lalancette	Ingénieur Géologue (IOS)	Magyar	12				FACT.
2 : Daniel Boudreau	Assistant Géologue (IOS)	Magyar	12		36390593	36390599	FACT.
3 : Julie Perras	Assistant Géologue (IOS)	Magyar	12		36390661	36390669	FACT.
4 : Jean-David Pelletier	Assistant géologue (IOS)	Magyar	12				FACT.
5 : Robby Aumond	Assistant Géologue (IOS)	Magyar	12				FACT.
6 : Jean-Guy Maillot	Cuisinier (IOS)	Magyar	12				FACT.
7 : Carol Desormeaux	Géologue (DIOS)						NON FACT.
8 : David Boulanger	Manœuvre (IOS)	Magyar	12				FACT.
9 : Benoît Bélanger	Manœuvre (IOS)	Magyar	12				FACT.
10: Katherine Jetté	Assistante géologue (IOS)	Magyar	12				FACT.
VOL D'HYDRAVIONS: NON		AVARIS MÉCANIQUES:					
TEMPS D'HÉLICOPTÈRE: heure		ACCIDENTS:					
VOYAGES DE CAMION:		TEMPS MORT:					
EXPÉDITION D'ÉCHANTILLONS:		AMÉLIORATIONS À PRÉVOIR:					
ACHATS:							
MOBILISATION:							
DEMOBILISATION:		AVIS DISCIPLINAIRE:					
		VÉRIFICATION:					
		FACTURATION:				IOS Services Géoscientifiques inc.	

ANNEXE 2

LOCALISATION ET ÉCHANTILLONNAGE

Table 1 : Descriptions des affleurements

Table 2 : Description des échantillons

AFFLEUREMENT	UTM X Nad 27	UTM Y Nad 27	DIMENSION	LITHOLOGIE 1						LITHOLOGIE 2						LITHOLOGIE 3					
				Lithologie	%	Texture	Minéralogie	Couleur	Altération	Lithologie	%	Texture	Minéralogie	Couleur	Altération	Lithologie	%	Texture	Minéralogie	Couleur	Altération
36301187	675655	5758348	11B	99	GM MA	QZ FP BO MG	B4S B3S														
36301188	675059	5758258	11B	99	GM MA	QZ FP BO MG	B4S B3S														
36301189	674886	5758279	11B	99	GM MA	QZ FP BO	B4S B3S														
36301190	674811	5758380	11B	99	GM MA	QZ FP	B4 B3														
36301191	673974	5758022	11B	99	GM MA	FP QZ BO	S4B B3S														
36301192	658675	5735179	14I	99	GF	PX OL	GV G3V	ST													
36301193	658744	5734840	11B	99	GM HJ MA	QZ FK PG	BS SB														
36301194	658929	5734686	14I	99	GF MA	OL PX	V GV	ST													
36301195	659033	5734705	11B	99	GM	QZ PG FK	BS BG														
36301196	659078	5734845	14I	99	GF	OL PX	V GR	ST													
36301197	659091	5734638	11B	99	GM HJ	QZ FP BO PY	GV BO														
36301198	659095	5734580	11D ?	99	GF GM	QZ PG PY	V OG	SI ?													
36301199	659150	5734445	14I	99	GF MA	OL PX	V GV	ST													
36301200	663015	5733458	12	99	GM FO	QZ PG BO PY	SO GB														
36301201	662967	5733455	1M1	99	GF GM FO	QZ PG BO PY	GV GO														
36301202	662716	5733210	12	99	GM RU FO	QZ PG BO FK	SB GS														
36301203	662618	5733105	11B	99	GM MA	QZ PG BO FK	SB BS														
36301204	662310	5732829	11L	99	GM HJ	QZ BO FK PY	S SO														
36301205	661867	5732206	11B	99	GM	QZ FK BO PY	S GS	Oxydation													
36301206	661608	5731727	11B	99	GM MA	QZ FK BO PY	S SO														
36301207	660083	5729976	13B	99	GF FO	PX PG PY															
36301208	660316	5729846	13A	99	GM MA	PG PX PY															
36301209	660370	5729834	13	99	GM HJ	PG PX MG	VB GV														
36301210	660758	5729781	11B	40	GM MA	FP QZ BO	GS		V3	80	GF FO SC	AM PG UP (AUTRE 0 1%)	G	oxydé							
36301211	660840	5729810	13A	99	GM MA	PX PG QZ	GV														
36301212	660886	5729814	13	99	FB GF RU	CL PG QZ	SV														
36301213	660951	5729800	13B	99	GF FO	PX PG CL	VN														
36301214	661181	5729668	11B	99	GM PG	QZ PG FK BO	S SB														
36301215	661419	5729802	13A	99	GM MA	P PX PY	V GV														
36301216	660926	5729884	13	99	FO GF	PX PG QZ BO CL	GV GB														
36301217	661015	5729874	13	99	FO GF MA	PX PG QZ BO MG CL	V VO														
36301218	661198	5730110	13	99	GF FO	PX PG QZ BO MG CL	V G														
36301219	661573	5730603	13	99	GF	PX PG PY CL	V GV														
36301220	662281	5730490	13	40	GF FO	PG PX BO	VS GV		11G	80	PG GM	QZ PG FK BO	SB SO								
36301221	665771	5767158	154B	99	GM GO	QZ	BG BO														
36301222	685686	5767309	13	99	GF MA	PX PG PY MG	V GV														
36301223	684032	5767112	13A	99	GF FO	PG CL PX PY	VB GO														
36301224	684158	5769938	11B	99	GM MA	QZ FP GR BO	B B														
36301225	658562	5735488	11A	99	PG GM MA	QZ FK BO	S BS														
36301226	658635	5735203	13	50	GF	PG PX	V V		11B		GM PG	QZ FP	B B	13A	10	GM	PX PG	BV BV			
36301227	658609	5735290	13	30	GF	PX PG CL	V V		V3	40	GM	QZ FP CL	V B								
36301228	658547	5735333	113	95	GM	QZ FK PG BO	V N	B	V3	5	GF	PX PG	V V								
36301229	658496	5735424	11B	99	GM MA	QZ FP	V B														
36301230	658452	5735397	11B	50	GM MA	QZ FP			11B	10	GM HJ	QZ FP		13	40	GF	PX PG				
36301231	658214	5735331	14I	99	GF	OL PX	VN B														
36301232	658139	5735123	14I	99	GF	OL PX	V VU														
36301233	658414	5735186	11A	99	GM MA	QZ FK	S BS														
36301234	658570	5735254	13	99	GF	PX PG	VN VG														
36301235	658629	5735243	11B	99	GM MA HJ	FP QZ	VB														
36301236	658516	5735308	13	99	GF	PX PG	V GV														
36301237	675928	5756939	11D	99	GM MA HJ	QZ PG BO MG	B B														
36301238	660030	5754029	1M16	99	GF	HB PG	N NV														
36301239	659921	5753707	11B	99	GM MA HJ	QZ PG FK BO	S GO														
36301240	660149	5753471	1M16	99	GF	HB PG	N NV														
36301241	660179	5753329	1M4 OU V2 ?	99	GF FO	(QZ PG) ? BO MG PY	G GO														
36302128	676358	5758380	11B	99	GM MA	FP QZ	S		EQ2	1	GM	QZ	B								
36302129	675942	5758164	11B	98	GM MA	FK QZ	S		13A	1	GM	PG AM	G								
36302130	674995	5758466	11B	99	GM MA	FP QZ	S														
36302131	658609	5735290	11B	50	GG MA PG	QZ FP	B	BV	14I	50	GF	PX OL	GV								
36302132	660834	5730360	13	99	GF FO	AM PG	G5 G	Oxydation													
36302133	660796	5730361	13	99	GF FO	AM PG QZ SF	G5	Oxydation													
36302134	660728	5730368	13	99	GF FO RU	AM FP QZ SF	G5	Oxydation													
36302135	660690	5730358	13	99	GF FO	AM PG QZ SF	G5 GO	Oxydation													
36302136	660669	5730304	13	99	GF FO RU	AM PG QZ SF	G5 GO	Oxydation													
36302137	660556	5730184	13	99	GF FO RU	AM PG QZ	G O	Oxydation													
36302138	660415	5730274	13	99	GF FO RU	AM PG QZ SF	G5 O	Oxydation													
36302139	660238	5730317	13	99	GG MA PG	FP QZ FE MG	GS														
36302140	660106	5730120	13	99	GF FO RU	PG AM	G5 GO	Oxydation													
36302141	662336	5723715	12F	20	GM MA	FK PG	G5 O		12J 13B	99		FK AM									
36302142	659997	5729759	12	99	AM PG QZ SF	G GO															
36302143	659973	5729675	12	99	GM FO	AM PG QZ	GB O														
36302144	659785	5729582	11B	99	GG MA	FK QZ BO	BS														
36302145	659742	5728641	14I	99	GM MA	OL PX BO PY	G O														
36302146	659714	5729741	13	99	GF FO RU	AM PG QZ PY	G5 GO														
36302147	659702	5729997	13	99	GF FO RU	AM PG QZ	G5 GO														
36302148	659593	5730128	13	99	GF FO RU	AM PG QZ PY	G5 GO														
36302149	659074	5730256	13	99	AM PG	G5 GO															
36302150	658943	5729831	12V3	99	GF FO RU	AM PG QZ	G O														
36302151	661069	5719932	13	95	GF FO	AM PG QZ	G5 GO		VQZ	5	GG VN	QZ									

AFFLEUREMENT	STRUCTURE 1			STRUCTURE 2			ÉCHANTILLONS	SECTEUR	DATE	ÉCHANTILLONNEURS
	Type	Direction (°)	Pendage (°)	Type	Direction (°)	Pendage (°)				
36301187							Godzila		2011-06-18	DB/RA
36301188							Godzila		2011-06-18	
36301189							Godzila		2011-06-18	
36301190							Godzila		2011-06-18	
36301191							Godzila		2011-06-18	
36301192							DYKE PÉRIDOTITE		2011-06-18	
36301193							36390600 DYKE PÉRIDOTITE		2011-06-18	DB/JP
36301194							36390601 DYKE PÉRIDOTITE		2011-06-18	DB/JP
36301195							36390602 DYKE PÉRIDOTITE		2011-06-18	DB/JP
36301196							DYKE PÉRIDOTITE		2011-06-18	
36301197							36390603 DYKE PÉRIDOTITE		2011-06-18	DB/JP
36301198							36390604 DYKE PÉRIDOTITE		2011-06-18	DB/JP
36301199							DYKE PÉRIDOTITE		2011-06-18	
36301200							36390605 A2		2011-06-19	DB/JD
36301201							36390606 A2		2011-06-19	DB/JD
36301202							36390607 A2		2011-06-19	DB/JD
36301203							A2		2011-06-19	DB/JD
36301204							36390608 A2		2011-06-19	DB/JD
36301205							36390609 A2		2011-06-19	DB/JD
36301206							A2		2011-06-19	DB/JD
36301207	S	85	85				36390610 A2/A3		2011-06-20	DB/JDP
36301208							36390611 A2/A3		2011-06-20	DB/JDP
36301209							36390612 A2/A3		2011-06-20	DB/JDP
36301210				S	350	85	36390617/36390618/3639019/3639020 A2/A3		2011-06-20	DB/JDP
36301211							36390613 A2/A3		2011-06-20	DB/JDP
36301212							36390614 A2/A3		2011-06-20	DB/JDP
36301213							A2/A3		2011-06-20	DB/JDP
36301214							36390615 A2/A3		2011-06-20	DB/JDP
36301215							A2/A3		2011-06-20	DB/JDP
36301216	S1		65			84	36390622 A2/A3		2011-06-22	DB/RA
36301217	S1		60			85	36390623/36390624 A2/A4		2011-06-22	DB/RA
36301218	S1		70			85	36390625 A2/A5		2011-06-22	DB/RA
36301219							A2/A6		2011-06-22	DB/RA
36301220	S1		85			85	36390627 A2/A7		2011-06-22	DB/RA
36301221							36390628 Nouveaux claims		2011-06-23	DB/RA
36301222							36390629 Nouveaux claims		2011-06-23	DB/RA
36301223							36390630 Nouveaux claims		2011-06-23	DB/RA
36301224							36390631 Nouveaux claims		2011-06-23	DB/RA
36301225							36390633 Dyke péridotite		2011-06-26	DB/JP/CJ
36301226							36390634 Dyke péridotite		2011-06-26	DB/JP/CJ
36301227							36390635/36390636/36390637/36390638 Dyke péridotite		2011-06-26	DB/JP/CJ
36301228							36390642 Dyke péridotite		2011-06-26	DB/JP/CJ
36301229									2011-06-27	DB/JP/CJ
36301230	S1	120	85				36390644/36390645		2011-06-27	DB/JP/CJ
36301231							36390646		2011-06-27	DB/JP/CJ
36301232							36390647		2011-06-27	DB/JP/CJ
36301233									2011-06-27	DB/JP/CJ
36301234							36390648		2011-06-27	DB/JP/CJ
36301235							36390649		2011-06-27	DB/JP/CJ
36301236							36390576		2011-06-27	DB/JP/CJ
36301237							36390577 Godzila		2011-06-28	DB/JP
36301238							36390586 A1		2011-07-01	DB/CJ
36301239							36390587 A1		2011-07-01	DB/CJ
36301240							36390588 A1		2011-07-01	DB/CJ
36301241							36390589 A1		2011-07-01	DB/CJ
36301242							Godzila		2011-06-16	JL/JP
36301243							Godzila		2011-06-16	JL/JP
36301244							36390550 Godzila		2011-06-16	JL/JP
36301245							36390551 Ring Dyke		2011-06-17	DB/JDP
36301246	S1	64	60				36390552 / 36390553 A2/A3		2011-06-19	JL/JP
36301247	S1	58	72				36390554 / 36390555 A2/A3		2011-06-19	JL/JP
36301248							36390556 A2/A3		2011-06-19	JL/JP
36301249							36390557 A2/A3		2011-06-19	JL/JP
36301250	S1	280	60				36390558 A2/A3		2011-06-19	JL/JP
36301251	S1	256	80				A2/A3		2011-06-19	JL/JP
36301252	S1	250	85				36390559 A2/A3		2011-06-19	JL/JP
36301253							A2/A3		2011-06-19	JL/JP
36301254	S1	258	70				36390560 A2/A3		2011-06-19	JL/JP
36301255									2011-06-20	JL/JP
36301256							36390561		2011-06-20	JL/JP
36301257							36390562		2011-06-20	JL/JP
36301258		78	88						2011-06-20	JL/JP
36301259									2011-06-20	JL/JP
36301260							36390563		2011-06-20	JL/JP
36301261		64	71				36390564		2011-06-20	JL/JP
36301262									2011-06-20	JL/JP
36301263		62	70				36390565		2011-06-20	JL/JP
36301264									2011-06-20	JL/JP
36301265	N	81	60				36390566		2011-08-20	JL/JP
36301266	S1	100	74	VN	68	85	36390567/36390568 A3		2011-06-22	JL/JP

AFFLEUREMENT	REMARQUES
36301187	Sommet de colline, affleurement sous la mousse. Granite à QZ + FP. Sans intérêt particulier, légèrement magnétique.
36301188	Affleurement recouvert de mousse sur le flanc d'une colline. Granite rose légèrement magnétique avec environ 10% de BO.
36301189	Affleurement recouvert de mousse sur le flanc d'une colline. Granite rose légèrement avec environ 10% de BO.
36301190	Affleurement sur sommet d'une petite colline. Composition granitique avec petites veines de QZ rarement plus épaisses que 1cm. Bruit de fond moyen 600 max 1500cps - Spectro, total 524nGy, K 5.1%, U 53.8ppm, Th 61.5ppm
36301191	Affleurement de granite rose sur sommet d'une colline, absence de magnétisme, spectro max 500cps.
36301192	Petit affleurement sous la mousse. Roche ultramafique, magnétique, serpentinisée et à grains fins. Possiblement un bloc (douteux)
36301193	Affleurement de granite sur flanc de colline. Composition homogène, non magnétique.
36301194	Grand affleurement en relief. Probablement une extension de la zone de péridote. Roche magnétique à grains fins contenant de l'OL serpentinisé et du PX. Altération différentielle de l'OL et des PX. Injections de composition similaire, mais plus altérée qui recourent tout l'affleurement.
36301195	Champ de blocs granitiques plus anormal que les secteurs environnants. Cps max des blocs 1000-3000.
36301196	Gros affleurement de péridote identique aux affleurements précédents, altération différentielle avec PX en relief positif.
36301197	Bloc de granite métrique au milieu de blocs de péridote de la même taille. Cps 1000 -> présence de sulfures (PY), non magnétique.
36301198	Bloc sur le bord d'un petit lac. Beaucoup de QZ et de PG, présence de PY. Non magnétique 1mx2m.
36301199	Gros affleurement de péridote identique aux affleurements précédents. Situé le long de l'axe de l'anomalie mag.
36301200	Bloc de gneiss rubané sur le bord d'une swamp 2m x 2m. Folie avec ségrégation des leucosome et mélanosome. Présence de sulfures dont principalement la pyrite.
36301201	Bloc sur bord d'une swamp 1m x 1m gneiss à BO, QZ, PS et PG. Légèrement folié, difficile à voir à cause du lichen.
36301202	Grand affleurement en relief sur le bord d'un petit lac. L'affleurement consiste en un gneiss rubané très pissé. CPS 500 - Bruit de fond secteur 100 cps. Contenu en biotite très variable 10 à 40%. Foliation évident dans les zone riche en biotite.
36301203	Affleurement sur le flanc d'une pseudo vallée - granite typique. Cps max 1000, non-magnétique.
36301204	Amas de blocs, principalement composé de feldspath K, non magnétique, présence de pyrite.
36301205	Bloc sur flanc d'une petite colline dans le bos, situé dans un champ de bloc. Granite très altéré. Possiblement l'altération de la biotite.
36301206	Affleurement de granite à biotite sur flanc d'une petite colline sur le long d'un petit ruisseau. Non-mag., 400cps.
36301207	Affleurement sous la mousse dans la forêt. Basalte métamorphisé et silicifié. Foliation évidente présence de sulfure (pyrite disséminé), non-magnétique.
36301208	Affleurement de gabbro sur flanc de colline, recouvert de mousse, non magnétique, présence de sulfures, l'endroit observé présente une lentille de quartz décimétrique. L'affleurement est déformé à certains endroits.
36301209	Affleurement sur flanc de colline, caché sous la mousse. Roche intermédiaire magnétique.
36301210	Décapage à la pelle à main, affleurement à cps max 64000. Présence d'un contact entre V3 et I1B, haut compte cps dans les deux unités. Présence d'UP* minéral rouge non identifié. 5 échantillons récoltés. V3 très folié, voir schisteux.
36301211	Affleurement de gabbro sous la mousse le long d'un petit ruisseau. Non-magnétique, certaines zone paraissent cisailé.
36301212	Grand affleurement le long d'un petit ruisseau. Roche très altérée, très hétérogène ainsi que foliée, rubanée à certains endroit. Contient certains blocs de granite à texture pegmatique dans le secteur immédiat. CPS moy 300, max 13000 (th 0, U 300 ppm, 3,2% K).
36301213	Affleurement sur flanc d'un petit ruisseau, ressemble beaucoup au metabasalte. Localement magnétique.
36301214	Affleurement au milieu d'une petite chute. Granite rose avec texture pegmatique par endroits.
36301215	Bloc de gabbro dans secteur avec plusieurs petits butons parsemés de blocs. Bon % de pyrite disséminée.
36301216	Affleurement sur flanc d'un petit buton en forme de plateau. Composition intermédiaire avec alternance de zone + felsique et + mafique (métamorphisme). La roche est foliée et légèrement pissée. Affleurement = beaucoup de diabase. Non magnétique.
36301217	Affleurement sous la mousse causant un petit relief topographique. Deux fenêtres décapées, gabbro 1m x 1m. Très foliée au site de l'échantillon 3639024, mais moins évident au site de l'échantillon 3639023.
36301218	Très grand affleurement recoupé par un petit cours d'eau. Chloritisation des micas. Foliation apparente sur presque tout l'affleurement. Quelques veines de QZ recourent la roche le long du plan de foliation.
36301219	Bloc recouvert de mousse, idem V3 précédent - Pyrite.
36301220	Affleurement semble être des volcanites injectées par un dyke de pegmatite. Foliation difficile à mesurer, mais semble concorder avec les autres affleurements de V3 (environs N085/85).
36301221	Petits blocs recouverts de mousse. Conglomérat monogénique quartzite "côtes supportées". Granulométrie variant de 1 mm à 6 cm. Plusieurs autres blocs de composition similaire dans le secteur environnant.
36301222	Bloc de volcanite sur un flanc de colline. Magnétique et présence de sulfure (pyrite).
36301223	Bloc de méla-gabbro sous la mousse, folié avec chloritisation. Présence de petites bandes de quartz et de sulfure (pyrite). Non magnétique.
36301224	Bloc de granite blanc. Première observation de cette lithologie dans le secteur pour la journée. Présence de grenats.
36301225	Roche affleurant dans un petit cours d'eau. Granite rose à texture pegmatique.
36301226	Affleurement décapé à la main, A- volcanite (36390634), B- granite pegmatique (dyke? 140-320n) cps élevé (4000), C- gabbro.
36301227	Affleurement décapé à la main, présente plusieurs lithologies différentes - péridote (magnétique) - granite blanc (encaissant?) - volcanite. Cps max sur l'affleurement 30000, haut compte en thorium - schéma au verso de la fiche*. Site de la tranchée no 2.
36301228	Affleurement décapé à la main 1mx1m - granite à grains moyens avec petite enclave de roche + mafique (volcanite), cps max 6000.
36301229	Petit décapage sous la mousse, un mètre par un mètre, croûte d'altération granitique. Roche fraîche verdâtre, idem encaissant régionale. Cps max 4000. Spectro. K 1.2% U 121.9ppm, Th 568.3ppm.
36301230	Affleurement sur le bord d'un petit buton. Métagabbro injecté par du granite et recoupé par de petites veines d'épidote. Semble présenter une linéation minérale difficile à mesurer. Granite couvre 50% de l'affleurement et recoupe le I3 dans faire de dyke.
36301231	Blocs de péridotes parmi petits agrégats de blocs de composition principalement granitique, lesquels ne présentent pas de CPS élevé max 200.
36301232	Petit bloc dans un champ de blocs à composition principalement granitique. Magnétique, semble légèrement plus grenu que la péridote rencontrée préalablement.
36301233	Affleurement de granite rose/granite alcalin sous la mousse cps peu élevé 200.
36301234	Affleurement en relief sous la mousse. Volcanite métamorphisée avec veinules felsiques et petite inclusion de granite pegmatique (veine?).
36301235	I1B? Semble être du granite, mais roche verdâtre? Affleurement formant petit buton sous la mousse. Cps max: 2000. Spectro. K 0.1% U 80.4ppm Th 80.1ppm. Total 653.
36301236	Affleurement près d'une swamp, volcanique métamorphisée avec veinules de quartz.
36301237	Affleurement dans lit de ruisseau, tonalité à biotite - légèrement magnétique.
36301238	Petit galet arrondi sur sommet d'une petite montagne. Composition des autres galets principalement granitique.
36301239	Affleurement éparpillé autour d'un petit lac au fond d'une vallée, cps moy 500, k 4.9%, U 17.6ppm, Th 41.6ppm.
36301240	Bloc d'amphibolite dans grand champ de bloc à composition principalement granitique.
36301241	Bloc arrondi (30cmx50cm) dans un grand champ de bloc au fond d'une petite vallée, pyrite ++, légèrement magnétique, folié.
36301242	Affleurement de granite sur le dessus d'une colline avec petite enclave de quartz centimétrique. Cps max 2000cps avec une moyenne environnante de 400 cps. Aucun échantillon, secteur trop varié. Lecture au spectro. K 2.1%, U 130ppm, Th 12.3ppm.
36301243	Affleurement de granite à cps moyen de 300 avec deux petits blocs arrondis (gabbro, grès).
36301244	Affleurement de granite sur sommet de colline. Bruit de fond de 400 cps. Un échantillon recueilli cps max 1400cps. Lecture au spectro. K 3.2%, U 35.8ppm, Th 167.3ppm.
36301245	Dyke de péridolite encaissé dans un granite pegmatique. 1000 à 10000 cps dans I41. Lecture au spectro. K 3.5%, U 165ppm, Th 771ppm.
36301246	Aff. métavolcanique, py-cpy-po, +/- 2-3%, sur petit buton allongé // Fo (084N), ceinture Takwa.
36301247	Même aff. petite enclave de Qz avec éponte silicifié avec 1-2% py/ps en grains mm disséminés.
36301248	2-3% Py-Cpy-Po.
36301249	Même aff. trace à 1% de sulfures disséminés.
36301250	Aff. métavolcanique avec 3-5% Py-Po-Cpy, très oxydé, pris en bordure d'un petit ruisseau.
36301251	Aff. métavolcanique, idem précédent, pas ou trace de sulfures.
36301252	Aff. de métavolcanique, en escarpement, dans flanc de colline. Aux coordonnées 680361/5730227, contact avec granite (pas mesuré), vraiment + riche en amphibole.
36301253	Granite à grains grossiers, massif, texture pegmatique, sur petit buton.
36301254	Aff. Sur flanc nord d'une petite colline, pas échantillonné. Échantillon prélevé du côté est de la colline.
36301255	Monzonite avec forte hématisation + limonitisation. Bloc plus ou moins 1m par 1m par 1m. Forte anomalie cps 12-13000. Plusieurs blocs semblables autour. Spectro. K 0.0%, U 1037ppm, Th 129.8ppm. Probablement dyke de diabase (I3B). Petit escarpement en bordure d'un petit bloc. Aucun échantillon, impossible de prendre une mesure.
36301256	Escarpement de volcanique intermédiaire. Trace 1% PY, échantillon #36390562.
36301257	Affleurement de V2 (composition dionitique) folié, ncte en AM-PG. Non échantillonné.
36301258	Affleurement de granite avec phénocrisiaux de BO en bordure d'une swamp entre deux collines. Aucun échantillon.
36301259	Bloc de 2m par 2m avec petites surfaces rouillées. I41, trace PY, semble ultramafique mais (I41) BO++.
36301260	Affleurement volcanique mafique dans flanc d'une grosse colline. 1% PY.
36301261	Idem précédent.
36301262	Échantillon pris dans V3, en escarpement.
36301263	Idem précédent dans un petit ruisseau.
36301264	Affleurement volcanique mafique à intermédiaire, Tr-1% SF dans le milieu d'un petit ruisseau. Peu de topographie.
36301265	Aff. de V3 (petit escarpement), la roche est non-mag, près d'un aff. I41. Veine de Quartz // foliation.

AFFLEUREMENT	UTM X Nad 27	UTM Y Nad 27	DIMENSION	LITHOLOGIE 1						LITHOLOGIE 2						LITHOLOGIE 3					
				Lithologie	%	Texture	Minéralogie	Couleur	Altération	Lithologie	%	Texture	Minéralogie	Couleur	Altération	Lithologie	%	Texture	Minéralogie	Couleur	Altération
36302152	661022	5729847	3	I4I	45	GM MG	OL PX	GV GO		M8 CL											
36302153	660937	5729817	3	V3	99	GF FO	AM PG CL	G5 GO													
36302154	660691	5729915	3	V2/V3	99	GF FO	AM PG CL	G5 GO													
36302155	660693	5729920	3	V3	99	GF FO	AM PG CL	G GO													
36302156	660714	5729977	3	V3	99	GF PO FO	AM GT CL FP	G O													
36302157	664407	5767933	3	M4	99	GF FO	BO FP QZ CL	G5													
36302158	664321	5767779	4	M4	99	GF FO SC	FP BO QZ AM PY	G O													
36302159	664187	5767837	3	M4	80	GF FO	BO FP QZ CL	G5 GO		I1G	20	PG MA	FK QZ BO	BS							
36302160	664073	5767954	3	B3/I3	99	GF FO	AM PG CL	G5 GO													
36302161	664033	5768054	5	I1B	99	GG MA	FP QZ BO	BS													
36302162	682756	5769298	3	I1B	99	GM MA	FK PG QZ BO	BS O													
36305127	676330	5758280	3	I1B	100	GG	QZ FK FP BO														
36305128	675350	5758100	5	I1B	100	GG	QZ FK FP BO														
36305129	675237	5757965	2	I1B	100	GG	QZ FK FP BO														
36305130	675294	5757866	2	I1B	100	GG	QZ FK FP BO														
36305131	675456	5757908	5	I1B	100	GG															
36305132	675527	5757871	4	I2D	100	GG	FP FK QZ														
36305133	675805	5757807	5	I1B	100	GG	QZ FK FP BO														
36305134	676386	5758059	2	I1B	100	GG PG	QZ FK FP BO														
36305135	658631	5735210	3	M4/S3	70	GF HJ EQ	PG BO CL	V	V	I1B	30	GG MA	BO PG QZ								
36305136	658627	5735314	2	I1B	100																
36305137	658522	5735305	4	M4/S3	100		PG BO CL			M4 S3	20		PG BO QZ								
36305138	658450	5735377	5	I1B	80																
36305139	658304	5735522	3	M4/S3	100		BO PG QZ		GN G												
36305140	658168	5735569	2	I1B	100																
36305141	657991	5735642	1	I1B	100																
36305142	658021	5735817	5	M4/S3	100	GF	PG BO QZ		GN G												
36305143	657733	5735899	2	I1B	100	GM HJ	QZ PG BO														
36305144	657433	5736524	1	I1B	100																
36305145	657659	5736711	4	I1B	100																
36305146	658070	5736353	2	I1B	100																
36305147	658143	5736154	4	I1B	100																
36305148	658096	5736020	4	I1B	100																
36305149	663035	5728557	4	I1B	100																
36305150	661479	5728604	4	I1B	100	GG HJ	QZ PG BO	R GR													
36305151	661315	5727995	3	I1B	100	GM HJ	QZ PG BO														
36305152	657275	5728626	3	I1B	100	GG HJ															
36305153	657885	5729288	2	I2G	100	PG	PG FK	R R													
36305154	650026	5751342	6	I1B	100	PG	FP BO QZ FK														
36305155	648786	5751814	2	I1B	100																
36305156	648749	5752121	4	I1B	100																
36305157	649517	5752849	6	I1B	100																
36305158	649491	5753037	6	M16	100	GG HK	HB PG BO TM	VN GUN													
36305159	649526	5753076	6	M16	100	GG HJ	HB TM PG BO	VN VNU													
36305160	649549	5753220		Meta-pyroxén	100	GM HJ	PG PX GR MG PY	VN VE													
36305161	660681	5729914	3	V3B	100	GF HJ	PG CL EP	N G													
36305162	660684	5729930	1	M4/S3	30	GF HJ	PG QZ BO	V		I4B	70	GM HJ	PX PG OV	U							
36305163	660593	5730159	2	V3B	100																
36305164	660567	5730189	5	V3B	100																
36305165	660489	5730299	2	I1G	100																
36305166	660440	5730366	4	V3B	99	GF				GzVn	1		HR PL CL								
36305167	660372	5730405	2	I2	100																
36305168	660319	5730390	3	M4/S3	100		BO QZ PG	GN G													
36305169	660281	5730436	3	V3B	80					M4S3	20										
36305170	660298	5730476	3	I1G	80					V3B	20		TM								
36305171	660244	5730476	2	I1G	50					V3B	50										
36305172	659896	5730103			100	SC	CL														
36305173	659813	5729876	1	V3B	100																
36305174	660034	5729836	2	V3B	100																
36305175	660201	5729893	2	V3B	100																
36305176	660373	5729802	2	I1G	100																
36305177	682880	5766985	1	I1G	100																
36305178	681380	5768924	5	I1G	70	PG				M4S3	30										
36305179	681198	5769158	7	M4/S3	50					I1B	50	PG									
36305180	680951	5769523	7	I1	80					M4S3	10			I1G	10						
36305181	676016	5757214	3	I1B	100	GM MA	QZ FP BO	BS4 S4													
36305182	675638	5757417	3	I1B	100	GM MA	QZ FP	BS4 S													
36305183	675118	5757513	5	I1B	100	GM MA	QZ FP BO	BS4 S													
36305184	675431	5756852	2	I1B	100	GM MA	QZ FP BO	BS3 S													
36305185	675629	5756452	2	I1B	100	GM MA	QZ FP BO	BS4 S													
36305186	675039	5756745	5	I1B	100	GM MA FO	QZ FP BO	BS4 S													

AFFLEUREMENT	STRUCTURE 1			STRUCTURE 2			ÉCHANTILLONS	SECTEUR	DATE	ÉCHANTILLONNEURS
	Type	Direction (°)	Pendage (°)	Type	Direction (°)	Pendage (°)				
36302152	Dyke (douteux)	73	70	S1	90	75	36390569/36390570	A3	2011-08-22	JL/JJP
36302153	S1	272	80					A3	2011-08-22	JL/JJP
36302154	S1	60	71	S2	160	58		A3	2011-08-22	JL/JJP
36302155	S1	58	74				36390571	A3	2011-08-22	JL/JJP
36302156	S1	66	64					A3	2011-08-22	JL/JJP
36302157	S1	255	72					33A01	2011-08-23	JL/JJP
36302158	S1	254	72				36390572	33A01	2011-08-23	JL/JJP
36302159								33A01	2011-08-23	JL/JJP
36302160	S1	88	88				36390574	33A01	2011-08-23	JL/JJP
36302161								33A01	2011-08-23	JL/JJP
36302162								33A01	2011-08-23	JL/JJP
36305127								DYKE PÉRIDOTITE	2011-08-18	CD
36305128								DYKE PÉRIDOTITE	2011-08-18	CD
36305129								DYKE PÉRIDOTITE	2011-08-18	CD
36305130								DYKE PÉRIDOTITE	2011-08-18	CD
36305131								DYKE PÉRIDOTITE	2011-08-18	CD
36305132								DYKE PÉRIDOTITE	2011-08-18	CD
36305133								DYKE PÉRIDOTITE	2011-08-18	CD
36305134								DYKE PÉRIDOTITE	2011-08-18	CD
36305135	L	160	50	Y	120	70	36390650/36390651	DYKE PÉRIDOTITE	2011-08-17	CD/JDP
36305136								DYKE PÉRIDOTITE	2011-08-18	CD/RA
36305137	S1	140	72					DYKE PÉRIDOTITE	2011-08-18	CD/RA
36305138	S1	140	80					DYKE PÉRIDOTITE	2011-08-18	CD/RA
36305139	S1	134	84					DYKE PÉRIDOTITE	2011-08-18	CD/RA
36305140								DYKE PÉRIDOTITE	2011-08-18	CD/RA
36305141	L	144	70					DYKE PÉRIDOTITE	2011-08-18	CD/RA
36305142	S1	114	68					DYKE PÉRIDOTITE	2011-08-18	CD/RA
36305143								DYKE PÉRIDOTITE	2011-08-18	CD/RA
36305144								DYKE PÉRIDOTITE	2011-08-18	CD/RA
36305145								DYKE PÉRIDOTITE	2011-08-18	CD/RA
36305146								DYKE PÉRIDOTITE	2011-08-18	CD/RA
36305147								DYKE PÉRIDOTITE	2011-08-18	CD/RA
36305148								DYKE PÉRIDOTITE	2011-08-18	CD/RA
36305149								A3	2011-08-19	CD/RA
36305150								A3	2011-08-19	CD/RA
36305151								A3	2011-08-19	CD/RA
36305152									2011-08-20	
36305153									2011-08-20	
36305154								Montagne	2011-08-21	CD/RA
36305155								Bois	2012-06-21	CD/RA
36305156								Bois	2013-06-21	CD/RA
36305157								Rivière	2014-06-21	CD/RA
36305158	S1	250	50					Bois	2015-08-21	CD/RA
36305159	L	250	50						2018-08-21	CD/RA
36305160							36390652	Bois	2017-08-21	CD/RA
36305161									2011-08-22	CL/JDP
36305162									2011-08-22	CL/JDP
36305163	S1	80	72						2011-08-22	CL/JDP
36305164	S1	250	64						2011-08-22	CL/JDP
36305165									2011-08-22	CL/JDP
36305166	S1	80	64	V	250	88			2011-08-22	CL/JDP
36305167	S1	80	75						2011-08-22	CL/JDP
36305168	S1	80	78						2011-08-22	CL/JDP
36305169	S1	85	74						2011-08-22	CL/JDP
36305170	S1	104	82						2011-08-22	CL/JDP
36305171									2011-08-22	CL/JDP
36305172	S1	80	88						2011-08-22	CL/JDP
36305173	S1	80	86						2011-08-22	CL/JDP
36305174	S1	86	74						2011-08-22	CL/JDP
36305175	S1	80	75						2011-08-22	CL/JDP
36305176									2011-08-22	CL/JDP
36305177							36390655		2011-08-23	CD/JDP
36305178									2011-08-23	CD/JDP
36305179	S1	170	45						2011-08-23	CD/JDP
36305180									2011-08-23	CD/JDP
36305181									2011-08-28	JDP/CJ
36305182									2011-08-28	JDP/CJ
36305183									2011-08-28	JDP/CJ
36305184									2011-08-28	JDP/CJ
36305185									2011-08-28	JDP/CJ
36305186	S1	140	35						2011-08-28	JDP/CJ

AFFLEUREMENT	REMARQUES
36302152	Aff de I4I avec schiste à CL en éponte et encaissé dans V3. Présence de grenats dans les schistes
36302153	Aff de V3 riche en Am-CL avec petits lits mm de grenats, bien folié à 272N
36302154	Volcanique intermédiaire à mafique, riche en AM-PG-CL, petit escarpement
36302155	Petit aff en escarpement, non-mag, 1-2% Py en grains fins disséminés dans la matrice
36302156	Roche avec Fp-Am-Cl dans la matrice avec porphyre de grenat.
36302157	Faible Cps (100-150)
36302158	Affleurement métavolcanique ?? Ou métasédiments?? 1 à 2% PY
36302159	Dyke cm de 11G dans M4. Cps moyen(M4)=150 (11G)=250 avec pointes à 2000Cps (11G). Coord. 684170 5787889 petit spot à 4000 Cps Spectro: K. 2.4% U. 289.4ppm, Th. 10.5ppm.
36302160	Aff. De roches mafiques (dyke gabbro?), amphibolitisées. Cps moyen = 100, 5 à 7 % de PY
36302161	Aff. de granite à FK pegmatite 150 à 200 cps moyen.
36302162	Granite-Monzogranite Cps=200 dans milieu de petit ruisseau
36305127	Fianc de montagne
36305128	Top de montagne
36305129	Top de colline
36305130	Top de colline
36305131	Top de colline sub affleurant sur 50m
36305132	Fianc d'escarpement
36305133	
36305134	Fianc de colline
36305135	Dyke de 11B, localement riche en Biotite >80% d'épaisseur 30-50 m, localement hématisé, CPS moy 2000-2500, affleurement max 13000cps (éch 36390650), les zones riches en Bo donnent cps +++ élevé. Dyke injecté dans M4S3 CL ++ (cps bas), Affleurement décapé sur 5 x 1 m sur sommet d'un léger escarpement, L'affleurement est bcp plus grand en réalité, correspond à une pseudo-crête de 3-4m d'altitude qui s'étire sur 50 m par 10m.
36305136	
36305137	Bord de swamp. M4-S3 légèrement chloritisé, présence de bandes centimétriques à décimétriques de leucosomes à composition de quartz
36305138	Bouton sur bord de swamp entièrement recouvert de mousse
36305139	
36305140	
36305141	Affleurement sur fianc ouest d'une structure d'orientation générale N320
36305142	
36305143	Granite différent de ceux précédent, légèrement hématisé.
36305144	Granite légèrement hématisé
36305145	
36305146	
36305147	
36305148	
36305149	
36305150	Granite fortement hématisé
36305151	Granite hématisé
36305152	
36305153	
36305154	
36305155	
36305156	
36305157	Affleurement dans la rivière.
36305158	Série d'affleurements ayant subis un métamorphisme au grade d'amphibolite supérieur <roche métamorphique>. Protolite d'origine inconnu, peut-être volcanique ou intrusif mafique. Composition minéralogique hétérogène. Présence d'un pseudo-litage à quelques endroits.
36305159	Roche d'aspect différente des affleurements 5158. Composition comprenant plus de 80% d'amphiboles (HB, TM). Grains très grossiers. Des plans de biotite sont alignés dans la foliation entre des bandes d'amphiboles.
36305160	Blocs anguleux très magnétique (environ 20% de magnétite) de dimension de 0.3 m par 0.3 m par 0.4 m au milieu d'un champ de blocs sur un sommet de butte. Les blocs sont tous de même apparence et composition. Les blocs (une douzaine) sont roulés, subanguleux et de dimension submétrique. Tous les blocs ont de la pyrite en trace jusqu'à 2% disséminée.
36305161	V3B légèrement chloritisé + veinules d'épidote (mm-cm)
36305162	Dyke de pyroxénite en contact avec M4S3. (contact N 60°)
36305163	
36305164	Gros affleurement de V3B recoupé par une cassure orienté à N350° +/- perpendiculaire à la foliation régionale de la ceinture de mafique. La cassure à crée une crevasse de 5m de profondeur par 5 m de largeur sur 100 m de long
36305165	Pegmatite à l'est de la cassure dans bas topo, le haut topo à l'ouest = V3B
36305166	Petit Escarpement = 3m de hauteur sur une longueur de 25m. Vn Qz (dm) localement roulée en surface, trace de pyrite, CL. La veine de Qz s'élargie pour faire une texture de "horsetail"
36305167	Tuff intermédiaire-mafique à lapillis 10% (mm-cm) de composition felsique à pure Qz aplatis et allongés dans foliation régionale. Quelques rare blocs plumétrique dans des volcanites +/- felsiques
36305168	
36305169	Escarpement sur le fianc d'une cassure forment une petite vallée dans laquelle on trouve un ruisseau nord 10°. Affleurement de M4S3 d'environ 30 m au sud du même escarpement.
36305170	11G en contact (nord 100° / dip 60°) avec V3B amphibolitisé TM
36305171	Contact entre 11G et V3B nord 60° / 80°. Enclave de V3B dans 11G
36305172	
36305173	
36305174	
36305175	
36305176	
36305177	Bloc de pegmatite localement BO++, bloc subanguleux 0.4x0.4x0.5m.
36305178	Mélange de 11B et M4S3
36305179	
36305180	Top de montagne
36305181	Affleurement en buton de 11B, bruit de fond de 80 cps. (S1 ou So absent)
36305182	Escarpement le long d'un ruisseau (11B) bruit de fond 130 cps
36305183	Grosse colline affleurante de 11B à proximité d'une grosse swamp. Colline très abrupte, entre 5182 et 5183 c'est aussi du 11B, sub-affleurant
36305184	Petit plateau sub-affleurant de 11B, esker au nord-ouest (100 m), bruit de fond 60 cps.
36305185	Escarpement sub en place de 11B
36305186	Grosse montagne longue une vallée orienté sud. Très affleurant et escarpé. 11B folié.

NUMÉRO DE PROJET	ÉCHANTILLON	ESTANT (Nad 27)	NORDANT (Nad 27)	AFFLEUREMENT	CIBLE	MESURES SUR LE TERRAIN					ÉCHANTILLONNEUR	DATE	COMMENTAIRES GÉNÉRAUX	
						MESURES								
						K %	U ppm	Th ppm	U/Th	CPS MAX				CPS MOYEN
Nb Analyses	115													
363	36390550	674994	5758466	36302130	U	3,2	35,8	167,3	0,21	1400	400	JL/JJP	2011-06-16	I1B Riche en biotite
363	36390551	658609	5735290	36302131	U/M	3,5	165	771	0,21	10000	1000	JL/JJP	2011-06-17	I4I DY I4I, Px-01, +/- MAG 1-2% py, 1% AePy
363	36390552	660832	5730365	36302132	M							JL/JJP	2011-06-19	V3 CPY-PY-PO Aff V3 minéralisé (3-4% py-spy-po)
363	36390553	660828	5730366	36302132	M							JL/JJP	2011-06-19	V3 PY-PO Aff V3 minéralisé (1-2% py-po)
363	36390554	660796	5730361	36302133	M							JL/JJP	2011-06-19	V3 PY-PO Aff V3 minéralisé (1-2% py-po)
363	36390555	660795	5730354	36302133	M							JL/JJP	2011-06-19	V3 PO Aff V3 minéralisé (1-2% py-po-cpy)
363	36390556	660728	5730368	36302134	M							JL/JJP	2011-06-19	V3 CPY-PY-PO Aff V3 minéralisé (1-2% py-po-cpy)
363	36390557	660687	5730368	36302135	M							JL/JJP	2011-06-19	V3 SF Aff V3 minéralisé (Tr-1% sulf)
363	36390558	660669	5730304	36302136	M							JL/JJP	2011-06-19	V3 CPY-PY-PO Aff V3 minéralisé (3-5% sulf)
363	36390559	660415	5730274	36302138	M							JL/JJP	2011-06-19	V3 PY Aff V3 minéralisé (Tr-1% sulf)
363	36390560	660326	5730114	36302140	M							JL/JJP	2011-06-19	V3 PY Aff V3 minéralisé (Tr sulf)
363	36390561	662335	5723715	36302141	U/M	0	1037	129,8				JL/JJP	2011-06-20	I2F
363	36390562	659997	5729759	36302142	M							JL/JJP	2011-06-20	V2
363	36390563	659742	5729641	36302145	M							JL/JJP	2011-06-20	I4I
363	36390564	659714	5729741	36302146	M							JL/JJP	2011-06-20	V3
363	36390565	659593	5730128	36302148	M							JL/JJP	2011-06-20	V3
363	36390566	658943	5729831	36302150	M							JL/JJP	2011-06-20	V2
363	36390567	661069	5729932	36302151	M							JL/JJP	2011-06-22	V3 PY Aff V3, Tr py, non-mag
363	36390568	661069	5729932	36302151	M							JL/JJP	2011-06-22	VQZ VN de QZ à quelques mètres de l'aff
363	36390569	661022	5729848	36302152	M							JL/JJP	2011-06-22	I4I MN Aff de I4I
363	36390570	661034	5729831	36302152	M							JL/JJP	2011-06-22	V3 PY V3, Tr Py
363	36390571	660683	5729920	36302154	M							JL/JJP	2011-06-22	V3 PY V3, Tr Py
363	36390572	684321	5767779	36302158	M							JL/JJP	2011-06-23	MAV2 PY 1 à 2% PY
363	36390573	684073	5767954	36302160	M							JL/JJP	2011-06-23	I3V3 PY Dyke mafique 5% PY
363	36390574	660742	5729791	36301210	M									Bloc sub-anguleux, volcanite, sulfures
363	36390576	658516	5735308	36301237	M/TR							DB/JJP/CJ	2011-06-27	V3 V3 près de péridotite
363	36390577	675928	5756939	36301237	M							DB/JJP	2011-06-28	I1D Tonalite, magnétique
363	36390578	660758	5729781	36301210 (TRANCHÉE 1)	U/METR	4,7	153,6	20,9		3600		DB/C/JJL/RA	2011-06-30	Aucune observation particulière
363	36390579	660758	5729781	36301210 (TRANCHÉE 1)	U/METR	0	942,1	8,8		10300		DB/C/JJL/RA	2011-06-30	Brèche hématisée? Altération potassique?
363	36390580	660758	5729781	36301210 (TRANCHÉE 1)	U/METR	>90	>10000	11,38		53800		DB/C/JJL/RA	2011-06-30	Chalcopyrite/uranophane, Brèche, hématisation? Altération potassique? Oxydation
363	36390581	660758	5729781	36301210 (TRANCHÉE 1)	U/METR	3,1	19,6	6,8		688		DB/C/JJL/RA	2011-06-30	Folié, porphyre de grenats, ressemble peut-être métasédiment? Hm ++, K ++
363	36390582	660758	5729781	36301210 (TRANCHÉE 1)	U/METR	4,8	256	5,9		10500		DB/C/JJL/RA	2011-06-30	Porphyres grenats, traces chalcopyrite+uranophane, folié, Hm ++, K ++
363	36390583	660758	5729781	36301210 (TRANCHÉE 1)	U/METR	>90	>10000	5475		60000		DB/C/JJL/RA	2011-06-30	5-7% uranophane, fragments (cm), trace chalcopyrite Hm ++, K ++, schisteux
363	36390584	660758	5729781	36301210 (TRANCHÉE 1)	U/METR					8500		DB/C/JJL/RA	2011-06-30	Uranophane, grenats
363	36390585	660758	5729781	36301210 (TRANCHÉE 1)	U/METR	0	2391	0		20000		DB/C/JJL/RA	2011-06-30	Grenats, uranophane, foliation Hm ++
363	36390586	660758	5729781	36301210 (TRANCHÉE 1)	U/METR	3,4	55,1	4,8		3400		DB/C/JJL/RA	2011-06-30	Grenats, uranophane
363	36390587	660758	5729781	36301210 (TRANCHÉE 1)	U/METR	0	265,2	1,4		4100		DB/C/JJL/RA	2011-06-30	Horizon de grenats, fortement chloritisé
363	36390588	660758	5729781	36301210 (TRANCHÉE 1)	U/METR	3,1	511,9	0		21500		DB/C/JJL/RA	2011-06-30	Beaucoup grenats >1 m, #1 - fortement chloritisé, micro fractures hématisées, trace uranophane, un peu de sulfures
363	36390589	660758	5729781	36301210 (TRANCHÉE 1)	U/METR	0,6	173,9	0		3900		DB/C/JJL/RA	2011-06-30	Veine de quartz dans matrice chloritisée, trace de chalcopyrite
363	36390590	660758	5729781	36301210 (TRANCHÉE 1)	U/METR	1,9	116,3	8,6		3800		DB/C/JJL/RA	2011-06-30	Granitique, hématisée/altération potassique ?
363	36390591	660758	5729781	36301210 (TRANCHÉE 1)	U/METR	0	2715	21,5		30000		DB/C/JJL/RA	2011-06-30	Hématisation (dans les fractures?) pseudo brèche, altération potassique, uranophane
363	36390593	658609	5735290	36301227	U/METR	38,5	555,3	1190		17500		DB/JJL/CJ	2011-07-02	Tranchée 2, rainure 1, mètre 1 - porphyre de quartz dans matrice Pg/Px, trace Py-Cp (1%), Cl ++
363	36390594	658609	5735290	36301227	U/METR	4,9	87	199,1		10000		DB/JJL/CJ	2011-07-02	Tranchée 2, rainure 1, mètre 2 - IDEM
363	36390595	658609	5735290	36301227	U/METR	6,9	109,6	209,9		4000		DB/JJL/CJ	2011-07-02	Tranchée 2, rainure 1, mètre 3 - IDEM
363	36390596	658609	5735290	36301227	U/METR	17,1	262,8	561,4		12000		DB/JJL/CJ	2011-07-02	Tranchée 2, rainure 2, mètre 1 - I4I + TRACE Py-Cp
363	36390597	658609	5735290	36301227	U/METR	>90	1521	2893		29000		DB/JJL/CJ	2011-07-02	Tranchée 2, rainure 2, mètre 2 - I4I + 2-3% Py/Cp disséminé
363	36390598	658609	5735290	36301227	U/METR	27,1	410,8	936,5		17500		DB/JJL/CJ	2011-07-02	Tranchée 2, rainure 2, mètre 3 - I4I + 1-2 Py-Cp
363	36390599	658609	5735290	36301227	U/METR	63,7	945	1431		20000		DB/JJL/CJ	2011-07-02	Tranchée 2, rainure 3, mètre 1 - I4I + Py-Cp
363	36390600	658744	5734840	36301193	Dyke I4I							DB/JJP	2011-06-18	I1B Granite
363	36390601	658929	5734686	36301194	Dyke I4I							DB/JJP	2011-06-18	I4I Péridotite magnétique dans dyke
363	36390602	659033	5734705	36301195	Dyke I4I							DB/JJP	2011-06-18	I1B Bloc de granite 1000cps
363	36390603	659091	5734638	36301196	Dyke I4I							DB/JJP	2011-06-18	I1B PY Granite, PY
363	36390604	659095	5734580	36301198	Dyke I4I							DB/JJP	2011-06-18	I1D PY Bloc de tonalite ? + sulfures
363	36390605	663015	5733485	36301200	M							DB/JD	2011-06-19	M2 PY Gneiss rubané avec sulfures
363	36390606	662967	5733455	36301201	M							DB/JD	2011-06-19	M1 PY Gneiss avec sulfure 1-2%
363	36390607	662716	5733210	36301202	M							DB/JD	2011-06-19	M2 Gneiss rubané
363	36390608	662310	5732629	36301204	M							DB/JD	2011-06-19	I1L PY Bloc de syénogranite avec pyrite
363	36390609	661867	5732206	36301205	M							DB/JD	2011-06-19	I1B OF Granite oxydé/altéré
363	36390610	660083	5729976	36301207	M							DB/JD	2011-06-20	I3A PY Métabasalte/sulfures

NUMÉRO DE PROJET	ÉCHANTILLON	ESTANT (Nad 27)	NORDANT (Nad 27)	AFFLEUREMENT	CIBLÉ	MESURES SUR LE TERRAIN						ÉCHANTILLONNEUR	DATE	COMMENTAIRES GÉNÉRAUX
						MESURES								
						K %	U ppm	Th ppm	U/Th	CPS MAX	CPS MOYEN			
Nb Analyses	115													
363	36390611	660316	5729846	36301208	M							DB/JD	2011-06-20	I3A PY gabbro/sulfures
363	36390612	660370	5729834	36301209	M							DB/JD	2011-06-20	V2 Volcanique intermédiaire
363	36390613	660840	5729810	36301211	M							DB/JD	2011-06-20	I3A gabbro casailé
363	36390614	660886	5729814	36301212	M							DB/JD	2011-06-20	V3 HM ?
363	36390615	661181	5729698	36301214	M							DB/JD	2011-06-20	I1B Granite
363	36390616	661419	5729802	36301215	M							DB/JD	2011-06-20	I3A PY Gabbro/pyrite
363	36390617	660780	5729787	36301210	U	90	3862	2355				DB/JD/JL/JP	2011-06-21	I1B K++, riche en FK-BO, présence de Qz fumé
363	36390618	660763	5729788	36301210	U	90	10000	4932		64000		DB/JD/JL/JP	2011-06-21	V3 U UP+++ ,riche en K, 64000cps
363	36390619	660763	5729787	36301210	U	42,6	1726	34,6				DB/JD/JL/JP	2011-06-21	V3 moins de cps, minéral rouge inconnue
363	36390620	660762	5729795	36301210	U	62,1	2817	83,1				DB/JD/JL/JP	2011-06-21	V3 cps moyen 20000 V3
363	36390621	660756	5729791	36301210	U							DB/JD/JL/JP	2011-06-21	V3 cps moyen 30000 V3
363	36390622	660926	5729884	36390622	M							DB/JD/JL/JP	2011-06-21	V2 V2 près zone de contacte péridotte/V3
363	36390623	661001	5729898	36301217	M							DB/RA	2011-06-22	V3 V3
363	36390624	661015	5729874	36301217	M							DB/RA	2011-06-22	V3 V3
363	36390625	661198	5730110	36301218	M							DB/RA	2011-06-22	V3 PY V3 PY
363	36390626	661573	5730603	36301219	M							DB/RA	2011-06-22	V3 PY V3, ceinture de roche verte, PY
363	36390627	662281	5730490	36301220	M							DB/RA	2011-06-22	V2/Dyke pegmatite Volcanite injectée par pegmatite
363	36390628	685771	5767156	36301221	M							DB/RA	2011-06-23	S4B Conglomérat monogénique quartzeux
363	36390629	685886	5767309	36301222	M							DB/RA	2011-06-23	V3 PY Volcanite/Pyrite
363	36390630	684032	5767112	36301223	M							DB/RA	2011-06-23	I3A Méta-gabbro/Pyrite
363	36390631	684158	5769939	36301224	M							DB/RA	2011-06-23	I1B Grenats
363	36390633	658562	5735488	36301225	M/TR							DB/JP/CJ	2011-06-26	I1A Granite Alcalin, près du dyke de péridotte
363	36390634	658635	5735203	36301226	M/TR							DB/JP/CJ	2011-06-26	I3 Méta-gabbro injecté par I1G
363	36390635	658599	5735293	36301227	M/TR	9,8	91,2	242,3		2000		DB/JP/CJ	2011-06-26	V3 Volcanite affleurement TH
363	36390636	658599	5735293	36301227	M/TR	11,2	81,8	238,1		4000		DB/JP/CJ	2011-06-26	I1B Granite blanc, altération FP
363	36390637	658599	5735293	36301227	M/TR							DB/JP/CJ	2011-06-26	I4I péridotte (magnétique)
363	36390638	658599	5735293	36301227	M/TR	0	215,8	1468		9000		DB/JP/CJ	2011-06-27	V3 Inclusion + mafique dans péridotte
363	36390639	658599	5735293	36301227	M/TR	0	406,6	2359		1300		DB/JP/CJ	2011-06-27	V3 Volcanite/chalcopyrite
363	36390640	658599	5735293	36301227	M/TR	0,9	254,5	1382		9000		DB/JP/CJ	2011-06-27	V3 Volcanite cps 10000 Th'
363	36390641	658599	5735293	36301227	M/TR	0	780,8	3618		28500		DB/JP/CJ	2011-06-27	V3 Volcanite cps 28500 Th'
363	36390642	658547	5735333	36301228	M/TR	0	136,1	607,5		5000		DB/JP/CJ	2011-06-27	I1B?
363	36390644	658452	5735397	36301230	M/TR							DB/JP/CJ	2011-06-27	I3 Méta-gabbro injecté par I1B
363	36390645	658452	5735397	36301230	M/TR							DB/JP/CJ	2011-06-27	I1B Dyke granitique recoupant I3
363	36390646	658214	5735331	36301231	M/TR							DB/JP/CJ	2011-06-27	I4I Bloc de péridotte
363	36390647	658139	5735123	36301232	M							DB/JP/CJ	2011-06-27	I4I Bloc de péridotte
363	36390648	658570	5735254	36301234	M/TR							DB/JP/CJ	2011-06-27	V3 V3 près de la péridotte
363	36390649	658629	5735243	36301235	M/TR	0,1	80,4	80,1		2000		DB/JP/CJ	2011-06-27	I1B? Encassant I4I Encassant péridotte, cps 2000/chalcopyrite
363	36390650	658631	5735210	36305135	M	0,7	26,1	236	0,11	1100		CD/JDP	2011-06-17	I1B
363	36390651	658631	5735210	36305135	M	1,4	7,5	50	0,15	590		CD/JDP	2011-06-17	I1B
363	36390652	649549	5753220	36305160	M							CD/RA	2011-06-21	Méta-pyroxénite? PY Blocs anguleux très magnétiques (environ 20% de magnétite) de dimensions de 0 3 m par 0 3 m par 0 4 m au milieu d'un champ de blocs sur un sommet de butte Les blocs ont tous la même apparence et composition Les blocs (une douzaine) sont rouillés, subanguleux et de dimension submétrique Tous les blocs ont de la pyrite disséminée en trace jusqu'à 2%
363	36390653	660886	5729814	36301212	M							CD/JDP	2011-06-22	VQZ HM-CL-SR Qz dans schiste à Cl et sénite, Qz vitreux fumé
363	36390654	660440	5730366	36305166	M							CD/JDP	2011-06-22	VQZ/V3B PY
363	36390655	682880	5766995	36305177	M							CD/JDP	2011-06-23	I1G Bloc de pegmatite 5000 cps
363	36390656	660030	5754029	36301238	M									Amphibolite
363	36390657	659977	5753707	36301239	M/U	4,9	17,8	41,8		700		DB/CJ	2011-07-01	Granite - anomalie spectro ?
363	36390658	660149	5753471	36301240	M							DB/CJ	2011-07-01	Amphibolite
363	36390659	660179	5753329	36301241	M							DB/CJ	2011-07-01	M4 ou v2, pyrite ++
363	36390661	658609	5735290	36301227	U/M/ETR	53	536,9	1644		20000		DB/JL/CJ	2011-07-02	Tranchée 2, rainure #3, mètre 2
363	36390662	658609	5735290	36301227	U/M/ETR	17,2	261,1	562,9		8200		DB/JL/CJ	2011-07-02	Tranchée 2, rainure #3, mètre 3
363	36390663	658609	5735290	36301227	U/M/ETR	2,8	49,6	90,3		1800		DB/JL/CJ	2011-07-02	Tranchée 2, rainure #3, mètre 4
363	36390664	658609	5735290	36301227	U/M/ETR					1100		DB/JL/CJ	2011-07-02	Tranchée 2, rainure #3, mètre 5
363	36390665	658609	5735290	36301227	U/M/ETR							DB/JL/CJ	2011-07-02	Tranchée 2, grab, rainure 1, mètre 1
363	36390666	658609	5735290	36301227	U/M/ETR							DB/JL/CJ	2011-07-02	Tranchée 2, grab, rainure 2, mètre 2
363	36390667	678409	5758232	Godzila	U/M/ETR	>90	3744	554,8		31000		DB/JL/CJ	2011-07-02	Tranchée 3, grab granite (uranophane, magnétite)
363	36390668	678409	5758232	Godzila	U/M/ETR	7,2	669,6	26,5		6500		DB/JL/CJ	2011-07-02	Tranchée 3, grab granite (légèrement magnétique)
363	36390669	678409	5758232	Godzila	U/M/ETR	41,6	3875	233,6		30000		DB/JL/CJ	2011-07-02	Tranchée 3, grab granite (hématite, quartz fumé, légèrement magnétique)

ANNEXE 3

RÉSULTATS D'ANALYSE

Table 1 : Résultats d'analyse de la digestion partielle à l'Aqua-Regia, par SRC

Table 2 : Résultats d'analyse de la digestion totale multiacides, par SRC

NUMÉRO DE PROJET	ÉCHANTILLON	CERTIFICAT	DATE	U ₃ O ₈ (wt %) calculée	U/U	Ce/Th	U/Th	PYROANALYSE														DIGESTION PARTIELLE ICP6,3R										
								Au	Ag	As	Bi	Co	Cu	Ge	Hg	Mo	Ni	Pb	S	Sb	Se	Te	U, ICP	V	Zn							
								ppb	ppm	ppm	ppm	ppm	ppm	ppm	ppm	ppm	ppm	ppm	ppm	ppm	ppm	ppm	ppm	ppm	ppm	ppm						
Nb Analyses	115							0,10,2	0,21,0	0,21,0	0,11,0	0,21,0	0,1	0,21,0	0,21,0	0,1	0,1	0,02	10	1	0,21,0	0,21,0	0,5	0,1	0,1							
Compte Historique				9528	9298,0	9299,0	9299,0	613	9303	9304	9304	9304	9304	9304	9303	9303	9304	9304	358	9303	9303	9303	8592,0	9304	9304							
Moyenne Historique				0,147%	0,5	2,4	-114,7	68	0,2	3,5	3,1	9,6	39,3	-0,1	-0,2	44,8	25,7	294,77	1226	0	3,8	0,5	1026,4	56,8	71,0							
Écart-type (σ) Historique				0,801%	3,6	8,4	2523,6	1023	2,7	16,3	31,1	19,4	841,1	1,0	0,4	196,4	60,4	1363,76	3824	2	53,5	2,7	5986,6	168,7	348,4							
Maximum Historique				16,800%	20,2	108,3	6941,5	25100	104,0	797,0	1520,0	701,0	78800,0	57,1	13,5	4490,0	1620,0	26600,0	41835	55	2410,0	69,8	150000,0	7070,0	13000,0							
Minimum Historique				-0,001%	-22,0	-222,0	-140767,5	-2	-0,2	-1,0	-1,0	-1,0	-1,0	-1,0	-1,0	-1,0	-1,0	-1,0	-10	-2	-1,0	-1,0	-1,0	-1,0	-1,0							
Compte Projet				115	115,00	115,00	115,0	115	115	115	115	115	115	115	115	115	115	115	115	115	115	115	115,0	115,0	115							
Moyenne Projet				0,092%	0,35	5,27	11,3	8	-0,1	4,1	-0,6	19,7	227,3	0,4	-1,0	4,2	93,5	259,21	2117	0	1,0	-0,6	742,7	220,8	73,5							
Écart-type (σ) Projet				0,355%	0,54	8,46	35,2	50	0,2	12,5	2,0	18,5	609,8	4,6	0,0	17,9	149,3	862,65	4865	6	5,4	1,3	2838,4	856,0	204,3							
Maximum Projet				2,260%	0,99	55,33	153,3	525	0,7	120,0	18,0	117,0	5350,0	44,0	-1,0	172,0	972,0	6280,00	29200	46	34,0	8,0	17800,0	7070,0	2130,0							
Minimum Projet				0,000%	-0,50	-4,00	-1,0	-2	-0,2	-1,0	-1,0	-1,0	-1,0	-1,0	-1,0	-1,0	-1,0	-1,0	-10	-1	-1,0	-1,0	-1,0	-1,0	-1,0							
363 36390597	G-11-1169	2011-08-18	0,074%	0,8	0,0	0	0	2	0,2	4,0	-1,0	30,0	1210,0	-1,0	-1,0	154,0	464,00	3300	-1	23,0	3,0	625,0	35,0	84,0								
363 36390598	G-11-1169	2011-08-18	0,025%	0,9	0,0	0	0	3	0,2	2,0	-1,0	22,0	165,0	-1,0	-1,0	-1,0	78,0	173,00	1370	-1	4,0	-1,0	208,0	18,0	84,0							
363 36390599	G-11-1169	2011-08-18	0,017%	0,8	0,0	0	0	-2	0,2	5,0	-1,0	28,0	737,0	-1,0	-1,0	-1,0	186,0	113,00	1100	-1	4,0	-1,0	143,0	23,0	91,0							
363 36390600	G-11-1169	2011-08-18	0,000%	0,5	3,6	0	0	2	-0,2	-1,0	-1,0	-1,0	1,0	-1,0	-1,0	1,0	3,0	2,00	52	-1	-1,0	-1,0	-1,0	1,0	3,0							
363 36390601	G-11-1169	2011-08-18	0,000%	-0,1	6,0	-1	-1	2	-0,2	-1,0	2,0	34,0	2,0	1,0	-1,0	-1,0	568,0	4,00	318	-1	-1,0	-1,0	-1,0	95,0	15,0							
363 36390602	G-11-1169	2011-08-18	0,006%	1,0	1,0	0	0	3	0,2	2,0	-1,0	1,0	-1,0	-1,0	-1,0	4,0	4,0	29,00	64	-1	3,0	1,0	48,0	4,0	22,0							
363 36390603	G-11-1169	2011-08-18	0,000%	0,6	0,0	0	0	9	0,3	-1,0	-1,0	3,0	221,0	-1,0	-1,0	1,0	3,0	28,00	2660	-1	1,0	-1,0	4,0	1,0	7,0							
363 36390604	G-11-1169	2011-08-18	0,000%	-0,3	1,5	-1	-1	4	0,4	2,0	-1,0	8,0	84,0	-1,0	-1,0	3,0	26,0	2,00	11800	-1	-1,0	1,0	-1,0	-1,0	12,0							
363 36390605	G-11-1169	2011-08-18	0,000%	0,8	2,2	0	0	-2	0,2	-1,0	-1,0	1,0	10,0	-1,0	-1,0	3,0	7,0	16,00	581	-1	-1,0	-1,0	3,0	1,0	3,0							
363 36390606	G-11-1169	2011-08-18	0,000%	0,4	4,1	0	0	-2	-0,2	-1,0	-1,0	7,0	86,0	-1,0	-1,0	1,0	22,0	12,00	2360	-1	1,0	-1,0	3,0	19,0	19,0							
363 36390607	G-11-1169	2011-08-18	0,001%	0,7	2,8	0	0	-2	-0,2	-1,0	-1,0	15,0	6,0	-1,0	-1,0	5,0	63,0	23,00	425	-1	-1,0	-1,0	7,0	75,0	101,0							
363 36390608	G-11-1169	2011-08-18	0,000%	0,3	4,0	0	0	2	-0,2	1,0	-1,0	3,0	2,0	-1,0	-1,0	4,0	5,0	4,00	391	-1	-1,0	-1,0	1,0	8,0	17,0							
363 36390609	G-11-1169	2011-08-18	0,000%	0,5	4,9	0	0	-2	-0,2	2,0	-1,0	2,0	-1,0	-1,0	-1,0	1,0	9,0	4,00	104	1	-1,0	-1,0	-1,0	1,0	9,0							
363 36390610	G-11-1169	2011-08-18	0,000%	-0,5	2,0	1	1	6	-0,2	1,0	-1,0	38,0	145,0	-1,0	-1,0	1,0	32,0	1,00	5840	-1	2,0	1,0	-1,0	49,0	16,0							
363 36390611	G-11-1169	2011-08-18	0,000%	-0,2	9,0	1	1	2	-0,2	-1,0	-1,0	13,0	6,0	1,0	-1,0	-1,0	27,0	3,00	102	-1	-1,0	-1,0	-1,0	70,0	47,0							
363 36390612	G-11-1169	2011-08-18	0,000%	-0,3	10,8	0	0	-2	-0,2	1,0	-1,0	12,0	27,0	1,0	-1,0	-1,0	8,0	3,00	230	-1	-1,0	2,0	-1,0	25,0	49,0							
363 36390613	G-11-1169	2011-08-18	0,000%	-0,5	11,8	0	0	-2	-0,2	1,0	-1,0	7,0	34,0	-1,0	-1,0	1,0	27,0	2,00	124	-1	1,0	-1,0	-1,0	24,0	21,0							
363 36390614	G-11-1169	2011-08-18	0,000%	0,2	2,5	0	0	-2	-0,2	-1,0	-1,0	18,0	2,0	-1,0	-1,0	1,0	72,0	7,00	24	-1	-1,0	-1,0	1,0	54,0	45,0							
363 36390615	G-11-1169	2011-08-18	0,001%	0,9	0,3	1	1	-2	-0,2	-1,0	-1,0	1,0	2,0	-1,0	-1,0	3,0	4,0	26,00	58	-1	-1,0	-1,0	11,0	2,0	19,0							
363 36390616	G-11-1169	2011-08-18	0,000%	-0,3	20,7	0	0	-2	-0,2	-1,0	-1,0	27,0	66,0	-1,0	-1,0	-1,0	126,0	1,00	3620	-1	-1,0	-1,0	-1,0	33,0	19,0							
363 36390617	G-11-1169	2011-08-18	0,004%	0,9	2,6	4	4	-2	-0,2	-1,0	-1,0	3,0	18,0	-1,0	-1,0	3,0	12,0	27,00	403	-1	-1,0	-1,0	31,0	18,0	32,0							
363 36390618	G-11-1169	2011-08-18	1,660%	1,0	0,0	148	148	26	-0,2	10,0	-1,0	36,0	1290,0	44,0	-1,0	2,0	73,0	6280,00	991	46	-1,0	-1,0	13300,0	7070,0	75,0							
363 36390619	G-11-1169	2011-08-18	0,002%	0,7	25,0	4	4	-2	-0,2	-1,0	-1,0	23,0	166,0	1,0	-1,0	-1,0	20,0	15,00	182	-1	-1,0	-1,0	17,0	48,0	47,0							
363 36390620	G-11-1169	2011-08-18	0,093%	1,0	1,0	44	44	2	-0,2	2,0	2,0	30,0	581,0	3,0	-1,0	2,0	113,0	371,00	757	3	-1,0	-1,0	791,0	524,0	68,0							
363 36390621	G-11-1169	2011-08-18	0,624%	1,0	0,3	104	104	5	-0,2	4,0	-1,0	25,0	1640,0	13,0	-1,0	57,0	41,0	1410,00	992	12	-1,0	-1,0	5160,0	2240,0	48,0							
363 36390622	G-11-1169	2011-08-18	0,000%	-0,3	5,7	0	0	-2	-0,2	1,0	-1,0	7,0	4,0	-1,0	-1,0	1,0	10,0	12,00	20	-1	-1,0	-1,0	-1,0	25,0	51,0							
363 36390623	G-11-1169	2011-08-18	0,000%	-0,3	11,5	-1	-1	-2	-0,2	2,0	-1,0	21,0	2,0	1,0	-1,0	-1,0	25,0	3,00	28	-1	-1,0	-1,0	-1,0	69,0	54,0							
363 36390624	G-11-1169	2011-08-18	0,000%	-0,3	7,0	-1	-1	-2	-0,2	-1,0	-1,0	9,0	38,0	-1,0	-1,0	-1,0	22,0	-1,00	398	-1	-1,0	-1,0	-1,0	48,0	18,0							
363 36390625	G-11-1169	2011-08-18	0,000%	-0,3	9,8	0	0	4	-0,2	2,0	-1,0	33,0	91,0	1,0	-1,0	-1,0	121,0	13,00	120	-1	-1,0	-1,0	-1,0	158,0	68,0							
363 36390626	G-11-1169	2011-08-18	0,000%	-0,3	8,5	0	0	-2	-0,2	1,0	-1,0	26,0	74,0	1,0	-1,0	-1,0	85,0	2,00	1170	-1	-1,0	-1,0	-1,0	57,0	67,0							
363 36390627	G-11-1169	2011-08-18	0,000%	0,5	2,6	0	0	-2	-0,2	1,0	-1,0	1,0	1,0	-1,0	-1,0	1,0	6,0	6,00	28	-1	-1,0	-1,0	-1,0	4,0	16,0							
363 36390628	G-11-1169	2011-08-18	0,000%	-0,5	2,9	0	0	-2	-0,2	1,0	-1,0	-1,0	2,0	-1,0	-1,0	4,0	4,0	1,00	64	-1	-1,0	-1,0	-1,0	2,0	1,0							
363 36390629	G-11-1169	2011-08-18	0,000%	0,5	55,3	0	0	5	-0,2	6,0	-1,0	12,0	9,0	1,0	-1,0	3,0	9,0	2,00	1160	-1	-1,0	-1,0	-1,0	56,0	50,0							
363 36390630	G-11-1169	2011-08-18	0,000%	0,3	4,1	0	0	9	-0,2	3,0	-1,0	15,0	17,0	-1,0	-1,0	20,0	79,0	1,00	1070	-1	-1,0	-1,0	1,0	22,0	63,0							
363 36390631	G-11-1169	20																														

NUMÉRO DE PROJET	ÉCHANTILLON	CERTIFICAT	DATE	U ₂ O ₃ (wt %) calculée	U/U	Ce/Th	U/Th	DIGESTION PARTIELLE ICP6,3R																	
								PYROANALYSE																	
								Au	Ag	As	Bi	Co	Cu	Ge	Hg	Mo	Ni	Pb	S	Sb	Se	Te	U, ICP	V	Zn
ppb	ppm	ppm	ppm	ppm	ppm	ppm	ppm	ppm	ppm	ppm	ppm	ppm	ppm	ppm	ppm	ppm	ppm	ppm							
Nb Analyses	115																								
Compte	Historique			9528	9298,0	9299,0	9299,0	613	9303	9304	9304	9304	9304	9303	9303	9304	9304	358	9303	9303	8592,0	9304	9304		
Moyenne	Historique			0,147%	0,5	2,4	-114,7	68	0,2	3,5	3,1	9,8	39,3	-0,1	-0,2	44,8	25,7	294,77	1226	0	3,8	0,5	1026,4	56,8	71,0
Écart-type (σ)	Historique			0,801%	3,6	8,4	2523,6	1023	2,7	16,3	31,1	19,4	841,1	1,0	0,4	196,4	60,4	1363,76	3824	2	53,5	2,7	5986,6	168,7	348,4
Maximum	Historique			16,600%	20,2	108,3	6941,5	25100	104,0	787,0	1520,0	701,0	78800,0	57,1	13,5	4490,0	1620,0	26600,00	41835	55	2410,0	69,8	150000,0	7070,0	13000,0
Minimum	Historique			-0,001%	-22,0	-222,0	-140767,5	-2	-0,2	-1,0	-1,0	-1,0	-1,0	-1,0	-1,0	-1,0	-1,0	-1,0	-10	-2	-1,0	-1,0	-1,0	-1,0	-1,0
Compte	Projet			115	115,00	115,00	115,0	115	115	115	115	115	115	115	115	115	115	115	115	115	115	115,0	115	115	115
Moyenne	Projet			0,092%	0,35	5,27	11,3	8	-0,1	4,1	-0,6	19,7	227,3	0,4	-1,0	4,2	93,5	259,21	2117	0	1,0	-0,6	742,7	220,8	73,5
Écart-type (σ)	Projet			0,355%	0,54	8,46	35,2	50	0,2	12,5	2,0	18,5	609,8	4,8	0,0	17,9	149,3	862,66	4865	6	5,4	1,3	2838,4	856,0	204,3
Maximum	Projet			2,260%	0,99	55,33	153,3	525	0,7	120,0	18,0	117,0	5350,0	44,0	-1,0	172,0	972,0	6280,00	29200	46	34,0	8,0	17800,0	7070,0	2130,0
Minimum	Projet			0,000%	-0,50	-4,00	-1,0	-2	-0,2	-1,0	-1,0	-1,0	-1,0	-1,0	-1,0	-1,0	-1,0	-10	-10	-1	-1,0	-1,0	-1,0	-1,0	1,0
363	36390644	G-11-1169	2011-08-18	0,000%	-0,3	10,0	-1	69	-0,2	-1,0	-1,0	18,0	-1,0	1,0	-1,0	-1,0	71,0	1,00	-10	-1	-1,0	-1,0	-1,0	89,0	82,0
363	36390645	G-11-1169	2011-08-18	0,000%	0,3	1,9	0	11	-0,2	-1,0	-1,0	1,0	2,0	-1,0	-1,0	4,0	6,0	2,00	15	-1	-1,0	-1,0	1,0	8,0	5,0
363	36390646	G-11-1169	2011-08-18	0,000%	-0,2	-4,0	1	-2	-0,2	5,0	-1,0	68,0	1,0	-1,0	-1,0	972,0	1,00	46	-1	-1,0	-1,0	-1,0	-1,0	46,0	33,0
363	36390647	G-11-1169	2011-08-18	0,000%	-0,3	4,0	-1	2	-0,2	2,0	-1,0	19,0	8,0	-1,0	-1,0	232,0	1,00	196	-1	-1,0	-1,0	-1,0	-1,0	51,0	27,0
363	36390648	G-11-1169	2011-08-18	0,000%	-0,3	3,0	-1	-2	-0,2	1,0	-1,0	14,0	1,0	-1,0	-1,0	48,0	-1,00	12	-1	-1,0	-1,0	-1,0	-1,0	47,0	35,0
363	36390649	G-11-1169	2011-08-18	0,002%	0,8	0,1	0	-2	0,2	-1,0	-1,0	9,0	74,0	-1,0	-1,0	8,0	45,0	8,00	93	-1	-1,0	-1,0	13,0	8,0	35,0
363	36390650	G-11-1169	2011-08-18	0,010%	0,8	0,0	0	4	0,2	-1,0	-1,0	6,0	1,0	1,0	-1,0	6,0	43,0	125,00	56	-1	7,0	-1,0	89,0	29,0	26,0
363	36390851	G-11-1169	2011-08-18	0,007%	0,9	0,1	0	3	0,2	-1,0	-1,0	14,0	13,0	-1,0	-1,0	47,0	55,0	140,00	194	-1	-1,0	2,0	56,0	36,0	84,0
363	36390852	G-11-1169	2011-08-18	0,009%	-0,1	3,2	0	-2	0,3	-1,0	-1,0	17,0	88,0	4,0	-1,0	-1,0	46,0	7,00	10100	-1	-1,0	-1,0	-1,0	128,0	57,0
363	36390853	G-11-1169	2011-08-18	0,000%	0,5	6,0	-1	8	-0,2	-1,0	-1,0	4,0	3,0	-1,0	-1,0	5,0	43,0	1,00	34	-1	-1,0	-1,0	-1,0	10,0	11,0
363	36390854	G-11-1169	2011-08-18	0,000%	-0,5	1,0	-1	2	-0,2	1,0	-1,0	13,0	44,0	-1,0	-1,0	1,0	33,0	1,00	199	-1	2,0	-1,0	-1,0	46,0	22,0
363	36390855	G-11-1169	2011-08-18	0,015%	1,0	1,6	1	4	0,2	14,0	2,0	2,0	16,0	-1,0	-1,0	8,0	12,0	345,00	203	-1	-1,0	-1,0	129,0	6,0	21,0
363	36390856	G-11-1169	2011-08-18	0,000%	-0,3	2,7	0	-2	-0,2	-1,0	-1,0	13,0	39,0	-1,0	-1,0	-1,0	49,0	2,00	76	-1	1,0	-1,0	-1,0	56,0	26,0
363	36390857	G-11-1169	2011-08-18	0,001%	0,9	2,2	0	-2	-0,2	-1,0	-1,0	1,0	1,0	-1,0	-1,0	3,0	4,0	11,00	33	-1	-1,0	-1,0	10,0	4,0	19,0
363	36390858	G-11-1169	2011-08-18	0,000%	-0,3	1,0	-1	-2	-0,2	1,0	-1,0	6,0	38,0	-1,0	-1,0	2,0	38,0	-1,00	335	-1	1,0	-1,0	-1,0	17,0	6,0
363	36390859	G-11-1169	2011-08-18	0,000%	-0,3	3,3	0	9	-0,2	7,0	-1,0	48,0	245,0	1,0	-1,0	1,0	65,0	10,00	26300	-1	2,0	-1,0	-1,0	45,0	236,0
363	36390861	G-11-1169	2011-08-18	0,036%	0,7	0,0	0	-2	0,2	2,0	-1,0	36,0	119,0	-1,0	-1,0	-1,0	238,0	220,00	2130	-1	9,0	-1,0	302,0	31,0	92,0
363	36390862	G-11-1169	2011-08-18	0,004%	0,7	0,1	0	-2	0,2	5,0	-1,0	21,0	177,0	-1,0	-1,0	-1,0	81,0	34,00	842	-1	-1,0	-1,0	38,0	17,0	66,0
363	36390863	G-11-1169	2011-08-18	0,001%	0,6	0,3	0	-2	0,2	4,0	-1,0	15,0	40,0	-1,0	-1,0	1,0	55,0	13,00	521	-1	-1,0	-1,0	6,0	12,0	45,0
363	36390864	G-11-1169	2011-08-18	0,001%	0,5	0,4	0	-2	0,6	2,0	-1,0	10,0	45,0	-1,0	-1,0	1,0	27,0	17,00	495	-1	-1,0	-1,0	6,0	8,0	34,0
363	36390865	G-11-1169	2011-08-18	0,094%	0,9	0,0	0	14	0,2	10,0	-1,0	26,0	543,0	-1,0	-1,0	1,0	62,0	1260,00	2280	-1	34,0	8,0	799,0	32,0	84,0
363	36390866	G-11-1169	2011-08-18	0,118%	0,8	0,0	0	7	0,2	3,0	-1,0	38,0	198,0	-1,0	-1,0	-1,0	213,0	670,00	2960	-1	-1,0	5,0	893,0	43,0	84,0
363	36390867	G-11-1169	2011-08-18	2,260%	1,0	0,1	153	7	0,7	25,0	-1,0	1,0	59,0	-1,0	-1,0	172,0	4,0	3370,00	2130	2	-1,0	-1,0	17800,0	492,0	6,0
363	36390868	G-11-1169	2011-08-18	0,013%	1,0	0,7	6	-2	-0,2	1,0	-1,0	-1,0	3,0	-1,0	-1,0	4,0	4,0	85,00	396	-1	-1,0	-1,0	110,0	39,0	4,0
363	36390869	G-11-1169	2011-08-18	1,500%	1,0	0,0	143	8	-0,2	120,0	-1,0	3,0	46,0	-1,0	-1,0	26,0	39,0	2220,00	1830	1	4,0	-1,0	11700,0	327,0	14,0

NUMÉRO DE PROJET	ÉCHANTILLON	CERTIFICAT	DATE	ICP6,3 Digestion totale, multiacides																					
				Ag	Al2O3	Ba	Be	CaO	Cd	Ce	Co	Cr	Cu	Dy	Er	Eu	Fe2O3	Ga	Gd	Hf	Ho	K2O	La	MgO	MnO
				ppm	wt %	ppm	ppm	wt %	ppm	ppm	ppm	ppm	ppm	ppm	ppm	ppm	ppm	ppm	ppm	ppm	ppm	ppm	wt %	ppm	ppm
Nb Analyses	115			0,2	0,01	1	0,2	0,01	1	1	1	1	1	0,2	0,2	0,2	0,01	1	1	1	1	0,01	1	1	
Compte	Historique			9304	9304	9304	9304	9304	9303	9304	9304	9304	9304	9304	9304	9304	9304	9304	9304	9304	9304,00	9304	9304	9304,00	
Moyenne	Historique			0,4	12,25	778	4,0	1,68	0	131	9	311	41	5,7	3,5	1,0	3,19	17	8	10	1	3,98	85	25	
Écart-type (σ)	Historique			4,9	4,27	1208	27,8	1,76	4	958	22	1098	945	23,9	15,0	1,7	3,49	18	50	33	5	2,23	439	32	
Maximum	Historique			182,0	31,80	36800	375,0	29,00	169	49800	774	30500	88400	1050,0	934,0	67,2	49,10	275	2830	809	222	13,60	23500	1670	
Minimum	Historique			-0,2	0,02	1	-0,2	-0,01	-1	-1	-1	-1	-1	-0,2	-0,2	-0,2	0,11	-1	-1	-1	-1	-0,01	-1	-1	
Compte	Projet			115	115	115	115	115	115	115	115	115	115	115	115	115	115	115	115	115	115,00	115	115	115,00	
Moyenne	Projet			0,0	14,19	1842	1,7	3,43	-1	40	34	373	249	2,1	5,7	0,2	8,43	14	2	42	1	2,96	24	60	
Écart-type (σ)	Projet			0,5	4,72	4764	3,0	4,09	2	59	28	543	648	5,5	9,8	0,6	5,56	12	7	119	3	2,19	31	47	
Maximum	Projet			3,3	25,00	36800	28,0	14,40	12	366	151	3130	5490	33,7	56,8	3,4	35,90	72	43	722	13	9,83	169	236	
Minimum	Projet			-0,2	0,31	17	-0,2	0,02	-1	-1	-1	-1	-1	-0,2	-0,2	-0,2	0,63	-1	-1	-1	-1	0,03	-1	-1	
363	36390550	G-11-1169	2011-08-18	-0,2	15,10	475	1,9	1,73	-1	366	8	158	8	4,9	6,7	0,4	5,66	23	9	31	1	3,33	164	107	
363	36390551	G-11-1169	2011-08-18	-0,2	20,80	325	-0,2	0,88	-1	45	111	144	5490	13,0	39,5	0,6	13,50	27	7	512	7	4,00	65	110	
363	36390552	G-11-1169	2011-08-18	0,2	15,80	120	0,7	10,20	-1	9	52	229	220	-0,2	3,3	-0,2	20,00	2	-1	16	1	0,89	2	63	
363	36390553	G-11-1169	2011-08-18	0,2	14,30	93	0,5	8,20	-1	8	48	405	441	-0,2	2,4	-0,2	25,80	-1	-1	20	-1	0,69	1	76	
363	36390554	G-11-1169	2011-08-18	-0,2	11,80	252	0,7	2,11	-1	17	7	242	46	-0,2	0,8	0,2	2,68	13	-1	4	-1	1,34	9	35	
363	36390555	G-11-1169	2011-08-18	-0,2	17,30	105	0,7	8,78	-1	7	52	559	18	-0,2	2,6	-0,2	12,70	4	-1	11	-1	0,46	2	74	
363	36390556	G-11-1169	2011-08-18	-0,2	15,10	473	0,8	4,29	-1	47	38	440	116	-0,2	2,8	0,3	8,24	9	-1	9	-1	2,59	24	34	
363	36390557	G-11-1169	2011-08-18	0,3	14,70	359	0,8	2,87	12	26	49	446	121	-0,2	3,2	-0,2	11,00	7	-1	11	-1	2,23	12	44	
363	36390558	G-11-1169	2011-08-18	-0,2	12,90	416	1,0	1,11	8	32	51	372	266	-0,2	1,9	-0,2	11,00	9	-1	10	-1	2,00	14	84	
363	36390559	G-11-1169	2011-08-18	-0,2	17,10	190	0,6	11,10	-1	6	62	490	47	-0,2	3,4	-0,2	11,90	7	-1	9	1	1,83	2	33	
363	36390560	G-11-1169	2011-08-18	-0,2	16,80	45	0,6	14,40	-1	6	53	276	165	-0,2	2,8	-0,2	15,10	10	-1	11	-1	0,36	2	73	
363	36390561	G-11-1169	2011-08-18	-0,2	18,30	307	0,8	4,26	-1	53	7	110	7	2,3	3,7	0,4	1,70	15	2	6	-1	2,58	31	5	
363	36390562	G-11-1169	2011-08-18	0,5	18,40	375	0,6	6,00	-1	35	25	143	315	2,5	4,5	0,7	5,58	7	3	10	1	1,88	17	16	
363	36390563	G-11-1169	2011-08-18	-0,2	23,80	1390	1,5	1,13	-1	15	31	246	59	-0,2	1,1	-0,2	9,09	15	-1	7	-1	6,10	7	65	
363	36390564	G-11-1169	2011-08-18	-0,2	18,40	145	0,7	10,90	-1	8	66	355	117	-0,2	3,7	-0,2	12,40	11	-1	9	1	1,04	3	47	
363	36390565	G-11-1169	2011-08-18	-0,2	15,40	387	1,2	9,67	1	5	36	476	27	-0,2	2,4	-0,2	13,10	7	-1	11	-1	1,81	2	90	
363	36390566	G-11-1169	2011-08-18	-0,2	17,80	132	1,0	9,85	-1	3	50	696	98	-0,2	2,2	-0,2	10,30	4	-1	8	-1	0,84	1	37	
363	36390567	G-11-1169	2011-08-18	-0,2	15,80	139	0,6	11,60	-1	6	59	386	45	-0,2	3,2	-0,2	14,20	4	-1	10	-1	0,92	3	39	
363	36390568	G-11-1169	2011-08-18	-0,2	5,37	78	0,5	6,33	-1	8	44	200	5	-0,2	1,7	-0,2	8,57	4	-1	6	-1	0,46	3	13	
363	36390569	G-11-1169	2011-08-18	-0,2	5,35	19	0,5	9,07	-1	1	70	3130	7	-0,2	0,8	-0,2	9,69	-1	-1	9	-1	0,06	-1	4	
363	36390570	G-11-1169	2011-08-18	-0,2	4,51	19	0,3	1,14	-1	2	69	2120	77	-0,2	0,2	-0,2	6,08	-1	-1	7	-1	0,07	-1	30	
363	36390571	G-11-1169	2011-08-18	-0,2	14,20	213	0,9	10,10	-1	12	65	178	27	-0,2	3,1	-0,2	16,30	5	-1	11	-1	1,19	5	14	
363	36390572	G-11-1169	2011-08-18	-0,2	13,50	885	1,6	0,33	-1	12	20	263	18	-0,2	1,0	-0,2	4,68	8	-1	6	-1	3,74	5	58	
363	36390573	G-11-1169	2011-08-18	2,1	14,10	252	5,2	8,87	-1	15	151	244	2300	-0,2	4,0	-0,2	21,80	3	-1	17	1	1,13	5	34	
363	36390574	G-11-1169	2011-08-18	0,6	15,80	276	0,9	10,30	-1	27	86	234	1280	-0,2	4,2	0,2	12,70	8	-1	10	1	0,98	12	41	
363	36390576	G-11-1169	2011-08-18	-0,2	15,60	466	1,7	7,01	-1	6	52	473	3	-0,2	2,8	-0,2	14,20	7	-1	11	-1	2,56	2	49	
363	36390577	G-11-1169	2011-08-18	-0,2	16,70	584	1,0	3,14	-1	17	6	175	3	-0,2	0,4	-0,2	2,28	16	-1	3	-1	1,78	9	26	
363	36390578	G-11-1169	2011-08-18	-0,2	13,10	1760	4,0	0,68	-1	52	72	1260	14	-0,2	1,6	0,2	8,50	14	-1	9	-1	2,19	28	213	
363	36390579	G-11-1169	2011-08-18	-0,2	10,40	1050	2,5	0,45	-1	46	33	732	192	1,1	2,2	0,5	5,36	14	2	4	-1	1,37	25	119	
363	36390580	G-11-1169	2011-08-18	0,5	11,00	2340	4,3	0,96	-1	-1	15	66	1020	17,0	12,0	3,4	3,10	37	24	-1	7	1,58	16	75	
363	36390581	G-11-1169	2011-08-18	-0,2	13,40	2860	2,8	1,29	-1	108	31	51	33	3,5	5,0	1,5	9,46	14	4	15	1	4,44	52	117	
363	36390582	G-11-1169	2011-08-18	-0,2	12,10	6240	2,5	1,05	-1	105	31	71	176	3,2	4,5	1,1	9,62	17	3	15	1	5,06	49	121	
363	36390583	G-11-1169	2011-08-18	0,9	10,80	8660	7,2	1,15	-1	-1	32	-1	2420	-0,2	9,2	-0,2	7,91	62	27	-1	9	3,85	28	124	
363	36390584	G-11-1169	2011-08-18	-0,2	13,10	1720	1,9	2,37	-1	97	21	93	46	0,5	4,7	1,2	9,31	17	3	15	1	3,81	47	121	
363	36390585	G-11-1169	2011-08-18	-0,2	12,30	14600	3,0	0,96	-1	87	20	77	537	3,4	3,7	0,9	9,10	18	4	15	1	4,67	46	122	
363	36390586	G-11-1169	2011-08-18	-0,2	12,70	2630	1,8	1,12	-1	108	32	54	80	2,1	4,7	1,5	9,55	17	3	14	1	5,06	53	127	
363	36390587	G-11-1169	2011-08-18	-0,2	15,50	1530	3,2	0,79	-1	41	64	271	147	-0,2	3,5	-0,2	13,00	11	-1	11	1	2,64	21	236	
363	36390588	G-11-1169	2011-08-18	-0,2	12,10	9860	3,2	1,23	-1	91	29	64	1220	3,7	4,4	1,4	8,74	19	5	10	1	5,13	51	109	
363	36390589	G-11-1169	2011-08-18	-0,2	13,00	36800	3,4	0,95	-1	76	30	483	120	1,4	4,1	0,8	9,35	16	2	11	1	1,57	37	188	
363	36390590	G-11-1169	2011-08-18	-0,2	13,70	2000	1,6	0,80	-1	43	3	154	15	3,4	2,4	-0,2	1,36	16	3	2	-1	3,30	22	23	
363	36390591	G-11-1169	2011-08-18	-0,2	11,20	10300	2,1	0,57	-1	-1	5	32	182	-0,2	2,9	-0,2	2,20	22	7	-1	2	3,06	16	41	

NUMÉRO DE PROJET	ÉCHANTILLON	ICP6,3 Digestion totale, multiacides																				Aqua Regia			
		Mo ppm	Na2O wt %	Nb ppm	Nd ppm	Ni ppm	P2O5 wt %	Pb ppm	Pr ppm	Sc ppm	Sm ppm	Sn ppm	Sr ppm	Ta ppm	Tb ppm	Th ppm	TiO2 wt %	U, ICP ppm	V ppm	W ppm	Y ppm	Yb ppm	Zn ppm	Zr ppm	U3O8 wt %
Nb Analyses	115	1	0,01	1	1	1	0,01	1	1	1	1	1	1	1	1	0,01	2	1	1	1	0,1	1	1	0,001	
Compte Historique		9303	9304	9304	9304	9304	9304,00	9304	9304	9304	9304	9304	9303	9303	9304	9304,00	9304	9304	9303	9304	9304	9304	9304	9304	1319,000
Moyenne Historique		51	2,61	10	52	32	0,23	327	13	7	9	0	231	0	2	168	0,33	1088	100	0	34	3,5	74	300	0,943
Écart-type (σ) Historique		245	1,56	77	444	99	0,61	1447	145	10	85	3	299	33	17	579	0,41	6400	288	10	149	17,4	355	947	1,925
Maximum Historique		7060	9,62	6910	24800	2100	22,20	39900	9440	331	5280	66	5160	3120	682	25600	4,82	154000	8600	381	8720	1430,0	13200	22100	16,600
Minimum Historique		-1	-0,01	-1	-1	-1	-0,01	-1	-1	-1	-1	-1	-1	-1	-1	-1	-0,01	-2	-1	-1	-1	-0,1	-1	-1	-0,001
Compte Projet		115	115	115	115	115	115,00	115	115	115	115	115	115	115	115	115,00	115	115	115	115	115	115	115	115	10,000
Moyenne Projet		6	2,01	17	16	171	0,11	280	2	20	2	1	196	-1	-1	269	0,73	774	344	6	33	4,3	121	1060	0,985
Écart-type (σ) Projet		22	1,50	24	26	303	0,26	882	6	17	4	4	444	1	1	772	0,67	2897	970	26	46	8,9	236	3232	0,792
Maximum Projet		204	8,38	117	123	1830	2,37	6300	36	60	19	27	2710	2	7	30914	4,68	18100	8010	184	253	51,8	2350	19000	2,260
Minimum Projet		-1	0,02	-1	-1	4	-0,01	-1	-1	-1	-1	-1	-1	-1	-1	-0,01	-2	2	-1	1	-0,1	2	-1	0,110	
363 36390550		4	3,91	30	102	11	0,22	102	29	14	15	4	119	-1	-1	200	0,83	57	45	-1	43	3,6	140	919	
363 36390551		2	0,32	64	-1	454	-0,01	557	-1	40	4	-1	100	-1	-1	3030	1,44	788	86	15	152	32,4	142	13900	
363 36390552		-1	2,21	7	1	162	0,04	8	-1	50	-1	-1	62	-1	-1	2	0,93	9	331	2	25	2,5	142	32	
363 36390553		-1	1,79	9	-1	135	0,03	7	-1	44	-1	1	55	-1	-1	2	0,87	13	287	2	20	2,0	118	40	
363 36390554		-1	2,84	1	5	16	0,10	5	1	4	-1	-1	128	-1	-1	3	0,26	3	33	66	6	0,5	39	89	
363 36390555		-1	3,37	4	2	178	0,04	10	-1	49	-1	-1	183	-1	-1	1	0,83	4	303	-1	18	1,8	189	42	
363 36390556		-1	2,34	8	16	116	0,10	19	-1	24	2	-1	103	-1	-1	7	0,83	4	181	2	20	2,0	131	152	
363 36390557		1	2,92	7	7	109	0,10	647	-1	34	-1	-1	90	-1	-1	5	0,93	4	237	-1	21	2,2	548	131	
363 36390558		5	1,98	6	9	201	0,07	22	-1	15	1	-1	43	-1	-1	6	0,45	5	102	7	14	1,6	2350	124	
363 36390559		-1	1,43	5	3	141	0,05	11	-1	52	1	-1	109	-1	-1	1	1,07	2	380	-1	23	2,1	138	14	
363 36390560		-1	0,97	5	2	107	0,06	7	-1	40	1	-1	156	-1	-1	1	1,05	5	343	2	21	2,0	122	10	
363 36390561		-1	6,38	18	14	9	0,10	81	4	6	2	-1	157	1	-1	107	0,30	170	44	9	25	3,4	32	224	
363 36390562		14	3,91	5	16	52	0,06	281	2	14	4	-1	238	-1	-1	6	0,71	2	93	-1	33	2,9	67	279	
363 36390563		1	2,90	4	4	107	-0,01	10	-1	18	-1	-1	94	-1	-1	3	0,68	3	179	2	8	0,5	155	68	
363 36390564		-1	2,28	5	4	150	0,07	7	-1	46	-1	-1	117	-1	-1	1	1,31	-2	405	-1	25	2,2	124	14	
363 36390565		-1	1,82	6	1	122	0,05	29	-1	43	-1	-1	112	-1	-1	1	0,82	5	287	-1	18	1,6	192	45	
363 36390566		-1	3,24	2	1	126	0,03	5	-1	50	1	-1	135	-1	-1	1	0,76	3	271	-1	16	1,4	146	14	
363 36390567		-1	2,33	5	3	166	0,04	10	-1	44	1	-1	127	-1	-1	1	1,04	3	349	-1	21	2,0	150	11	
363 36390568		1	0,46	4	3	45	0,18	7	-1	10	1	-1	79	-1	-1	1	0,24	2	171	184	15	1,3	93	4	
363 36390569		-1	0,39	3	-1	1600	-0,01	10	-1	21	3	-1	4	-1	-1	1	0,22	8	115	111	7	0,6	105	-1	
363 36390570		-1	0,03	4	-1	1370	0,02	16	-1	8	1	-1	1	-1	-1	1	0,14	5	68	5	3	0,2	173	2	
363 36390571		-1	2,52	7	4	87	0,07	7	-1	46	1	-1	160	-1	-1	1	1,26	3	354	-1	22	2,0	108	23	
363 36390572		4	1,27	4	3	59	0,13	5	-1	8	-1	-1	29	-1	-1	7	0,42	7	72	8	8	0,8	72	111	
363 36390573		17	2,36	10	4	101	0,89	21	-1	47	-1	-1	313	-1	-1	3	1,55	6	402	12	26	2,6	180	78	
363 36390574		-1	2,11	8	13	183	0,12	15	-1	37	2	-1	118	-1	-1	2	1,38	-2	302	-1	29	2,7	984	53	
363 36390576		-1	2,59	5	1	184	0,04	8	-1	42	-1	7	88	-1	-1	1	0,73	5	257	-1	21	2,1	169	36	
363 36390577		1	5,20	-1	6	6	0,07	11	1	3	-1	-1	585	-1	-1	1	0,27	-2	30	-1	4	0,4	57	69	
363 36390578		3	1,33	7	19	346	0,14	25	1	24	3	-1	54	-1	-1	4	0,54	44	171	2	13	1,2	143	73	
363 36390579		2	2,06	6	20	300	0,05	58	4	9	4	-1	52	-1	-1	11	0,32	396	267	-1	24	1,7	71	88	
363 36390580		44	3,00	22	63	84	0,04	1320	-1	6	10	4	123	-1	1	60	0,21	8 490	2 940	18	85	6,9	39	110	1,040
363 36390581		1	2,00	13	46	16	0,50	18	9	16	6	-1	81	-1	-1	3	1,53	10	121	5	35	3,0	71	378	
363 36390582		2	0,60	14	45	21	0,49	59	8	17	5	-1	134	-1	-1	4	1,59	106	206	4	32	2,7	67	371	
363 36390583		9	1,14	46	74	78	0,38	5320	-1	16	-1	-1	1040	-1	-1	109	1,23	15 400	5 660	8	42	1,0	73	302	1,850
363 36390584		-1	2,28	13	41	12	0,47	40	8	16	5	-1	58	-1	-1	3	1,54	26	227	-1	33	2,7	94	357	
363 36390585		7	0,93	18	43	46	0,42	526	6	15	4	-1	313	-1	-1	19	1,32	929	886	5	32	2,3	65	356	
363 36390586		1	1,35	13	45	16	0,49	14	9	16	6	-1	45	-1	-1	3	1,56	14	144	7	33	2,9	77	355	
363 36390587		5	1,71	8	16	126	0,15	79	-1	36	1	-1	42	-1	-1	3	1,08	170	378	-1	26	2,2	163	103	
363 36390588		3	0,95	16	49	45	0,45	467	8	16	6	-1	228	-1	-1	10	1,36	1 320	610	9	34	2,6	59	342	0,155
363 36390589		4	1,68	12	32	194	0,27	43	3	26	4	-1	1610	-1	-1	10	0,95	89	559	6	32	2,7	126	177	
363 36390590		-1	4,34	17	15	6	0,02	37	3	5	3	-1	101	2	-1	14	0,10	4	13	-1	23	3,2	22	63	
363 36390591		6	3,43	18	19	23	0,02	1650	-1	3	-1	-1	849	-1	-1	42	0,11	4 320	1 510	15	12	0,6	41	61	0,532

NUMÉRO DE PROJET	ÉCHANTILLON	CERTIFICAT	DATE	ICP6,3 Digestion totale, multiacides																						
				Ag	Al2O3	Ba	Be	CaO	Cd	Ce	Co	Cr	Cu	Dy	Er	Eu	Fe2O3	Ga	Gd	Hf	Ho	K2O	La	Li	MgO	MnO
				ppm	wt %	ppm	ppm	wt %	ppm	ppm	ppm	ppm	ppm	ppm	ppm	ppm	ppm	wt %	ppm	ppm	ppm	ppm	wt %	ppm	ppm	wt %
Nb Analyses	115			0,2	0,01	t	0,2	0,01	t	1	1	1	1	1	0,2	0,2	0,2	0,01	ppm	ppm	ppm	ppm	wt %	wt %		
Compte	Historique			9304	9304	9304	9304	9304	9303	9304	9304	9304	9304	9304	9304	9304	9304	9304	9304	9304,00	9304	9304	9304,00	9304,00		
Moyenne	Historique			0,4	12,25	778	4,0	1,68	0	131	9	311	41	5,7	3,5	1,0	3,19	17	8	10	1	3,98	65	25	1,36	0,04
Écart-type (σ)	Historique			4,9	4,27	1208	27,8	1,76	4	958	22	1098	945	23,9	15,0	1,7	3,49	18	50	33	5	2,23	439	32	2,22	0,06
Maximum	Historique			162,0	31,60	36800	375,0	29,00	169	49800	774	30500	88400	1050,0	934,0	67,2	49,10	275	2830	809	222	13,60	23500	1670	33,30	1,77
Minimum	Historique			-0,2	0,02	1	-0,2	-0,01	-1	-1	-1	-1	-1	-0,2	-0,2	-0,2	0,11	-1	-1	-1	-1	-0,01	-1	-1	-0,01	-0,01
Compte	Projet			115	115	115	115	115	115	115	115	115	115	115	115	115	115	115	115	115	115	115	115	115,00	115,00	
Moyenne	Projet			0,0	14,19	1842	1,7	3,43	-1	40	34	373	249	2,1	5,7	0,2	8,43	14	2	42	1	2,98	24	60	5,53	0,13
Écart-type (σ)	Projet			0,5	4,72	4784	3,0	4,09	2	59	28	543	648	5,5	9,8	0,6	5,56	12	7	119	3	2,19	31	47	5,70	0,18
Maximum	Projet			3,3	25,00	36800	28,0	14,40	12	366	151	3130	5490	33,7	56,8	3,4	35,90	72	43	722	13	9,83	169	236	33,30	1,47
Minimum	Projet			-0,2	0,31	17	-0,2	0,02	-1	-1	-1	-1	-1	-0,2	-0,2	-0,2	0,63	-1	-1	-1	-1	0,03	-1	-1	0,08	-0,01
363	36390593	G-11-1169	2011-08-18	-0,2	15,10	207	0,6	0,91	-1	38	17	180	175	1,8	8,5	0,3	5,50	11	3	86	1	2,36	20	61	4,21	0,08
363	36390594	G-11-1169	2011-08-18	-0,2	14,10	228	0,3	0,18	-1	25	26	137	146	2,9	10,1	-0,2	6,72	11	2	107	1	2,81	18	70	4,57	0,08
363	36390595	G-11-1169	2011-08-18	-0,2	11,20	210	0,9	0,14	-1	9	8	157	68	-0,2	2,2	-0,2	3,03	10	-1	15	-1	2,98	7	40	2,04	0,03
363	36390596	G-11-1169	2011-08-18	-0,2	14,80	274	1,1	0,16	1	22	24	155	126	-0,2	4,1	-0,2	8,95	11	-1	49	-1	3,08	12	80	5,50	0,09
363	36390597	G-11-1169	2011-08-18	-0,2	19,10	496	-0,2	0,90	1	32	46	320	1260	16,8	37,5	0,6	8,56	37	7	491	7	5,68	52	97	4,78	0,09
363	36390598	G-11-1169	2011-08-18	-0,2	20,60	453	1,4	0,25	1	28	35	161	174	1,8	10,0	-0,2	8,30	34	1	114	1	6,16	16	98	4,95	0,08
363	36390599	G-11-1169	2011-08-18	-0,2	19,60	315	1,0	0,19	-1	21	37	101	742	-0,2	9,3	-0,2	11,60	16	-1	101	1	3,60	15	101	7,21	0,12
363	36390600	G-11-1169	2011-08-18	-0,2	12,10	1040	1,1	0,47	-1	62	-1	181	2	4,3	3,4	-0,2	0,85	13	2	7	-1	4,09	26	4	1,08	-0,01
363	36390601	G-11-1169	2011-08-18	-0,2	5,79	30	0,5	8,78	-1	6	76	2890	2	-0,2	1,1	-0,2	12,00	-1	-1	10	-1	0,05	2	2	24,40	0,12
363	36390602	G-11-1169	2011-08-18	-0,2	14,00	433	0,8	0,48	-1	338	-1	174	2	5,3	4,8	0,8	1,23	15	10	18	1	5,04	169	10	0,53	0,03
363	36390603	G-11-1169	2011-08-18	0,5	13,00	165	1,1	0,99	-1	5	4	182	277	-0,2	1,3	-0,2	1,82	12	-1	12	-1	1,27	5	10	0,54	0,01
363	36390604	G-11-1169	2011-08-18	0,7	0,31	20	0,3	1,70	-1	3	10	288	98	-0,2	0,2	-0,2	6,50	-1	-1	5	-1	0,03	1	-1	2,55	0,29
363	36390605	G-11-1169	2011-08-18	-0,2	14,20	1080	0,8	0,60	-1	44	-1	167	14	0,9	0,6	0,6	0,63	11	1	2	-1	6,72	25	2	0,12	-0,01
363	36390606	G-11-1169	2011-08-18	-0,2	15,30	137	9,7	8,38	1	33	13	262	102	-0,2	1,7	0,4	4,63	22	-1	6	-1	2,05	18	17	1,85	0,10
363	36390607	G-11-1169	2011-08-18	-0,2	16,60	452	1,4	1,68	-1	124	18	332	7	6,1	6,9	0,3	6,45	21	5	8	2	4,29	64	55	2,40	0,07
363	36390608	G-11-1169	2011-08-18	-0,2	14,20	1050	0,5	0,61	-1	96	3	303	2	3,3	2,0	0,6	1,68	11	4	8	-1	7,34	51	10	0,55	0,02
363	36390609	G-11-1169	2011-08-18	-0,2	20,50	942	1,1	0,16	-1	226	3	107	1	-0,2	1,7	1,2	1,80	21	6	6	-1	9,83	112	6	0,25	0,08
363	36390610	G-11-1169	2011-08-18	-0,2	15,80	141	0,6	13,80	-1	4	70	329	187	-0,2	3,0	-0,2	11,90	7	-1	9	-1	0,48	2	18	5,73	0,21
363	36390611	G-11-1169	2011-08-18	-0,2	18,70	247	1,0	9,24	-1	9	63	380	6	-0,2	3,6	-0,2	16,50	7	-1	13	1	2,26	2	40	7,88	0,28
363	36390612	G-11-1169	2011-08-18	-0,2	15,00	752	1,0	3,92	-1	65	19	104	32	6,7	7,5	1,0	8,98	15	6	13	2	1,67	30	22	1,51	0,10
363	36390613	G-11-1169	2011-08-18	-0,2	17,50	496	1,0	6,81	-1	47	32	162	41	-0,2	2,7	0,4	8,15	9	-1	8	-1	1,77	26	35	5,18	0,13
363	36390614	G-11-1169	2011-08-18	-0,2	13,10	800	1,5	0,56	-1	71	21	303	2	-0,2	1,7	0,2	4,90	6	-1	13	-1	4,21	40	98	4,45	0,06
363	36390615	G-11-1169	2011-08-18	-0,2	12,40	262	1,5	0,30	-1	5	-1	231	3	0,8	1,4	-0,2	1,00	14	1	1	-1	3,28	3	12	0,26	0,03
363	36390616	G-11-1169	2011-08-18	-0,2	12,80	87	0,8	10,40	-1	62	58	866	79	-0,2	2,4	-0,2	11,20	1	-1	9	-1	0,48	36	58	11,90	0,16
363	36390617	G-11-1169	2011-08-18	-0,2	12,20	2710	1,0	0,38	-1	18	4	225	24	-0,2	0,7	-0,2	1,94	11	-1	3	-1	3,30	11	47	1,29	0,04
363	36390618	G-11-1169	2011-08-18	-0,2	10,50	15600	9,8	1,29	-1	-1	39	-1	1310	-0,2	8,8	-0,2	7,83	72	24	1	9	2,99	24	146	5,08	0,08
363	36390619	G-11-1169	2011-08-18	-0,2	12,80	5350	2,6	0,87	-1	100	26	53	178	4,6	4,7	1,0	8,00	15	3	14	1	5,96	48	123	4,14	0,04
363	36390620	G-11-1169	2011-08-18	-0,2	15,20	4420	3,1	0,39	-1	18	35	332	586	-0,2	1,5	-0,2	5,90	14	-1	6	-1	2,69	13	138	5,94	0,08
363	36390621	G-11-1169	2011-08-18	0,5	8,61	7170	4,5	0,73	-1	15	27	56	1700	2,2	5,0	-0,2	6,16	28	11	6	3	2,48	27	79	2,85	0,04
363	36390622	G-11-1169	2011-08-18	-0,2	15,40	904	1,6	1,52	-1	63	7	121	5	0,8	2,2	0,4	3,64	13	1	7	-1	2,83	38	93	2,29	0,05
363	36390623	G-11-1169	2011-08-18	-0,2	14,80	284	0,9	8,69	-1	23	60	176	3	-0,2	6,5	0,3	16,90	6	-1	13	1	1,54	8	67	5,86	0,19
363	36390624	G-11-1169	2011-08-18	-0,2	15,50	71	0,6	10,80	-1	7	60	345	45	-0,2	3,4	-0,2	15,40	5	-1	12	1	0,34	2	102	8,83	0,21
363	36390625	G-11-1169	2011-08-18	-0,2	17,00	237	0,9	5,56	-1	49	45	350	92	-0,2	2,8	0,5	9,02	10	-1	9	-1	0,91	27	74	6,10	0,11
363	36390626	G-11-1169	2011-08-18	-0,2	17,40	145	0,6	6,80	-1	34	49	340	88	-0,2	4,0	0,4	11,30	8	-1	11	1	0,52	15	45	5,96	0,14
363	36390627	G-11-1169	2011-08-18	-0,2	13,80	262	2,4	1,36	-1	41	2	176	2	-0,2	1,8	0,3	1,11	12	1	3	-1	1,48	22	84	1,30	0,06
363	36390628	G-11-1169	2011-08-18	-0,2	2,93	91	-0,2	0,03	-1	29	-1	281	3	1,0	0,8	-0,2	0,67	1	-1	2	-1	0,87	14	2	0,08	-0,01
363	36390629	G-11-1169	2011-08-18	-0,2	18,20	2060	3,7	3,18	-1	166	29	91	11	4,0	10,3	2,3	12,30	15	8	18	1	7,43	78	50	2,41	0,12
363	36390630	G-11-1169	2011-08-18	-0,2	16,50	790	2,6	0,57	-1	37	19	361	17	-0,2	1,6	-0,2	6,64	12	-1	8	-1	4,44	17	73	4,51	0,07
363	36390631	G-11-1169	2011-08-18	-0,2	14,90	189	0,4	0,44	-1	5	-1	215	1	-0,2	1,3	-0,2	1,42	19	-1	2	-1	7,28	2	7	0,14	0,16
363	36390633	G-11-1169	2011-08-18	-0,2	14,10	789	0,5	0,08	-1																	

NUMÉRO DE PROJET	ÉCHANTILLON	ICP6,3 Digestion totale, multiacides																				Aqua Regia			
		Mo ppm	Na2O wt %	Nb ppm	Nd ppm	Ni ppm	P2O5 wt %	Pb ppm	Pr ppm	Sc ppm	Sm ppm	Sr ppm	Ta ppm	Tb ppm	Th ppm	TiO2 wt %	U, ICP ppm	V ppm	W ppm	Y ppm	Yb ppm	Zn ppm	Zr ppm	U3O8 wt %	
Nb Analyses	115	1	0,01	1	1	1	0,01	1	1	1	1	1	1	1	1	0,01	2	1	1	1	0,1	1	1	0,001	
Compte Historique		9303	9304	9304	9304	9304	9304,00	9304	9304	9304	9304	9303	9303	9304	9304,00	9304	9304	9303	9304	9304	9304	9304	9304	1319,000	
Moyenne Historique		51	2,81	10	52	32	0,23	327	13	7	9	0	231	0	2	166	0,33	1088	100	0	34	3,5	74	300	0,943
Écart-type (σ) Historique		245	1,56	77	444	99	0,61	1447	145	10	85	3	299	33	17	579	0,41	6400	288	10	149	17,4	355	947	1,925
Maximum Historique		7060	9,62	6910	24800	2100	22,20	39900	9440	331	5280	66	5160	3120	682	25600	4,82	154000	8600	381	8720	1430,0	13200	22100	16,600
Minimum Historique		-1	-0,01	-1	-1	-1	-0,01	-1	-1	-1	-1	-1	-1	-1	-1	-0,01	-2	-1	-1	-1	-1	-1	-1	-1	-0,001
Compte Projet		115	115	115	115	115	115,00	115	115	115	115	115	115	115	115	115,00	115	115	115	115	115	115	115	115	10,000
Moyenne Projet		6	2,01	17	16	171	0,11	280	2	20	2	1	198	-1	-1	289	0,73	774	344	6	33	4,3	121	1060	0,985
Écart-type (σ) Projet		22	1,50	24	26	303	0,26	882	6	17	4	4	444	1	1	772	0,67	2897	970	26	46	6,9	236	3232	0,792
Maximum Projet		204	8,38	117	123	1830	2,37	6300	36	60	19	27	2710	2	7	30914	4,68	18100	8010	184	253	51,8	2350	19000	2,260
Minimum Projet		-1	0,02	-1	-1	4	-0,01	-1	-1	-1	-1	-1	-1	-1	-1	-0,01	-2	2	-1	1	-0,1	2	-1	0,110	
363 36390593		5	2,90	22	-1	79	-0,01	227	2	10	3	-1	42	-1	861	0,44	181	34	-1	44	6,7	73	2490		
363 36390594		3	1,42	20	-1	47	-0,01	317	-1	10	3	-1	26	-1	1110	0,44	179	36	3	50	7,8	76	3020		
363 36390595		4	1,13	5	-1	24	-0,01	47	-1	3	-1	2	16	-1	297	0,15	72	9	-1	11	1,4	32	424		
363 36390596		5	0,55	32	-1	100	-0,01	111	-1	15	-1	7	14	-1	294	0,66	113	58	5	21	3,9	96	1320		
363 36390597		-1	0,09	110	-1	189	0,02	537	-1	54	-1	7	51	-1	2400	2,34	813	157	5	156	36,7	105	12900		
363 36390598		2	0,16	68	-1	104	-0,01	198	-1	36	-1	12	13	-1	905	1,48	235	86	5	43	8,4	103	3310		
363 36390599		2	1,19	43	-1	227	-0,01	149	-1	20	-1	6	24	-1	874	0,88	174	60	6	42	8,2	106	2850		
363 36390600		1	3,51	11	17	4	-0,01	4	5	2	3	-1	49	2	-1	17	0,09	-2	3	-1	25	3,2	8	196	
363 36390601		-1	0,54	5	1	1250	0,01	6	-1	20	3	-1	14	-1	1	0,27	7	221	-1	10	0,8	66	2		
363 36390602		7	3,74	4	114	6	0,02	49	36	3	17	-1	80	-1	-1	343	0,12	49	6	-1	27	2,2	34	566	
363 36390603		1	4,85	-1	-1	4	-0,01	35	-1	-1	-1	-1	93	1	-1	161	0,02	7	2	-1	5	0,9	16	309	
363 36390604		4	0,03	3	-1	27	-0,01	5	-1	-1	-1	-1	2	-1	2	0,02	4	6	-1	3	0,3	93	8		
363 36390605		3	3,05	-1	14	9	0,01	45	4	-1	2	-1	246	2	-1	20	0,02	4	3	-1	5	0,4	8	59	
363 36390606		-1	0,67	10	12	29	0,27	20	3	8	2	8	493	-1	-1	8	0,40	8	101	163	13	1,2	56	131	
363 36390607		5	3,73	31	46	69	0,03	46	10	15	8	-1	221	-1	-1	45	0,60	10	102	1	60	5,4	121	140	
363 36390608		5	2,62	6	35	5	0,18	32	10	3	6	-1	175	1	-1	24	0,15	3	15	-1	17	1,0	26	269	
363 36390609		1	3,94	4	78	24	0,04	24	23	4	13	2	118	1	-1	46	0,12	-2	20	-1	13	1,1	17	157	
363 36390610		-1	3,81	4	2	128	0,06	6	-1	41	1	-1	121	-1	-1	2	1,00	2	332	-1	21	1,9	130	18	
363 36390611		-1	1,97	7	4	116	0,04	13	-1	48	1	-1	73	-1	-1	1	0,98	5	399	-1	29	2,7	212	52	
363 36390612		-1	3,66	15	28	9	0,24	10	5	14	6	-1	189	-1	-1	6	0,96	4	47	-1	58	5,2	85	350	
363 36390613		-1	4,17	5	17	101	0,16	10	1	20	2	-1	226	-1	-1	4	0,72	2	145	1	20	1,8	99	94	
363 36390614		3	2,38	5	19	86	0,06	9	6	6	2	-1	67	-1	-1	28	0,47	5	79	-1	11	1,1	57	404	
363 36390615		3	4,45	11	2	4	-0,01	38	-1	3	-1	1	52	1	-1	16	0,07	12	4	-1	13	1,3	26	17	
363 36390616		-1	2,80	5	17	383	0,06	3	1	27	3	-1	98	-1	-1	3	0,44	4	204	-1	19	1,6	80	52	
363 36390617		3	3,66	12	6	13	-0,01	50	1	3	1	-1	103	1	-1	7	0,10	33	31	-1	7	0,8	43	48	
363 36390618		3	1,13	50	65	87	0,43	6300	-1	18	-1	-1	468	-1	-1	95	1,42	13 600	8 010	-1	45	-0,1	95	307	1,660
363 36390619		-1	0,34	14	41	23	0,37	31	8	14	5	-1	52	-1	-1	4	1,19	25	115	4	35	3,1	60	402	
363 36390620		2	3,19	11	8	144	0,05	434	-1	8	-1	-1	126	-1	-1	18	0,46	814	655	-1	11	0,6	83	185	
363 36390621		70	0,99	25	42	49	0,31	1430	-1	13	1	-1	2710	-1	-1	51	0,97	5 280	2 700	8	35	1,3	60	269	0,624
363 36390622		-1	3,94	12	20	12	0,08	20	5	7	3	-1	163	-1	-1	11	0,43	4	42	-1	17	1,6	70	202	
363 36390623		-1	1,53	12	13	51	0,26	25	-1	39	2	-1	183	-1	-1	2	1,56	4	341	-1	47	4,7	156	66	
363 36390624		-1	2,04	6	3	127	0,05	5	-1	46	-1	-1	101	-1	-1	1	1,09	4	369	-1	24	2,2	139	22	
363 36390625		-1	4,13	6	20	148	0,17	20	-1	26	2	-1	154	-1	-1	5	1,04	4	233	-1	20	1,7	91	130	
363 36390626		-1	3,76	9	14	156	0,18	6	-1	27	2	-1	141	-1	-1	4	1,17	3	210	-1	27	2,5	146	158	
363 36390627		-1	5,00	4	12	9	0,03	10	4	1	2	-1	84	1	-1	16	0,13	-2	10	-1	17	1,4	33	109	
363 36390628		6	0,02	2	10	5	-0,01	-1	3	1	1	-1	4	-1	-1	10	0,06	2	8	6	5	0,7	2	83	
363 36390629		4	0,08	28	80	13	2,37	4	12	36	6	-1	46	-1	-1	3	4,68	-2	335	6	54	4,2	87	450	
363 36390630		27	0,91	6	12	95	0,15	3	-1	15	1	-1	13	-1	-1	9	0,66	4	120	2	12	1,1	81	139	
363 36390631		4	3,01	-1	1	6	0,09	35	-1	6	-1	-1	81	1	-1	3	-0,01	13	2	-1	12	2,6	7	31	
363 36390633		5	1,99	4	9	7	0,01	41	2	2	1	3	91	1	-1	19	0,07	2	6	-1	10	1,4	11	66	
363 36390634		5	3,18	4	2	192	0,04	4	-1	45	-1	-1	130	-1	-1	1	0,90	3	323	-1	20	1,8	137	19	

NUMÉRO DE PROJET	ÉCHANTILLON	CERTIFICAT	DATE	ICP6,3 Digestion totale, multiacides																							
				Ag ppm	Al2O3 wt %	Ba ppm	Be ppm	CaO wt %	Cd ppm	Ce ppm	Co ppm	Cr ppm	Cu ppm	Dy ppm	Er ppm	Eu ppm	Fe2O3 wt %	Ga ppm	Gd ppm	Hf ppm	Ho ppm	K2O wt %	La ppm	Li ppm	MgO wt %	MnO wt %	
Nb Analyses	116			0,2	0,01	1	0,2	0,01	1	1	1	1	1	1	0,2	0,2	0,2	0,01	1	1	1	1	0,01	1	1	0,01	0,01
Compte	Historique			9304	9304	9304	9304	9304	9303	9304	9304	9304	9304	9304	9304	9304	9304	9304	9304	9304	9304	9304	9304	9304	9304	9304	9304
Moyenne	Historique			0,4	12,25	778	4,0	1,88	0	131	9	311	41	5,7	3,5	1,0	3,19	17	8	10	1	3,96	65	25	1,38	0,04	
Écart-type (σ)	Historique			4,9	4,27	1208	27,8	1,76	4	958	22	1098	945	23,9	15,0	1,7	3,49	18	50	33	5	2,23	439	32	2,22	0,06	
Maximum	Historique			182,0	31,80	36800	375,0	29,00	169	49800	774	30500	88400	1050,0	934,0	67,2	49,10	275	2830	809	222	13,60	23500	1670	33,30	1,77	
Minimum	Historique			-0,2	0,02	1	-0,2	-0,01	-1	-1	-1	-1	-1	-0,2	-0,2	-0,2	0,11	-1	-1	-1	-1	-0,01	-1	-1	-0,01	-0,01	
Compte	Projet			115	115	115	115	115	115	115	115	115	115	115	115	115	115	115	115	115	115	115	115	115	115	115	
Moyenne	Projet			0,0	14,19	1842	1,7	3,43	-1	40	34	373	249	2,1	5,7	0,2	8,43	14	2	42	1	2,96	24	80	5,53	0,13	
Écart-type (σ)	Projet			0,5	4,72	4764	3,0	4,09	2	59	28	543	648	5,5	9,8	0,6	5,56	12	7	119	3	2,19	31	47	5,70	0,18	
Maximum	Projet			3,3	25,00	36800	28,0	14,40	12	366	151	3130	5490	33,7	56,8	3,4	35,90	72	43	722	13	9,83	169	236	33,30	1,47	
Minimum	Projet			-0,2	0,31	17	-0,2	0,02	-1	-1	-1	-1	-1	-0,2	-0,2	-0,2	0,83	-1	-1	-1	-1	0,03	-1	-1	0,08	-0,01	
363	36390635	G-11-1169	2011-08-18	-0,2	22,80	514	1,6	0,06	-1	15	47	57	119	-0,2	4,0	-0,2	10,40	21	-1	22	-1	4,98	14	102	8,62	0,14	
363	36390636	G-11-1169	2011-08-18	-0,2	17,90	354	1,8	0,06	-1	10	27	92	54	-0,2	4,6	-0,2	5,85	17	-1	17	-1	4,08	11	66	4,98	0,08	
363	36390637	G-11-1169	2011-08-18	-0,2	25,00	630	2,9	0,03	-1	9	42	69	32	-0,2	0,7	-0,2	8,83	38	-1	8	-1	6,74	4	102	7,15	0,10	
363	36390638	G-11-1169	2011-08-18	-0,2	22,50	698	3,0	0,05	-1	4	33	2390	44	-0,2	7,4	-0,2	7,52	51	-1	48	1	7,24	7	103	4,71	0,07	
363	36390639	G-11-1169	2011-08-18	-0,2	21,60	219	1,1	5,00	-1	44	90	66	744	-0,2	7,3	-0,2	16,20	18	-1	54	1	2,70	29	146	11,50	0,26	
363	36390640	G-11-1169	2011-08-18	-0,2	18,90	257	1,2	0,02	2	10	56	43	130	-0,2	2,1	-0,2	13,50	15	-1	25	-1	3,29	5	100	7,74	0,13	
363	36390641	G-11-1169	2011-08-18	-0,2	20,30	761	-0,2	0,18	-1	83	40	273	190	25,0	51,2	0,9	11,70	32	11	577	9	5,64	97	119	6,74	0,11	
363	36390642	G-11-1169	2011-08-18	-0,2	18,10	530	2,5	0,54	-1	12	15	128	70	-0,2	4,0	-0,2	5,24	22	-1	25	-1	3,20	9	31	2,41	0,07	
363	36390644	G-11-1169	2011-08-18	-0,2	18,90	515	1,2	9,49	-1	10	51	437	-1	-0,2	3,0	-0,2	14,00	7	-1	11	-1	2,96	4	52	8,60	0,23	
363	36390645	G-11-1169	2011-08-18	-0,2	11,60	2090	0,3	0,33	-1	25	-1	281	4	1,3	1,7	-0,2	1,48	8	-1	6	-1	7,20	11	5	0,34	0,01	
363	36390646	G-11-1169	2011-08-18	-0,2	4,54	43	0,3	1,26	-1	4	100	2380	2	-0,2	0,5	-0,2	8,19	-1	-1	8	-1	0,04	1	11	33,30	0,12	
363	36390647	G-11-1169	2011-08-18	-0,2	10,60	84	0,4	7,24	-1	4	64	1930	9	-0,2	1,4	-0,2	9,76	-1	-1	9	-1	0,07	2	26	24,40	0,15	
363	36390648	G-11-1169	2011-08-18	-0,2	16,40	371	0,9	9,62	-1	3	55	481	-1	-0,2	2,5	-0,2	12,60	4	-1	10	-1	1,82	1	39	10,50	0,19	
363	36390649	G-11-1169	2011-08-18	-0,2	13,00	403	1,5	0,30	-1	7	12	187	82	1,4	3,4	-0,2	4,88	18	-1	13	1	4,16	4	41	2,51	0,05	
363	36390650	G-11-1169	2011-08-18	-0,2	2,15	62	-0,2	0,36	-1	6	7	257	11	0,5	7,2	-0,2	2,52	4	-1	83	1	0,73	12	20	1,55	0,03	
363	36390651	G-11-1169	2011-08-18	-0,2	7,76	290	0,5	0,83	-1	28	17	314	18	-0,2	3,3	-0,2	6,36	11	-1	26	-1	2,11	18	41	2,55	0,08	
363	36390652	G-11-1169	2011-08-18	1,2	10,10	155	0,9	6,94	1	16	28	246	103	-0,2	2,7	-0,2	35,90	-1	-1	24	1	0,46	2	14	4,90	1,47	
363	36390653	G-11-1169	2011-08-18	-0,2	1,02	17	0,2	0,04	-1	6	5	471	4	-0,2	-0,2	-0,2	1,22	-1	-1	1	-1	0,17	3	20	1,17	0,02	
363	36390654	G-11-1169	2011-08-18	-0,2	9,73	30	0,7	8,20	-1	1	35	447	53	-0,2	1,4	-0,2	7,30	2	-1	5	-1	0,20	-1	67	5,01	0,11	
363	36390655	G-11-1169	2011-08-18	-0,2	17,20	1010	28,0	0,29	-1	255	2	182	23	8,1	4,7	1,3	3,72	21	12	31	1	6,42	126	28	1,60	0,03	
363	36390656	G-11-1169	2011-08-18	-0,2	17,50	85	0,7	11,20	1	8	72	261	49	-0,2	3,5	-0,2	15,80	4	-1	11	-1	0,21	3	17	8,97	0,18	
363	36390657	G-11-1169	2011-08-18	-0,2	13,60	387	1,0	0,61	-1	77	-1	244	2	3,2	2,7	0,2	1,56	15	3	5	-1	5,41	39	17	0,36	0,02	
363	36390658	G-11-1169	2011-08-18	-0,2	13,00	53	0,5	12,70	-1	2	65	1230	47	-0,2	1,7	-0,2	11,40	-1	-1	9	-1	0,27	1	13	12,40	0,19	
363	36390659	G-11-1169	2011-08-18	0,3	13,20	572	1,0	1,78	1	26	55	230	276	-0,2	1,4	-0,2	6,94	10	-1	9	-1	2,68	12	30	1,92	0,06	
363	36390661	G-11-1169	2011-08-18	-0,2	20,10	500	-0,2	0,11	-1	21	51	228	145	10,2	30,2	-0,2	11,50	29	3	390	5	5,42	41	112	6,59	0,11	
363	36390662	G-11-1169	2011-08-18	-0,2	18,50	321	1,4	0,07	-1	18	27	69	187	-0,2	3,7	-0,2	9,09	21	-1	38	-1	4,30	9	82	5,31	0,09	
363	36390663	G-11-1169	2011-08-18	0,4	19,80	305	1,4	0,06	-1	16	17	107	44	-0,2	1,4	-0,2	6,58	14	-1	14	-1	4,13	8	67	4,09	0,06	
363	36390664	G-11-1169	2011-08-18	1,0	15,00	291	1,1	0,17	-1	24	12	142	50	-0,2	1,3	-0,2	4,98	12	-1	14	-1	3,97	12	66	3,44	0,05	
363	36390665	G-11-1169	2011-08-18	-0,2	12,40	242	-0,2	1,24	-1	94	36	207	549	33,7	52,3	2,3	6,66	15	18	493	10	3,26	64	78	4,82	0,10	
363	36390666	G-11-1169	2011-08-18	-0,2	20,00	412	-0,2	0,87	-1	54	56	261	203	27,4	56,8	1,1	11,00	43	13	722	10	5,22	87	111	6,14	0,12	
363	36390667	G-11-1169	2011-08-18	3,3	3,80	6410	-0,2	0,53	-1	16	-1	14	111	16,5	17,4	-0,2	7,53	27	43	-1	13	1,66	67	8	0,15	0,02	
363	36390668	G-11-1169	2011-08-18	-0,2	12,10	24500	0,8	0,25	-1	13	-1	256	6	3,0	2,8	-0,2	2,12	12	1	4	-1	5,60	7	7	0,16	-0,01	
363	36390669	G-11-1169	2011-08-18	2,2	4,20	6240	1,3	0,11	-1	-1	4	24	106	3,9	8,8	-0,2	5,96	22	20	-1	8	1,93	15	36	0,56	0,02	

NUMÉRO DE PROJET	ÉCHANTILLON	ICP6,3 Digestion totale, multiacides																				Aqua Regia				
		Mo ppm	Na2O wt %	Nb ppm	Nd ppm	Ni ppm	P2O5 wt %	Pb ppm	Pr ppm	Sc ppm	Sm ppm	Sn ppm	Sr ppm	Ta ppm	Tb ppm	Th ppm	TiO2 wt %	U, ICP ppm	V ppm	W ppm	Y ppm	Yb ppm	Zn ppm	Zr ppm	U3O8 wt %	
Nb Analyses	115	1	0,01	1	1	1	0,01	1	1	1	1	1	1	1	1	1	0,01	2	1	1	1	0,1	1	1	0,001	
Compte Historique		9303	9304	9304	9304	9304	9304,00	9304	9304	9304	9304	9304	9303	9303	9304	9304,00	9304	9304	9303	9304	9304	9304	9304	9304	9304	1319,000
Moyenne Historique		51	2,81	10	52	32	0,23	327	13	7	9	0	231	0	2	166	0,33	1088	100	0	34	3,5	74	300	0,943	
Écart-type (σ) Historique		245	1,56	77	444	99	0,81	1447	145	10	85	3	299	33	17	579	0,41	6400	288	10	149	17,4	355	947	1,925	
Maximum Historique		7060	9,82	6910	24800	2100	22,20	39900	9440	331	5280	66	5160	3120	682	25800	4,82	154000	8600	381	8720	1430,0	13200	22100	16,600	
Minimum Historique		-1	-0,01	-1	-1	-1	-0,01	-1	-1	-1	-1	-1	-1	-1	-1	-1	-0,01	-2	-1	-1	-1	-0,1	-1	-1	-0,001	
Compte Projet		115	115	115	115	115	115,00	115	115	115	115	115	115	115	115	115	115,00	115	115	115	115	115	115	115	10,000	
Moyenne Projet		6	2,01	17	16	171	0,11	280	2	20	2	1	196	-1	-1	269	0,73	774	344	6	33	4,3	121	1060	0,985	
Écart-type (σ) Projet		22	1,50	24	26	303	0,26	882	6	17	4	4	444	1	1	772	0,67	2897	970	26	46	8,9	238	3232	0,792	
Maximum Projet		204	8,38	117	123	1830	2,37	6300	36	60	19	27	2710	2	7	30914	4,88	18100	8010	184	253	51,8	2350	19000	2,260	
Minimum Projet		-1	0,02	-1	-1	4	-0,01	-1	-1	-1	-1	-1	1	-1	-1	-0,01	-2	2	-1	1	-0,1	2	-1	-1	0,110	
363 36390635		2	1,62	18	-1	548	-0,01	24	-1	10	-1	-1	26	-1	-1	466	0,40	42	36	3	13	2,4	99	471		
363 36390636		3	1,50	9	-1	283	-0,01	23	-1	5	-1	7	28	-1	-1	521	0,24	49	17	-1	19	2,6	55	411		
363 36390637		1	0,37	16	1	699	-0,01	9	-1	13	-1	10	10	-1	-1	43	0,31	7	54	-1	6	0,7	80	52		
363 36390638		1	0,10	101	-1	299	-0,01	37	-1	53	-1	27	9	-1	-1	497	1,98	56	215	8	21	5,1	70	1320		
363 36390639		-1	0,87	8	2	916	-0,01	230	3	9	4	2	49	-1	-1	816	0,21	192	38	5	45	5,7	186	1460		
363 36390640		5	0,40	18	-1	157	-0,01	54	-1	9	-1	7	11	-1	-1	233	0,32	54	30	3	8	1,3	140	479		
363 36390641		1	0,09	117	-1	173	0,03	453	-1	53	6	2	40	-1	-1	3710	2,32	1020	187	12	212	46,7	101	15000	0,110	
363 36390642		5	4,93	29	-1	35	0,01	20	-1	10	-1	8	127	-1	-1	363	0,46	54	33	-1	16	2,6	91	629		
363 36390644		-1	2,66	5	3	180	0,06	7	-1	42	1	1	129	-1	-1	1	0,85	3	307	-1	20	1,8	214	35		
363 36390645		5	1,42	7	5	8	0,01	10	1	2	-1	-1	61	1	-1	13	0,18	3	13	-1	11	1,8	10	175		
363 36390646		-1	0,14	4	-1	1830	-0,01	4	-1	15	1	-1	10	-1	-1	-1	0,19	5	93	-1	5	0,5	133	-1		
363 36390647		-1	0,60	4	1	943	0,02	4	-1	31	2	-1	15	-1	-1	1	0,46	4	180	4	11	1,0	105	16		
363 36390648		-1	2,54	4	-1	175	0,04	5	-1	42	-1	-1	72	-1	-1	1	0,74	3	284	-1	18	1,7	119	27		
363 36390649		9	0,55	39	1	57	0,06	15	-1	13	-1	14	18	-1	-1	104	0,53	17	49	-1	23	3,0	49	273		
363 36390650		7	0,08	22	-1	47	-0,01	132	-1	8	-1	-1	19	-1	-1	824	0,36	114	35	2	15	4,3	30	2400		
363 36390651		72	1,25	33	3	60	-0,01	153	-1	11	-1	3	47	-1	-1	393	0,75	65	41	3	8	1,6	95	678		
363 36390652		4	1,15	16	2	90	0,08	14	-1	31	-1	-1	149	-1	-1	5	0,86	18	242	1	24	2,2	194	32		
363 36390653		8	0,07	1	1	47	-0,01	-1	-1	1	-1	4	2	-1	-1	1	0,04	-2	12	3	1	0,2	13	8		
363 36390654		-1	0,54	3	1	75	0,02	4	-1	25	1	-1	51	-1	-1	1	0,50	2	177	-1	10	1,0	71	11		
363 36390655		10	1,23	6	87	19	0,13	350	26	7	19	-1	120	-1	-1	155	0,13	135	19	-1	34	3,0	34	889		
363 36390656		-1	2,62	6	2	234	0,08	5	-1	40	-1	-1	138	-1	-1	3	1,24	4	338	-1	24	2,2	131	36		
363 36390657		6	3,35	8	26	6	0,03	38	8	3	5	-1	91	1	-1	35	0,12	11	7	-1	23	2,2	31	132		
363 36390658		-1	1,82	3	-1	313	0,03	6	-1	43	2	-1	107	-1	-1	2	0,54	4	242	-1	13	1,1	97	21		
363 36390659		4	2,97	4	7	75	0,05	21	1	8	1	-1	114	-1	-1	8	0,37	4	57	1	11	1,3	277	159		
363 36390661		2	0,13	93	-1	287	0,02	258	-1	44	-1	4	18	-1	-1	2180	1,91	428	100	8	130	27,6	106	10400		
363 36390662		2	0,95	32	-1	99	-0,01	44	-1	17	-1	10	19	-1	-1	273	0,70	53	60	-1	19	3,5	76	1050		
363 36390663		1	2,67	17	2	64	-0,01	14	-1	9	-1	7	38	-1	-1	62	0,38	10	46	-1	7	1,2	56	334		
363 36390664		1	0,69	14	5	33	-0,01	17	1	7	-1	3	14	-1	-1	64	0,32	11	28	4	7	1,1	45	338		
363 36390665		1	0,12	70	-1	75	0,03	1470	3	28	10	-1	38	-1	-1	4620	1,21	930	76	8	253	47,1	104	14600		
363 36390666		-1	0,09	113	-1	277	0,03	806	-1	60	4	-1	45	-1	-1	3870	2,32	1160	158	12	241	51,8	109	19000	0,118	
363 36390667		204	0,73	14	123	10	0,01	3490	-1	1	13	-1	2540	-1	7	125	0,01	18100	591	1	233	9,9	12	6	2,280	
363 36390668		8	2,85	-1	4	4	-0,01	108	1	-1	-1	-1	527	-1	-1	18	0,04	114	57	1	23	2,8	9	80		
363 36390669		36	0,15	13	62	53	0,03	2380	-1	1	3	2	2530	-1	3	89	0,03	12200	714	3	71	4,7	24	20	1,500	

ANNEXE 4

CONTRÔLE DE LA QUALITÉ

- Table 1 :** Analyse des blancs (matériel de référence interne IOS)
- Table 2 :** Contrôle de la qualité : analyse des matériaux de référence certifiés, par SRC
- Table 3 :** Contrôle de la qualité : analyse des répliques analytiques (SRC)

NUMÉRO DE PROJET	ÉCHANTILLON	CERTIFICAT	DATE	U ₃ O ₈ (wt %)	U/Th	DENSITÉ ROCHE (g/cc)	DIGESTION PARTIELLE ICP6.3R																
							Ag	As	Bi	Co	Cu	Ge	Hg	Mo	Ni	Pb	S	Sb	Se	Te	U, ICP	V	Zn
							ppm	ppm	ppm	ppm	ppm	ppm	ppm	ppm	ppm	ppm	ppm	ppm	ppm	ppm	ppm	ppm	ppm
Nb Analyses	5						0,1/0,2	0,2/1,0	0,2/1,0	0,1	0,1	0,2/1,0	0,2/1,0	0,1	0,1	0,02		1	0,2/1,0	0,2/1,0	0,5	0,1	0,1
Compte Historique						37	39	39	39	39	39	39	39	39	39	39,00		39	39	39	39	39	39
Moyenne Historique						#DIV/0!	0,0	0,2	0,3	0,4	2,2	0,0	0,0	1,3	4,6	1,58		0	0,4	0,2	3,5	0,6	1,8
Écart-type (σ) Historique						#DIV/0!	0,0	0,6	0,2	0,4	0,6	0,1	0,0	0,5	1,2	1,72		0	0,4	0,4	4,4	0,3	1,2
Maximum Historique						#DIV/0!	0,2	3,6	0,9	2,3	3,9	0,3	0,0	3,0	7,0	5,69		0	1,3	1,3	15,3	1,4	6,7
Minimum Historique						#DIV/0!	0,0	0,0	0,0	0,0	1,0	0,0	0,0	0,6	2,0	0,00		0	0,0	0,0	0,0	0,0	0,0
Compte Projet						5	5	5	5	5	5	5	5	5	5	5,00		5	5	5	5	5	5
Moyenne Projet						1,0	0,2	#DIV/0!	#DIV/0!	#DIV/0!	1,6	#DIV/0!	#DIV/0!	2,2	2,6	#DIV/0!		#DIV/0!	#DIV/0!	#DIV/0!	#DIV/0!	#DIV/0!	1,0
Écart-type (σ) Projet						0,0	#DIV/0!	#DIV/0!	#DIV/0!	0,9	#DIV/0!	#DIV/0!	0,4	0,5	#DIV/0!		#DIV/0!	#DIV/0!	#DIV/0!	#DIV/0!	#DIV/0!	#DIV/0!	0,0
Maximum Projet						1,0	0,2	0,0	0,0	3,0	0,0	0,0	3,0	3,0	0,00		0	0,0	0,0	0,0	1,0	1,0	
Minimum Projet						1,0	0,2	0,0	0,0	1,0	0,0	0,0	2,0	2,0	0,00		0	0,0	0,0	0,0	1,0	1,0	
363	36390575	G-11-1169	2011-08-18	3,000	0,000	1	-0,2	-1	-1	-1	3,0	-1	-1	2,0	3,0	-1	21,00	-1	-1	-1	-1	-1	1,0
363	36390592	G-11-1169	2011-08-18	4,000	0,000	1	-0,2	-1	-1	-1	1,0	-1	-1	3,0	3,0	-1	14,00	-1	-1	-1	-1	-1	1,0
363	36390632	G-11-1169	2011-08-18	5,000	0,000	1	-0,2	-1	-1	-1	1,0	-1	-1	2,0	3,0	-1	-10	-1	-1	-1	-1	-1	1,0
363	36390643	G-11-1169	2011-08-18	6,000	0,000	1	0,2	-1	-1	-1	1,0	-1	-1	2,0	2,0	-1	-10	-1	-1	-1	-1	-1	1,0
363	36390660	G-11-1169	2011-08-18	7,000	0,000	1	-0,2	-1	-1	-1	2,0	-1	-1	2,0	2,0	-1	14,00	-1	-1	-1	-1	-1	1,0

		ICP6.3 Total Digestion, Multi-Acids																							
NUMÉRO DE PROJET	ÉCHANTILLON	Ag	Al2O3	Ba	Be	CaO	Cd	Ce	Co	Cr	Cu	Dy	Er	Eu	Fe2O3	Ga	Gd	Hf	Ho	K2O	La	Li	MgO	MnO	Mo
		ppm	wt %	ppm	ppm	wt %	ppm	ppm	ppm	ppm	ppm	ppm	ppm	ppm	ppm	wt %	ppm	ppm	ppm	ppm	wt %	ppm	ppm	wt %	wt %
Nb Analyses	5	0,2	0,01	1	0,2	0,01	1,0	1	1	1	1	0,2	0,2	0,2	0,01	1	1,0	1,0	1,0	0,010	1	1	0,010	0,010	1
Compte	Historique	39	39	39	39	39	39	39	39	39	39	39	39	39	39	39	39	39	39	39	39	39	39	39	39
Moyenne	Historique	0,1	0,15	11	0,1	0,02	0,0	3	0	284	2	0,1	0,0	0,0	0,32	0	0,5	0,0	0,0	0,042	1	4	0,014	0,002	1
Ecart-type (σ)	Historique	0,2	0,20	12	0,4	0,03	0,1	6	1	52	1	0,2	0,1	0,0	0,07	0	0,5	0,0	0,0	0,070	3	1	0,017	0,001	1
Maximum	Historique	0,8	1,09	56	2,1	0,15	0,7	27	5	497	4	0,9	0,4	0,0	0,49	0	1,8	0,0	0,0	0,406	15	8	0,100	0,004	4
Minimum	Historique	0,0	0,04	2	0,0	0,00	0,0	0	0	188	1	0,0	0,0	0,0	0,18	0	0,0	0,0	0,0	0,000	0	1	0,000	0,000	0
Compte	Projet	5	5	5	5	5	5	5	5	5	5	5	5	5	5	5	5	5	5	5	5	5	5	5	5
Moyenne	Projet	#DIV/0!	0,07	3	#DIV/0!	0,02	#DIV/0!	#DIV/0!	1	287	2	#DIV/0!	#DIV/0!	#DIV/0!	0,31	#DIV/0!	#DIV/0!	#DIV/0!	#DIV/0!	0,018	#DIV/0!	2	0,038	#DIV/0!	3
Ecart-type (σ)	Projet	#DIV/0!	0,04	1	#DIV/0!	0,01	#DIV/0!	#DIV/0!	0	24	1	#DIV/0!	#DIV/0!	#DIV/0!	0,05	#DIV/0!	#DIV/0!	#DIV/0!	#DIV/0!	0,010	#DIV/0!	1	0,042	#DIV/0!	1
Maximum	Projet	0,0	0,14	4	0,0	0,02	0,0	0	1	307	3	0,0	0,0	0,0	0,38	0	0,0	0,0	0,0	0,030	0	3	0,100	0,000	4
Minimum	Projet	0,0	0,04	2	0,0	0,01	0,0	0	1	247	2	0,0	0,0	0,0	0,25	0	0,0	0,0	0,0	0,010	0	1	0,010	0,000	3
363	36390575	-0,2	0,04	2	-0,2	0,01	-1	-1	-1	287	3	-0,2	-0,2	-0,2	0,33	-1	-1	-1	-1	-0,01	-1	2	0,020	-0,01	4
363	36390592	-0,2	0,07	4	-0,2	-0,01	-1	-1	-1	307	3	-0,2	-0,2	-0,2	0,32	-1	-1	-1	-1	0,020	-1	2	0,020	-0,01	4
363	36390632	-0,2	0,05	2	-0,2	-0,01	-1	-1	-1	300	2	-0,2	-0,2	-0,2	0,29	-1	-1	-1	-1	0,010	-1	3	-0,01	-0,01	3
363	36390643	-0,2	0,06	2	-0,2	-0,01	-1	-1	-1	247	2	-0,2	-0,2	-0,2	0,25	-1	-1	-1	-1	0,010	-1	1	0,010	-0,01	3
363	36390660	-0,2	0,14	3	-0,2	0,02	-1	-1	-1	294	2	-0,2	-0,2	-0,2	0,38	-1	-1	-1	-1	0,030	-1	2	0,100	-0,01	3

NUMÉRO DE PROJET	ÉCHANTILLON	ICP6.3 Total Digestion, Multi-Acids																				
		Na2O wt %	Nb ppm	Nd ppm	Ni ppm	P2O5 wt %	Pb ppm	Pr ppm	Sc ppm	Sm ppm	Sr ppm	Ta ppm	Tb ppm	Th ppm	TiO2 wt %	U, ICP ppm	V ppm	W ppm	Y ppm	Yb ppm	Zn ppm	Zr ppm
Nb Analyses	5	0,01	1	1	1	0,010	1	1	1	1,0	1	1	1	1,0	1	2	1	1	1	0,1	1	1
Compte	Historique	39	39	39	39	39	39	39	39	39	39	39	39	39	39	39	39	39	39	39	39	39
Moyenne	Historique	0,02	0	1	5	0,003	3	0	0	0,3	0	3	0,0	2	0,005	6	1	0	0	0,0	3	5
Écart-type (σ)	Historique	0,04	0	2	2	0,002	6	0	0	0,5	1	5	6	0,0	4	0,008	12	1	1	0,1	2	8
Maximum	Historique	0,21	1	8	17	0,007	24	2	0	2,1	2	24	19	0,3	15	0,031	53	5	2	4	0,4	8
Minimum	Historique	0,00	0	0	3	0,000	0	0	0	0,0	0	0	0	0,0	0	-0,010	0	0	0	0,0	0	0
Compte	Projet	5	5	5	5	5	5	5	5	5	5	5	5	5	5	5	5	5	5	5	5	5
Moyenne	Projet	0,03	#DIV/0!	#DIV/0!	4	#DIV/0!	#DIV/0!	#DIV/0!	#DIV/0!	#DIV/0!	1	1	#DIV/0!	#DIV/0!	1	#DIV/0!	#DIV/0!	1	#DIV/0!	#DIV/0!	2	5
Écart-type (σ)	Projet	0,01	#DIV/0!	#DIV/0!	1	#DIV/0!	#DIV/0!	#DIV/0!	#DIV/0!	#DIV/0!	1	0	#DIV/0!	#DIV/0!	#DIV/0!	#DIV/0!	#DIV/0!	1	#DIV/0!	#DIV/0!	1	0
Maximum	Projet	0,03	0	0	5	0,000	0	0	0	0,0	2	1	0	0,0	1	0,000	0	2	2	0	0,0	2
Minimum	Projet	0,02	0	0	3	0,000	0	0	0	0,0	1	1	0	0,0	1	0,000	0	1	1	0	0,0	1
363	36390575	-0,01	-1	-1	5	-0,01	-1	-1	-1	-1	1	1	-1	-1	-1	-0,01	-2	2	1	-1	-0,1	2
363	36390592	0,02	-1	-1	3	-0,01	-1	-1	-1	-1	1	1	-1	-1	-1	-0,01	-2	1	2	-1	-0,1	2
363	36390632	-0,01	-1	-1	4	-0,01	-1	-1	-1	-1	2	1	-1	-1	-1	-0,01	-2	1	2	-1	-0,1	1
363	36390643	-0,01	-1	-1	3	-0,01	-1	-1	-1	-1	1	1	-1	-1	-1	-0,01	-2	1	1	-1	-0,1	1
363	36390660	0,03	-1	-1	3	-0,01	-1	-1	-1	-1	1	1	-1	-1	-1	-0,01	-2	2	1	-1	-0,1	2

NUMÉRO DE PROJET	ÉCHANTILLON	CERTIFICAT	DATE	DIGESTION PARTIELLE ICP6.3R																	
				Ag ppm	As ppm	Bi ppm	Co ppm	Cu ppm	Ge ppm	Hg ppm	Mo ppm	Ni ppm	Pb ppm	S ppm	Sb ppm	Se ppm	Te ppm	U, ICP ppm	V ppm	Zn ppm	
Nb Analyses	11		L.D.	0,1/0,2	0,2/1,0	0,2/1,0	0,1/1,0	0,1	0,2/1,0	0,2/1,0	0,1	0,1	0,02	10	1	0,2/1,0	0,2/1,0	0,5	0,1	0,1	
	Compte	Historique																			
	N > LD	Historique																			
	Moyenne	Historique																			
	Écart-type (σ)	Historique																			
	Maximum	Historique																			
	Minimum	Historique																			
	Compte	Projet																			
	N > LD	Projet																			
	Moyenne	Projet																			
	Écart-type (σ)	Projet																			
	Maximum	Projet																			
	Minimum	Projet																			
	BL2A	Certified value																			
	BL2A	Lower limit																			
	BL2A	Upper limit																			
363	BL2A	G-11-1169	2011-08-18																		
	Compte	Historique																			
	N > LD	Historique																			
	Moyenne	Historique																			
	Écart-type (σ)	Historique																			
	Maximum	Historique																			
	Minimum	Historique																			
	Compte	Projet																			
	N > LD	Projet																			
	Moyenne	Projet																			
	Écart-type (σ)	Projet																			
	Maximum	Projet																			
	Minimum	Projet																			
	BL3	Certified value																			
	BL3	Lower limit																			
	BL3	Upper limit																			
363	BL3	G-11-1169	2011-08-18																		
	Compte	Historique																			
	N > LD	Historique																			
	Moyenne	Historique																			
	Écart-type (σ)	Historique																			
	Maximum	Historique																			
	Minimum	Historique																			
	Compte	Projet																			
	N > LD	Projet																			
	Moyenne	Projet																			
	Écart-type (σ)	Projet																			
	Maximum	Projet																			
	Minimum	Projet																			
	BL4A	Certified value																			
	BL4A	Lower limit																			
	BL4A	Upper limit																			
363	BL4A	G-11-1169	2011-08-18																		
	Compte	Historique																			
	N > LD	Historique																			
	Moyenne	Historique																			
	Écart-type (σ)	Historique																			
	Maximum	Historique																			
	Minimum	Historique																			
	Compte	Projet																			
	N > LD	Projet																			
	Moyenne	Projet																			
	Écart-type (σ)	Projet																			
	Maximum	Projet																			
	Minimum	Projet																			
	LS4/CAR110	Certified value																			
	LS4/CAR110	Lower limit																			
	LS4/CAR110	Upper limit																			
363	LS4/CAR110	G-11-1169	2011-08-18	-0,2	13,0	-1,0	38,0	50,0	1,0	-1,0	14,0	49,0	24,0	1800,0	-1,0	-1,0	-1,0	37,0	101,0	213,0	
363	LS4/CAR110	G-11-1169	2011-08-18	-0,2	13,0	-1,0	39,0	52,0	1,0	-1,0	14,0	51,0	21,0	1810,0	-1,0	-1,0	-1,0	35,0	99,0	211,0	
363	LS4/CAR110	G-11-1169	2011-08-18	-0,2	13,0	-1,0	39,0	52,0	1,0	-1,0	14,0	51,0	22,0	1790,0	-1,0	-1,0	-1,0	36,0	102,0	216,0	
363	LS4/CAR110	G-11-1169	2011-08-18	-0,2	12,0	-1,0	39,0	50,0	1,0	-1,0	14,0	51,0	22,0	1800,0	-1,0	-1,0	-1,0	36,0	100,0	214,0	
363	LS4/CAR110	G-11-1169	2011-08-18	-0,2	12,0	-1,0	38,0	50,0	1,0	-1,0	14,0	50,0	22,0	1820,0	-1,0	-1,0	-1,0	36,0	98,0	208,0	
363	LS4/CAR110	G-11-1169	2011-08-18	-0,2	14,0	-1,0	39,0	49,0	1,0	-1,0	14,0	49,0	22,0	1800,0	-1,0	-1,0	-1,0	35,0	97,0	207,0	
363	LS4/CAR110	G-11-1169	2011-08-18	-0,2	12,0	-1,0	39,0	49,0	1,0	-1,0	14,0	51,0	23,0	1850,0	-1,0	-1,0	-1,0	37,0	100,0	213,0	
363	LS4/CAR110	G-11-1169	2011-08-18	-0,2	14,0	-1,0	39,0	52,0	1,0	-1,0	14,0	50,0	23,0	1840,0	-1,0	-1,0	-1,0	36,0	99,0	211,0	

NUMÉRO DE PROJET	ÉCHANTILLON	CERTIFICAT	DATE	DIGESTION TOTALE MULTIACIDES ICP6.3																									
				Ag ppm	Al2O3 wt %	Ba ppm	Be ppm	CaO wt %	Cd ppm	Ce ppm	Co ppm	Cr ppm	Cu ppm	Dy ppm	Er ppm	Eu ppm	Fe2O3 wt %	Ga ppm	Gd ppm	Hf ppm	Ho ppm	K2O wt %	La ppm	Li ppm	MgO wt %	MnO wt %	Mo ppm		
Nb Analyses	11		L.D.	0,2	0,01	1	0,2	0,01	1	1	1	1	1	1	0,2	0,2	0,2	0,01	1	1	1	1	0,01	1	1	0,01	0,01	1	
	Compte	Historique																											
	N > LD	Historique																											
	Moyenne	Historique																											
	Écart-type (σ)	Historique																											
	Maximum	Historique																											
	Minimum	Historique																											
	Compte	Projet																											
	N > LD	Projet																											
	Moyenne	Projet																											
	Écart-type (σ)	Projet																											
	Maximum	Projet																											
	Minimum	Projet																											
	BL2A	Certified value																											
	BL2A	Lower limit																											
	BL2A	Upper limit																											
363	BL2A	G-11-1169	2011-08-18																										
	Compte	Historique																											
	N > LD	Historique																											
	Moyenne	Historique																											
	Écart-type (σ)	Historique																											
	Maximum	Historique																											
	Minimum	Historique																											
	Compte	Projet																											
	N > LD	Projet																											
	Moyenne	Projet																											
	Écart-type (σ)	Projet																											
	Maximum	Projet																											
	Minimum	Projet																											
	BL3	Certified value																											
	BL3	Lower limit																											
	BL3	Upper limit																											
363	BL3	G-11-1169	2011-08-18																										
	Compte	Historique																											
	N > LD	Historique																											
	Moyenne	Historique																											
	Écart-type (σ)	Historique																											
	Maximum	Historique																											
	Minimum	Historique																											
	Compte	Projet																											
	N > LD	Projet																											
	Moyenne	Projet																											
	Écart-type (σ)	Projet																											
	Maximum	Projet																											
	Minimum	Projet																											
	BL4A	Certified value																											
	BL4A	Lower limit																											
	BL4A	Upper limit																											
363	BL4A	G-11-1169	2011-08-18																										
	Compte	Historique		8	8	8	8	8	8	8	8	8	8	8	8	8	8	8	8	8	8	8	8	8	8	8	8	8	8
	N > LD	Historique		8	8	8	8	8	8	8	8	8	8	8	8	8	8	8	8	8	8	8	8	8	8	8	8	8	8
	Moyenne	Historique		3,9	13,58	1700	3,5	3,19	-1,0	805	81	195	231	12,4	8,3	9,6	4,51	21	26,3	6,9	2,9	3,158	416	85	3,334	0,075	65		
	Écart-type (σ)	Historique		0,4	0,10	24	0,1	0,04	0,0	19	4	2	8	0,3	0,2	0,3	0,03	1	1,0	0,6	0,4	0,028	4	1	0,027	0,005	3		
	Maximum	Historique		4,7	13,70	1740	3,6	3,25	-1,0	825	87	199	240	13,0	8,6	9,8	4,58	22	27,0	8,0	3,0	3,210	423	86	3,380	0,080	69		
	Minimum	Historique		3,5	13,40	1660	3,4	3,13	-1,0	762	77	191	216	12,0	7,9	9,1	4,46	18	24,0	6,0	2,0	3,130	410	85	3,290	0,070	59		
	Compte	Projet		8	8	8	8	8	8	8	8	8	8	8	8	8	8	8	8	8	8	8	8	8	8	8	8	8	
	N > LD	Projet		8	8	8	8	8	8	8	8	8	8	8	8	8	8	8	8	8	8	8	8	8	8	8	8	8	
	Moyenne	Projet		3,9	13,58	1700	3,5	3,19	-1,0	805	81	195	231	12,4	8,3	9,6	4,51	21	26,3	6,9	2,9	3,158	416	85	3,334	0,075	65		
	Écart-type (σ)	Projet		0,4	0,10	24	0,1	0,04	0,0	19	4	2	8	0,3	0,2	0,3	0,03	1	1,0	0,6	0,4	0,028	4	1	0,027	0,005	3		
	Maximum	Projet		4,7	13,70	1740	3,6	3,25	-1,0	825	87	199	240	13,0	8,6	9,8	4,58	22	27,0	8,0	3,0	3,210	423	86	3,380	0,080	69		
	Minimum	Projet		3,5	13,40	1660	3,4	3,13	-1,0	762	77	191	216	12,0	7,9	9,1	4,46	18	24,0	6,0	2,0	3,130	410	85	3,290	0,070	59		
	LS4/CAR110	Certified value																											
	LS4/CAR110	Lower limit																											
	LS4/CAR110	Upper limit																											
363	LS4/CAR110	G-11-1169	2011-08-18	3,6	13,5	1710	3,5	3,16	-1,0	815	87	194	233	13,0	8,2	9,8	4,49	22	27,0	7,0	3,0	3,16	414	85	3,32	0,08	66		
363	LS4/CAR110	G-11-1169	2011-08-18	4,7	13,7	1740	3,5	3,21	-1,0	817	77	195	235	12,0	7,9	9,6	4,52	21	26,0	7,0	3,0	3,13	421	85	3,35	0,08	69		
363	LS4/CAR110	G-11-1169	2011-08-18	3,8	13,6	1680	3,5	3,16	-1,0	808	84	194	233	12,8	8,3	9,7	4,50	20	27,0	7,0	3,0	3,18	416	86	3,35	0,08	66		
363	LS4/CAR110	G-11-1169	2011-08-18	3,6	13,4	1700	3,5	3,13	-1,0	811	79	195	232	12,2	8,1	9,7	4,46	22	27,0	7,0	3,0	3,14	417	85	3,29	0,07	59		
363	LS4/CAR110	G-11-1169	2011-08-18	3,9	13,6	1710	3,5	3,15	-1,0	804	81	191	235	12,4	8,6	9,7	4,52	22	26,0	6,0	3,0	3,13	410	86	3,33	0,08	67		
363	LS4/CAR110	G-11-1169	2011-08-18	4,4	13,6	1690	3,5	3,19	-1,0	825	78	194	240	12,4	8,4	9,7	4,50	22	27,0	6,0	3,0	3,14	423	85	3,32	0,07	63		
363	LS4/CAR110	G-11-1169	2011-08-18	3,5	13,7	1710	3,6	3,25	-1,0	762	77	199	216	12,1	8,4	9,1	4,58	18	24,0	7,0	2,0	3,17	414	86	3,38	0,07	66		
363	LS4/CAR110	G-11-1169	2011-08-18	3,8	13,5	1660	3,4	3,24	-1,0																				

NUMÉRO DE PROJET	ÉCHANTILLON	CERTIFICAT	DATE	DIGESTION TOTALE MULTIACIDES ICP6.3																				Aqua Regia		
				Na2O	Nb	Nd	Ni	P2O5	Pb	Pr	Sc	Sm	Sn	Sr	Ta	Tb	Th	TiO2	U,ICP	V	W	Y	Yb	Zn	Zr	U3O8
				wt %	ppm	ppm	ppm	wt %	ppm	ppm	ppm	ppm	ppm	ppm	ppm	ppm	ppm	ppm	wt %	ppm	ppm	ppm	ppm	ppm	ppm	ppm
Nb Analyses	11		L.D.	0,01	1	1	1	0,01	1	1	1	1	1	1	1	1	1	1	1	1	0,1	1	1	0,001		
	Compte	Historique																						32		
	N > LD	Historique																						32		
	Moyenne	Historique																						0.501		
	Écart-type (σ)	Historique																						0.004		
	Maximum	Historique																						0.510		
	Minimum	Historique																						0.494		
	Compte	Projet																						1		
	N > LD	Projet																						1		
	Moyenne	Projet																						0.503		
	Écart-type (σ)	Projet																						#DIV/0!		
	Maximum	Projet																						0.503		
	Minimum	Projet																						0.503		
	BL2A	Certified value																						0.502		
	BL2A	Lower limit																						0.496		
	BL2A	Upper limit																						0.510		
363	BL2A	G-11-1169	2011-08-18																					0.503		
	Compte	Historique																						25		
	N > LD	Historique																						25		
	Moyenne	Historique																						1.212		
	Écart-type (σ)	Historique																						0.012		
	Maximum	Historique																						1.230		
	Minimum	Historique																						1.190		
	Compte	Projet																						1		
	N > LD	Projet																						1		
	Moyenne	Projet																						1.220		
	Écart-type (σ)	Projet																						#DIV/0!		
	Maximum	Projet																						1.220		
	Minimum	Projet																						1.220		
	BL3	Certified value																						1.210		
	BL3	Lower limit																						1.190		
	BL3	Upper limit																						1.230		
363	BL3	G-11-1169	2011-08-18																					1.220		
	Compte	Historique																						95		
	N > LD	Historique																						95		
	Moyenne	Historique																						0.149		
	Écart-type (σ)	Historique																						0.002		
	Maximum	Historique																						0.151		
	Minimum	Historique																						0.144		
	Compte	Projet																						1		
	N > LD	Projet																						1		
	Moyenne	Projet																						0.149		
	Écart-type (σ)	Projet																						#DIV/0!		
	Maximum	Projet																						0.149		
	Minimum	Projet																						0.149		
	BL4A	Certified value																						0.147		
	BL4A	Lower limit																						0.143		
	BL4A	Upper limit																						0.151		
363	BL4A	G-11-1169	2011-08-18																					0.149		
	Compte	Historique		8	8	8	8	8	8	8	8	8	8	8	8	8	8	8	8	8	8	8	8	8		
	N > LD	Historique		8	8	8	8	8	8	8	8	8	8	8	8	8	8	8	8	8	8	8	8	8		
	Moyenne	Historique		1,31	17	359	409	0,893	447	92	10	44,3	3	705	-1	1,9	126	0,505	3368	244	4	60	4,4	126	284	
	Écart-type (σ)	Historique		0,01	1	5	8	0,012	6	1	0	0,7	1	5	0	0,4	4	0,005	121	5	1	1	0,1	5	9	
	Maximum	Historique		1,33	18	366	422	0,910	454	94	10	45,0	4	712	-1	2,0	133	0,510	3500	253	5	62	4,5	134	296	
	Minimum	Historique		1,29	15	349	400	0,880	438	90	10	43,0	3	697	-1	1,0	120	0,500	3120	238	2	59	4,2	120	271	
	Compte	Projet		8	8	8	8	8	8	8	8	8	8	8	8	8	8	8	8	8	8	8	8	8	8	
	N > LD	Projet		8	8	8	8	8	8	8	8	8	8	8	8	8	8	8	8	8	8	8	8	8	8	
	Moyenne	Projet		1,31	17	359	409	0,893	447	92	10	44,3	3	705	-1	1,9	126	0,505	3368	244	4	60	4,4	126	284	
	Écart-type (σ)	Projet		0,01	1	5	8	0,012	6	1	0	0,7	1	5	0	0,4	4	0,005	121	5	1	1	0,1	5	9	
	Maximum	Projet		1,33	18	366	422	0,910	454	94	10	45,0	4	712	-1	2,0	133	0,510	3500	253	5	62	4,5	134	296	
	Minimum	Projet		1,29	15	349	400	0,880	438	90	10	43,0	3	697	-1	1,0	120	0,500	3120	238	2	59	4,2	120	271	
	LS4/CAR110	Certified value																								
	LS4/CAR110	Lower limit																								
	LS4/CAR110	Upper limit																								
363	LS4/CAR110	G-11-1169	2011-08-18	1,32	17	362	406	0,88	450	90	10	44,0	3	710	-1	2,0	130	0,51	3500	245	5	61	4,5	126	290	
363	LS4/CAR110	G-11-1169	2011-08-18	1,31	17	361	401	0,90	446	93	10	44,0	4	710	-1	2,0	126	0,51	3370	246	4	59	4,3	134	286	
363	LS4/CAR110	G-11-1169	2011-08-18	1,33	17	362	422	0,89	440	92	10	45,0	3	712	-1	2,0	128	0,51	3460	248	2	61	4,5	121	283	
363	LS4/CAR110	G-11-1169	2011-08-18	1,32	18	360	400	0,88	452	92	10	45,0	4	704	-1	2,0	122	0,50	3400	240	3	59	4,3	125	290	
363	LS4/CAR110	G-11-1169	2011-08-18	1,32	17	356	413	0,88	454	91	10	44,0	4	705	-1	2,0	120	0,50	3430	243	5	59	4,3	128	271	
363	LS4/CAR110	G-11-1169	2011-08-18	1,32	17	366	415	0,90	446	94	10	45,0	3	700	-1	2,0	133	0,51	3390	253	2	60	4,5	132	282	
363	LS4/CAR110	G-11-1169	2011-08-18	1,29	15	349	413	0,91	448	90	10	43,0	3	697	-1	1,0	122	0,50	3120	240	4	62	4,4	121	296	
363	LS4/CAR110	G-11-1169	2011-08-18	1,30	16	359	403	0,90	438	93	10	44,0	3	704	-1	2,0	127	0,50	3270	238	4	61	4,2	120	273	

NUMÉRO DE PROJET	ÉCHANTILLON	TYPE D'ÉCHANTILLON	CERTIFICAT	DATE	DIGESTION PARTIELLE ICP6.3R																	
					PYROANALYSE																	
					Au ppb	Ag ppm	As ppm	Bi ppm	Co ppm	Cu ppm	Ge ppm	Hg ppm	Mo ppm	Ni ppm	Pb ppm	S ppm	Sb ppm	Se ppm	Te ppm	U, ICP ppm	V ppm	Zn ppm
Nb Analyses	14				2	0,1	0,2/1,0	0,2/1,0	0,1/1,0	0,1	0,2/1,0	0,2/1,0	0,1	0,1	0	10	1	0,2/1,0	0,2/1,0	0,5	0,1	0,1
363	36390587		G-2011-1169	18-08-11	-2	-0,2	2,0	-1,0	51,0	144,0	2,0	-1,0	1,0	97,0	67,00	198,00	-1,0	-1,0	-1,0	149,0	283,0	136,0
363	36390587 R	Réplique lab	G-2011-1169	18-08-11	-2	-0,2	2,0	-1,0	52,0	145,0	2,0	-1,0	1,0	99,0	68,00	206,00	-1,0	-1,0	-1,0	152,0	285,0	138,0
363	36390588		G-2011-1169	18-08-11																		
363	36390588 R	Réplique lab	G-2011-1169	18-08-11																		
363	36390637		G-2011-1169	18-08-11	-2	-0,2	2,0	-1,0	34,0	29,0	-1,0	-1,0	-1,0	584,0	9,00	21,00	-1,0	-1,0	-1,0	5,0	13,0	68,0
363	36390637 R	Réplique lab	G-2011-1169	18-08-11	-2	-0,2	3,0	-1,0	35,0	32,0	-1,0	-1,0	-1,0	586,0	9,00	22,00	-1,0	-1,0	-1,0	4,0	14,0	71,0
363	36390641		G-2011-1169	18-08-11																		
363	36390641 R	Réplique lab	G-2011-1169	18-08-11																		
363	36390662		G-2011-1169	18-08-11	-2	0,2	5,0	-1,0	21,0	177,0	-1,0	-1,0	-1,0	81,0	34,00	842,00	-1,0	-1,0	-1,0	38,0	17,0	66,0
363	36390662 R	Réplique lab	G-2011-1169	18-08-11	-2	0,2	4,0	-1,0	21,0	174,0	1,0	-1,0	-1,0	79,0	35,00	820,00	-1,0	-1,0	-1,0	38,0	16,0	65,0
363	36390663		G-2011-1169	18-08-11		0,2	4,0	-1,0	15,0	40,0	-1,0	-1,0	1,0	55,0	13,00	521,00	-1,0	-1,0	-1,0	6,0	12,0	45,0
363	36390663 R	Réplique lab	G-2011-1169	18-08-11		0,2	4,0	-1,0	14,0	39,0	-1,0	-1,0	1,0	55,0	13,00	521,00	-1,0	-1,0	-1,0	6,0	12,0	45,0
363	36390667		G-2011-1169	18-08-11	7	0,7	25,0	-1,0	1,0	59,0	-1,0	-1,0	172,0	4,0	3370	2130	2,0	-1,0	-1,0	17800	492	6,0
363	36390667 R	Réplique lab	G-2011-1169	18-08-11	6	0,8	26,0	-1,0	1,0	58,0	-1,0	-1,0	179,0	4,0	3340	2100	2,0	-1,0	-1,0	17700	472	6,0

		DIGESTION TOTALE MULTIACIDES ICP6.3																								
NUMÉRO DE PROJET	ÉCHANTILLON	Ag ppm	Al2O3 wt %	Ba ppm	Be ppm	CaO wt %	Cd ppm	Ce ppm	Co ppm	Cr ppm	Cu ppm	Dy ppm	Er ppm	Eu ppm	Fe2O3 wt %	Ga ppm	Gd ppm	Hf ppm	Ho ppm	K2O wt %	La ppm	Li ppm	MgO wt %	MnO wt %	Mo ppm	
Nb Analyses	14	0,2	0,01	1	0,2	0,01	1,0	1	1	1	1	0,2	0,2	0,2	0,01	1	1,0	1,0	1,0	0,010	1	1	0,010	0,010	1	
363	36390587	-0,2	15,50	1530	3,2	0,79	-1,0	41	64	271	147	-0,2	3,5	-0,2	13,00	11	-1,0	11,0	1,0	2,640	21	236	9,960	0,140	5	
363	36390587 R	-0,2	15,90	1570	3,3	0,81	-1,0	42	67	279	155	-0,2	3,4	-0,2	13,20	11	-1,0	12,0	1,0	2,700	22	243	10,200	0,140	4	
363	36390588																									
363	36390588 R																									
363	36390637	-0,2	25,00	630	2,9	0,03	-1,0	9	42	69	32	-0,2	0,7	-0,2	8,83	38	-1,0	8,0	-1,0	6,740	4	102	7,150	0,100	1	
363	36390637 R	-0,2	25,10	632	2,9	0,03	-1,0	10	40	67	32	-0,2	0,7	-0,2	8,93	38	-1,0	7,0	-1,0	6,800	3	103	7,220	0,100	2	
363	36390641																									
363	36390641 R																									
363	36390662	-0,2	18,50	321	1,4	0,07	-1,0	18	27	69	187	-0,2	3,7	-0,2	9,09	21	-1,0	38,0	-1,0	4,300	9	82	5,310	0,090	2	
363	36390662 R	-0,2	18,30	317	1,3	0,06	-1,0	17	27	70	184	-0,2	3,9	-0,2	8,93	21	-1,0	38,0	-1,0	4,210	9	81	5,240	0,080	2	
363	36390663	0,4	19,80	305	1,4	0,06	-1,0	16	17	107	44	-0,2	1,4	-0,2	6,58	14	-1,0	14,0	-1,0	4,130	8	67	4,090	0,060	1	
363	36390663 R	0,4	20,30	311	1,5	0,06	-1,0	17	19	117	46	-0,2	1,5	-0,2	6,62	15	-1,0	15,0	-1,0	4,210	8	68	4,170	0,060	1	
363	36390667	3,3	3,60	6410	-0,2	0,53	-1,0	16	-1	14	111	16,5	17,4	-0,2	7,53	27	43,0	-1,0	13,0	1,660	67	8	0,150	0,020	204	
363	36390667 R	3,0	3,83	6740	-0,2	0,54	-1,0	14	-1	16	110	16,7	16,8	-0,2	7,52	28	44,0	-1,0	13,0	1,650	63	8	0,150	0,020	207	

NUMÉRO DE PROJET	ÉCHANTILLON	DIGESTION TOTALE MULTIACIDES ICP6.3																			AQUA.REGIA				
		Na2O wt %	Nb ppm	Nd ppm	Ni ppm	P2O5 wt %	Pb ppm	Pr ppm	Sc ppm	Sm ppm	Sr ppm	Ta ppm	Tb ppm	Th ppm	TiO2 wt %	U, ICP ppm	V ppm	W ppm	Y ppm	Yb ppm	Zn ppm	Zr ppm	U3O8 wt %		
Nb Analyses	14	0,01	1	1	1	0,010	1	1	1	1,0	1	1	1	1,0	1	0,010	2	1	1	1	0,1	1	1	0,001	
363	36390587	1,71	8	16	126	0,150	79	-1	36	1,0	-1	42	-1	-1,0	3	1,080	170	378	-1	26	2,2	163	103		
363	36390587 R	1,76	9	17	129	0,150	81	-1	37	1,0	-1	44	-1	-1,0	3	1,100	177	384	1	26	2,3	168	101		
363	36390588																							0,155	
363	36390588 R																								0,156
363	36390637	0,37	16	1	699	-0,010	9	-1	13	-1,0	10	10	-1	-1,0	43	0,310	7	54	-1	6	0,7	80	52		
363	36390637 R	0,38	15	1	695	-0,010	10	-1	13	-1,0	9	10	-1	-1,0	41	0,300	7	54	-1	6	0,7	84	49		
363	36390641																							0,110	
363	36390641 R																								0,107
363	36390662	0,95	32	-1	99	-0,010	44	-1	17	-1,0	10	19	-1	-1,0	273	0,700	53	60	-1	19	3,5	76	1050		
363	36390662 R	0,94	31	-1	100	-0,010	42	-1	17	-1,0	12	19	-1	-1,0	277	0,680	53	59	-1	20	3,6	75	1070		
363	36390663	2,67	17	2	64	-0,010	14	-1	9	-1,0	7	38	-1	-1,0	62	0,380	10	46	-1	7	1,2	56	334		
363	36390663 R	2,71	18	3	66	-0,010	16	-1	9	-1,0	8	39	-1	-1,0	63	0,390	10	47	-1	7	1,2	57	329		
363	36390667	0,73	14	123	10	0,010	3490	-1	1	13,0	-1	2540	-1	7,0	125	0,010	18100	591	1	233	9,9	12	6	2,260	
363	36390667 R	0,74	14	121	12	0,010	3520	-1	1	13,0	-1	2490	-1	7,0	126	0,010	18300	596	-1	237	10,0	11	5	2,240	

ANNEXE 5

CERTIFICATS D'ANALYSE

Table 1 : Certificats d'analyse SRC

Table 2 : Certificats d'analyse Actlabs

SRC Geoanalytical Laboratories

125 - 15 Innovation Blvd., Saskatoon, Saskatchewan, S7N 2X8
 Tel: (306) 933-8118 Fax: (306) 933-5656 Email: geolab@src.sk.ca

Report No: G-11-1169

IOS Services Geoscientifiques Inc.

Attention: Rejean Girard
 PO #/Project: 363 Jonathan L
 Samples: 149

Date of Report: August 26, 2011

ICP4 Aqua Regia Digestion

Column Header Details

- Silver in ppm (Ag)
- Arsenic in ppm (As)
- Bismuth in ppm (Bi)
- Cobalt in ppm (Co)
- Copper in ppm (Cu)

- Germanium in ppm (Ge)
- Mercury in ppm (Hg)
- Molybdenum in ppm (Mo)
- Nickel in ppm (Ni)
- Lead in ppm (Pb)

- Sulfur in ppm (S)
- Antimony in ppm (Sb)
- Selenium in ppm (Se)
- Tellurium in ppm (Te)
- Uranium in ppm (U, ICP)

- Vanadium in ppm (V)
- Zinc in ppm (Zn)

Sample Number	Ag ppm	As ppm	Bi ppm	Co ppm	Cu ppm	Ge ppm	Hg ppm	Mo ppm	Ni ppm	Pb ppm	S ppm	Sb ppm	Se ppm	Te ppm	U, ICP ppm	V ppm	Zn ppm
LS4/CAR110	<0.2	13	<1	38	50	1	<1	14	49	24	1800	<1	<1	<1	37	101	213
36390550	<0.2	1	<1	6	3	<1	<1	3	8	78	65	<1	2	<1	46	27	109
36390552	<0.2	10	<1	22	196	1	<1	<1	78	2	5420	<1	<1	<1	<1	54	35
36390553	<0.2	16	<1	24	387	1	<1	<1	64	3	14600	<1	<1	<1	<1	50	25
36390554	<0.2	2	<1	5	41	<1	<1	1	13	2	1710	<1	<1	<1	<1	16	22
36390555	<0.2	27	<1	18	17	<1	<1	<1	79	2	702	<1	<1	<1	<1	63	75
36390556	<0.2	1	<1	28	103	1	<1	1	98	12	5520	<1	<1	<1	<1	94	81
36390557	<0.2	<1	<1	33	104	1	<1	<1	90	614	7370	<1	<1	<1	<1	96	402
36390558	<0.2	4	<1	44	256	1	<1	2	171	16	21500	<1	1	<1	<1	58	2130
36390559	<0.2	3	<1	11	38	<1	<1	<1	26	3	509	<1	1	<1	<1	32	23
36390560	<0.2	<1	<1	14	152	<1	<1	<1	38	3	1200	<1	2	<1	<1	46	26
36390561	<0.2	4	<1	7	3	<1	<1	1	7	76	190	<1	<1	<1	162	27	14
36390562	0.3	1	<1	11	251	<1	<1	11	22	271	2670	<1	1	1	<1	11	13
36390563	<0.2	1	<1	27	54	<1	<1	<1	94	8	1940	<1	<1	<1	<1	67	117
36390564	<0.2	2	<1	25	99	<1	<1	<1	62	1	1860	<1	<1	<1	<1	56	33
36390565	0.2	9	<1	8	23	<1	<1	<1	31	22	2400	<1	<1	<1	<1	24	43
36390566	<0.2	3	<1	15	81	<1	<1	<1	36	1	877	<1	<1	<1	<1	34	35
36390567	<0.2	<1	<1	7	36	<1	<1	<1	26	2	154	<1	2	<1	<1	28	22
36390568	<0.2	<1	<1	8	4	<1	<1	1	8	<1	536	<1	1	<1	<1	25	11
36390569	<0.2	1	2	20	5	<1	<1	1	546	4	35	1	<1	<1	<1	48	15

SRC Geoanalytical Laboratories

Report No: G-11-1169

IOS Services Geoscientifiques Inc.

125 - 15 Innovation Blvd., Saskatoon, Saskatchewan, S7N 2X8

Attention: Rejean Girard

Tel: (306) 933-8118 Fax: (306) 933-5656 Email: geolab@src.sk.ca

PO #/Project: 363 Jonathan L

Date of Report: August 26, 2011

Samples: 149

ICP4 Aqua Regia Digestion

Sample Number	Ag ppm	As ppm	Bi ppm	Co ppm	Cu ppm	Ge ppm	Hg ppm	Mo ppm	Ni ppm	Pb ppm	S ppm	Sb ppm	Se ppm	Te ppm	U, ICP ppm	V ppm	Zn ppm
LS4/CAR110	<0.2	13	<1	39	52	1	<1	14	51	21	1810	<1	<1	<1	35	99	211
36390570	<0.2	<1	<1	12	59	<1	<1	<1	163	15	90	<1	<1	<1	<1	17	13
36390571	<0.2	<1	<1	18	23	<1	<1	<1	24	1	1760	<1	1	<1	<1	65	20
36390572	<0.2	3	<1	15	15	<1	<1	2	46	3	3120	<1	<1	<1	4	14	53
36390573	<0.2	2	18	117	2100	3	<1	11	72	11	29200	<1	2	<1	<1	129	80
36390574	<0.2	1	<1	59	1030	1	<1	1	149	11	20400	<1	<1	2	<1	26	510
36390575	<0.2	<1	<1	<1	3	<1	<1	2	3	<1	21	<1	<1	<1	<1	<1	1
36390576	<0.2	2	<1	25	2	1	<1	<1	97	1	21	<1	<1	<1	<1	99	85
36390577	<0.2	<1	<1	3	2	<1	<1	1	6	2	37	<1	<1	<1	<1	14	25
36390578	<0.2	2	<1	57	14	<1	<1	<1	283	16	133	<1	<1	<1	38	141	121
36390581	<0.2	<1	<1	22	30	1	<1	1	15	11	138	<1	1	<1	2	56	54
36390582	<0.2	<1	<1	28	171	1	<1	1	19	50	361	<1	<1	<1	92	102	53
36390584	<0.2	1	<1	16	42	1	<1	<1	10	34	57	<1	<1	<1	23	169	73
36390586	<0.2	1	<1	21	76	1	<1	<1	13	10	92	<1	<1	<1	4	93	56
36390587	<0.2	2	<1	51	144	2	<1	1	97	67	198	<1	<1	<1	149	283	136
36390589	<0.2	3	<1	25	113	3	<1	<1	144	34	387	<1	<1	<1	85	440	97
36390590	<0.2	<1	<1	2	11	<1	<1	1	5	16	272	<1	<1	<1	3	8	13
36390592	<0.2	<1	<1	<1	1	<1	<1	3	3	<1	14	<1	<1	<1	<1	<1	<1
36390600	<0.2	<1	<1	<1	1	<1	<1	1	3	2	52	<1	<1	<1	<1	1	3
36390587 R	<0.2	2	<1	52	145	2	<1	1	99	68	206	<1	<1	<1	152	285	138
LS4/CAR110	<0.2	13	<1	39	52	1	<1	14	51	22	1790	<1	<1	<1	36	102	216
36390601	<0.2	<1	2	34	2	1	<1	<1	568	4	318	<1	<1	<1	<1	95	15
36390602	0.2	2	<1	1	<1	<1	<1	4	4	29	64	<1	3	1	48	4	22
36390603	0.3	<1	<1	3	221	<1	<1	1	3	28	2660	<1	1	<1	4	1	7
36390604	0.4	2	<1	8	84	<1	<1	3	26	2	11800	<1	<1	1	<1	<1	12
36390605	0.2	<1	<1	1	10	<1	<1	3	7	16	581	<1	<1	<1	3	1	3
36390606	<0.2	<1	<1	7	86	<1	<1	1	22	12	2360	<1	1	<1	3	19	19
36390607	<0.2	<1	<1	15	6	<1	<1	5	63	23	425	<1	<1	<1	7	75	101
36390608	<0.2	1	<1	3	2	<1	<1	4	5	4	391	<1	<1	<1	1	8	17
36390609	<0.2	2	<1	2	<1	<1	<1	1	9	4	104	<1	<1	<1	<1	1	9
36390610	<0.2	1	<1	38	145	<1	<1	1	32	1	5840	<1	2	1	<1	49	16
36390611	<0.2	<1	<1	13	6	1	<1	<1	27	3	102	<1	<1	<1	<1	70	47
36390612	<0.2	1	<1	12	27	1	<1	<1	8	3	230	<1	<1	2	<1	25	49
36390613	<0.2	1	<1	7	34	<1	<1	1	27	2	124	<1	1	<1	<1	24	21
36390614	<0.2	<1	<1	18	2	<1	<1	1	72	7	24	<1	<1	<1	1	54	45
36390615	<0.2	<1	<1	1	2	<1	<1	3	4	26	58	<1	<1	<1	11	2	19
36390616	<0.2	<1	<1	27	66	<1	<1	<1	126	1	3820	<1	<1	<1	<1	33	19
36390617	<0.2	<1	<1	3	18	<1	<1	3	12	27	403	<1	<1	<1	31	18	32
36390619	<0.2	<1	<1	23	166	1	<1	<1	20	15	182	<1	<1	<1	17	48	47
36390622	<0.2	1	<1	7	4	<1	<1	1	10	12	20	<1	<1	<1	<1	25	51

SRC Geoanalytical Laboratories

125 - 15 Innovation Blvd., Saskatoon, Saskatchewan, S7N 2X8
 Tel: (306) 933-8118 Fax: (306) 933-5656 Email: geolab@src.sk.ca

Report No: G-11-1169

IOS Services Geoscientifiques Inc.

Attention: Rejean Girard

PO #/Project: 363 Jonathan L

Samples: 149

Date of Report: August 26, 2011

ICP4 Aqua Regia Digestion

Sample Number	Ag ppm	As ppm	Bi ppm	Co ppm	Cu ppm	Ge ppm	Hg ppm	Mo ppm	Ni ppm	Pb ppm	S ppm	Sb ppm	Se ppm	Te ppm	U, ICP ppm	V ppm	Zn ppm
LS4/CAR110	<0.2	12	<1	39	50	1	<1	14	51	22	1800	<1	<1	<1	36	100	214
36390623	<0.2	2	<1	21	2	1	<1	<1	25	3	28	<1	<1	<1	<1	69	54
36390624	<0.2	<1	<1	9	38	<1	<1	<1	22	<1	398	<1	<1	<1	<1	48	18
36390625	<0.2	2	<1	33	91	1	<1	<1	121	13	120	<1	<1	<1	<1	158	68
36390626	<0.2	1	<1	26	74	1	<1	<1	85	2	1170	<1	<1	<1	<1	57	67
36390627	<0.2	1	<1	1	1	<1	<1	1	6	6	28	<1	<1	<1	<1	4	16
36390628	<0.2	1	<1	<1	2	<1	<1	4	4	1	64	<1	<1	<1	<1	2	1
36390629	<0.2	6	<1	12	9	1	<1	3	9	2	1160	<1	<1	<1	<1	56	50
36390630	<0.2	3	<1	15	17	<1	<1	20	79	1	1070	<1	<1	<1	1	22	63
36390631	<0.2	<1	<1	<1	1	<1	<1	3	3	6	12	<1	<1	<1	12	<1	2
36390632	<0.2	<1	<1	<1	1	<1	<1	2	3	<1	<10	<1	<1	<1	<1	<1	<1
36390633	<0.2	<1	<1	1	3	<1	<1	3	5	4	14	<1	<1	<1	<1	4	8
36390634	<0.2	<1	6	15	23	1	<1	4	54	1	42	<1	<1	1	<1	77	36
36390635	0.2	3	<1	40	111	<1	<1	<1	478	17	95	<1	3	<1	34	16	90
36390636	0.2	1	<1	21	38	<1	<1	<1	229	20	38	1	<1	<1	44	7	44
36390637	<0.2	2	<1	34	29	<1	<1	<1	564	9	21	<1	<1	<1	5	13	68
36390638	0.2	2	<1	20	35	<1	<1	<1	240	31	1020	1	4	<1	43	35	52
36390640	0.2	9	<1	50	129	<1	<1	<1	137	48	3290	<1	<1	<1	45	17	129
36390642	0.2	2	<1	13	55	<1	<1	4	29	14	2120	<1	2	<1	49	17	72
36390637 R	<0.2	3	<1	35	32	<1	<1	<1	586	9	22	<1	<1	<1	4	14	71
LS4/CAR110	<0.2	12	<1	38	50	1	<1	14	50	22	1820	<1	<1	<1	36	98	208
36390643	0.2	<1	<1	<1	1	<1	<1	2	2	<1	<10	<1	<1	<1	<1	<1	1
36390644	<0.2	<1	<1	18	<1	1	<1	<1	71	1	<10	<1	<1	<1	<1	89	82
36390645	<0.2	<1	<1	1	2	<1	<1	4	6	2	15	<1	<1	<1	1	8	5
36390646	<0.2	5	<1	68	1	<1	<1	<1	972	1	46	<1	<1	<1	<1	46	33
36390647	<0.2	2	<1	19	8	<1	<1	<1	232	1	196	<1	<1	<1	<1	51	27
36390648	<0.2	1	<1	14	1	<1	<1	<1	48	<1	12	<1	<1	<1	<1	47	35
36390649	0.2	<1	<1	9	74	<1	<1	8	45	8	93	<1	<1	<1	13	8	35
36390650	0.2	<1	<1	6	1	1	<1	6	43	125	56	<1	7	<1	89	29	26
36390651	0.2	<1	<1	14	13	<1	<1	47	55	140	194	<1	<1	2	56	36	84
36390652	0.3	<1	<1	17	88	4	<1	<1	46	7	10100	<1	<1	<1	<1	128	57
36390653	<0.2	<1	<1	4	3	<1	<1	5	43	1	34	<1	<1	<1	<1	10	11
36390654	<0.2	1	<1	13	44	<1	<1	1	33	1	199	<1	2	<1	<1	46	22
36390655	0.2	14	2	2	16	<1	<1	8	12	345	203	<1	<1	<1	129	6	21
36390656	<0.2	<1	<1	13	39	<1	<1	<1	49	2	76	<1	1	<1	<1	56	26
36390657	<0.2	<1	<1	1	1	<1	<1	3	4	11	33	<1	<1	<1	10	4	19
36390658	<0.2	1	<1	6	38	<1	<1	2	38	<1	335	<1	1	<1	<1	17	6
36390659	<0.2	7	<1	48	245	1	<1	1	65	10	26300	<1	2	<1	<1	45	236
36390660	<0.2	<1	<1	<1	2	<1	<1	2	2	<1	14	<1	<1	<1	<1	1	1
36390663	0.2	4	<1	15	40	<1	<1	1	55	13	521	<1	<1	<1	6	12	45

SRC Geoanalytical Laboratories

125 - 15 Innovation Blvd., Saskatoon, Saskatchewan, S7N 2X8
 Tel: (306) 933-8118 Fax: (306) 933-5656 Email: geolab@src.sk.ca

Report No: G-11-1169

IOS Services Geoscientifiques Inc.

Attention: Rejean Girard

PO #/Project: 363 Jonathan L

Samples: 149

Date of Report: August 26, 2011

ICP4 Aqua Regia Digestion

Sample Number	Ag ppm	As ppm	Bi ppm	Co ppm	Cu ppm	Ge ppm	Hg ppm	Mo ppm	Ni ppm	Pb ppm	S ppm	Sb ppm	Se ppm	Te ppm	U, ICP ppm	V ppm	Zn ppm
LS4/CAR110	<0.2	14	<1	39	49	1	<1	14	49	22	1800	<1	<1	<1	35	97	207
36390664	0.6	2	<1	10	45	<1	<1	1	27	17	495	<1	<1	<1	6	8	34
36390668	<0.2	1	<1	<1	3	<1	<1	4	4	85	396	<1	<1	<1	110	39	4
36390663 R	0.2	4	<1	14	39	<1	<1	1	55	13	521	<1	<1	<1	6	12	45
LS4/CAR110	<0.2	12	<1	39	49	1	<1	14	51	23	1850	<1	<1	<1	37	100	213
36390579	<0.2	3	1	27	185	1	<1	1	249	45	189	<1	<1	<1	362	217	62
36390588	<0.2	<1	4	28	1210	2	<1	3	37	448	907	<1	<1	<1	1310	408	48
36390593	0.2	5	<1	13	165	<1	<1	3	64	200	635	<1	7	<1	146	15	60
36390594	0.2	10	<1	22	141	<1	<1	1	38	285	1900	<1	7	<1	146	14	63
36390595	0.2	2	<1	5	60	<1	<1	2	18	40	463	<1	1	<1	55	2	24
36390596	0.2	3	<1	21	124	<1	<1	<1	81	91	879	<1	<1	<1	84	22	85
36390598	0.2	2	<1	22	165	<1	<1	<1	78	173	1370	<1	4	<1	208	18	84
36390599	0.2	5	<1	28	737	<1	<1	<1	186	113	1100	<1	4	<1	143	23	91
36390620	<0.2	2	2	30	581	3	<1	2	113	371	757	3	<1	<1	791	524	68
36390639	0.2	10	<1	65	737	<1	<1	<1	683	192	478	<1	1	<1	169	22	150
36390662	0.2	5	<1	21	177	<1	<1	<1	81	34	842	<1	<1	<1	38	17	66
36390665	0.2	10	<1	26	543	<1	<1	1	62	1260	2280	<1	34	8	799	32	84
36390662 R	0.2	4	<1	21	174	1	<1	<1	79	35	820	<1	<1	<1	38	16	65
LS4/CAR110	<0.2	14	<1	39	52	1	<1	14	50	23	1840	<1	<1	<1	36	99	211
36390551	0.2	24	<1	90	5350	<1	<1	<1	362	441	6160	<1	28	3	586	35	110
36390585	<0.2	1	<1	17	529	5	<1	5	32	493	636	1	<1	<1	848	707	53
36390597	0.2	4	<1	30	1210	<1	<1	<1	154	464	3300	<1	23	3	625	35	84
36390621	<0.2	4	<1	25	1640	13	<1	57	41	1410	992	12	<1	<1	5160	2240	48
36390641	0.2	4	<1	28	137	<1	<1	<1	139	372	1150	<1	24	3	825	58	81
36390661	0.2	2	<1	36	119	<1	<1	<1	238	220	2130	<1	9	<1	302	31	92
36390666	0.2	3	<1	38	198	<1	<1	<1	213	670	2960	<1	<1	5	893	43	84
36390591	<0.2	15	<1	4	135	7	<1	5	16	1610	611	8	<1	<1	4280	1300	28
36390669	<0.2	120	<1	3	46	<1	<1	26	39	2220	1830	1	4	<1	11700	327	14
36390580	<0.2	25	1	13	980	11	<1	42	72	1290	887	15	<1	<1	8300	2420	27
36390583	<0.2	31	<1	28	1740	3	<1	7	59	5150	2820	29	<1	<1	15200	4970	44
36390618	<0.2	10	<1	36	1290	44	<1	2	73	6280	991	46	<1	<1	13300	7070	75
36390667	0.7	25	<1	1	59	<1	<1	172	4	3370	2130	2	<1	<1	17800	492	6
36390667 R	0.8	26	<1	1	58	<1	<1	179	4	3340	2100	2	<1	<1	17700	472	6

Aqua Regia: A 0.5 g pulp is digested with 2.00 ml of 3:1 HCL:HNO3 for 1 hour at 95 C.
 The standard is LS4.

SRC Geoanalytical Laboratories

125 - 15 Innovation Blvd., Saskatoon, Saskatchewan, S7N 2X8
Tel: (306) 933-8118 Fax: (306) 933-5656 Email: geolab@src.sk.ca

Report No: G-11-1169

IOS Services Geoscientifiques Inc.

Attention: Rejean Girard
PO #/Project: 363 Jonathan L
Samples: 149

Date of Report: August 26, 2011

ICP1 Total Digestion

Column Header Details

Silver in ppm (Ag)
Aluminum in wt % (Al₂O₃)
Barium in ppm (Ba)
Beryllium in ppm (Be)
Calcium in wt % (CaO)

Cadmium in ppm (Cd)
Cerium in ppm (Ce)
Cobalt in ppm (Co)
Chromium in ppm (Cr)
Copper in ppm (Cu)

Dysprnosium in ppm (Dy)
Erbium in ppm (Er)
Europium in ppm (Eu)
Iron in wt % (Fe₂O₃)
Gallium in ppm (Ga)

Gadolinium in ppm (Gd)
Hafnium in ppm (Hf)
Holmium in ppm (Ho)
Potassium in wt % (K₂O)
Lanthanum in ppm (La)

Lithium in ppm (Li)
Magnesium in wt % (MgO)
Manganese in wt % (MnO)
Molybdenum in ppm (Mo)
Sodium in wt % (Na₂O)

Niobium in ppm (Nb)
Neodymium in ppm (Nd)
Nickel in ppm (Ni)
Phosphorus in wt % (P₂O₅)
Lead in ppm (Pb)

Praseodymium in ppm (Pr)
Scandium in ppm (Sc)
Samarium in ppm (Sm)
Tin in ppm (Sn)
Strontium in ppm (Sr)

Tantalum in ppm (Ta)
Terbium in ppm (Tb)
Thorium in ppm (Th)
Titanium in wt % (TiO₂)
Uranium in ppm (U, ICP)

IOS Services Geoscientifiques Inc.

Attention: Rejean Girard

PO #/Project: 363 Jonathan L

Samples: 149

SRC Geoanalytical Laboratories

125 - 15 Innovation Blvd., Saskatoon, Saskatchewan, S7N 2X8

Tel: (306) 933-8118 Fax: (306) 933-5656 Email: geolab@src.sk.ca

Report No: G-11-1169

Date of Report: August 26, 2011

ICP1 Total Digestion

Column Header Details

Vanadium in ppm (V)

Tungsten in ppm (W)

Yttrium in ppm (Y)

Ytterbium in ppm (Yb)

Zinc in ppm (Zn)

Zirconium in ppm (Zr)

SRC Geoanalytical Laboratories

125 - 15 Innovation Blvd., Saskatoon, Saskatchewan, S7N 2X8
 Tel: (306) 933-8118 Fax: (306) 933-5656 Email: geolab@src.sk.ca

Report No: G-11-1169

IOS Services Geoscientifiques Inc.

Attention: Rejean Girard
 PO #/Project: 363 Jonathan L
 Samples: 149

Date of Report: August 26, 2011

ICP1 Total Digestion

Sample Number	Aq ppm	Al2O3 wt %	Ba ppm	Be ppm	CaO wt %	Cd ppm	Ce ppm	Co ppm	Cr ppm	Cu ppm	Dy ppm	Er ppm	Eu ppm	Fe2O3 wt %	Ga ppm	Gd ppm	Hf ppm
LS4/CAR110	3.6	13.5	1710	3.5	3.16	<1	815	87	194	233	13.0	8.2	9.8	4.49	22	27	7
36390550	<0.2	15.1	475	1.9	1.73	<1	366	8	158	6	4.9	6.7	0.4	5.66	23	9	31
36390552	0.2	15.6	120	0.7	10.2	<1	9	52	229	220	<0.2	3.3	<0.2	20.0	2	<1	16
36390553	0.2	14.3	93	0.5	8.20	<1	8	48	405	441	<0.2	2.4	<0.2	25.8	<1	<1	20
36390554	<0.2	11.8	252	0.7	2.11	<1	17	7	242	46	<0.2	0.8	0.2	2.68	13	<1	4
36390555	<0.2	17.3	105	0.7	8.78	<1	7	52	559	18	<0.2	2.6	<0.2	12.7	4	<1	11
36390556	<0.2	15.1	473	0.8	4.29	<1	47	36	440	116	<0.2	2.8	0.3	8.24	9	<1	9
36390557	0.3	14.7	359	0.8	2.87	12	26	49	446	121	<0.2	3.2	<0.2	11.0	7	<1	11
36390558	<0.2	12.9	416	1.0	1.11	8	32	51	372	266	<0.2	1.9	<0.2	11.0	9	<1	10
36390559	<0.2	17.1	190	0.6	11.1	<1	6	62	490	47	<0.2	3.4	<0.2	11.9	7	<1	9
36390560	<0.2	16.8	45	0.6	14.4	<1	6	53	276	165	<0.2	2.8	<0.2	15.1	10	<1	11
36390561	<0.2	18.3	307	0.8	4.26	<1	53	7	110	7	2.3	3.7	0.4	1.70	15	2	6
36390562	0.5	18.4	375	0.6	6.00	<1	35	25	143	315	2.5	4.5	0.7	5.58	7	3	10
36390563	<0.2	23.8	1390	1.5	1.13	1	15	31	246	59	<0.2	1.1	<0.2	9.09	15	<1	7
36390564	<0.2	18.4	145	0.7	10.9	<1	8	66	355	117	<0.2	3.7	<0.2	12.4	11	<1	9
36390565	<0.2	15.4	367	1.2	9.67	1	5	36	476	27	<0.2	2.4	<0.2	13.1	7	<1	11
36390566	<0.2	17.8	132	1.0	9.65	<1	3	50	696	98	<0.2	2.2	<0.2	10.3	4	<1	8
36390567	<0.2	15.8	139	0.6	11.6	<1	6	59	386	45	<0.2	3.2	<0.2	14.2	4	<1	10
36390568	<0.2	5.37	78	0.5	6.33	<1	8	44	200	5	<0.2	1.7	<0.2	8.57	4	<1	6
36390569	<0.2	5.35	19	0.5	9.07	<1	1	70	3130	7	<0.2	0.8	<0.2	9.69	<1	<1	9
LS4/CAR110	4.7	13.7	1740	3.5	3.21	<1	817	77	195	235	12.0	7.9	9.6	4.52	21	26	7
36390570	<0.2	4.51	19	0.3	1.14	<1	2	69	2120	77	<0.2	0.2	<0.2	6.06	<1	<1	7
36390571	<0.2	14.2	213	0.9	10.1	<1	12	65	178	27	<0.2	3.1	<0.2	16.3	5	<1	11
36390572	<0.2	13.5	885	1.6	0.33	<1	12	20	263	18	<0.2	1.0	<0.2	4.68	8	<1	6
36390573	2.1	14.1	252	5.2	8.67	<1	15	151	244	2300	<0.2	4.0	<0.2	21.8	3	<1	17
36390574	0.6	15.8	276	0.9	10.3	1	27	86	234	1280	<0.2	4.2	0.2	12.7	8	<1	10
36390575	<0.2	0.04	2	<0.2	0.01	<1	<1	1	287	3	<0.2	<0.2	<0.2	0.33	<1	<1	<1
36390576	<0.2	15.6	468	1.7	7.01	<1	6	52	473	3	<0.2	2.8	<0.2	14.2	7	<1	11
36390577	<0.2	16.7	584	1.0	3.14	<1	17	6	175	3	<0.2	0.4	<0.2	2.28	16	<1	3
36390578	<0.2	13.1	1760	4.0	0.68	<1	52	72	1260	14	<0.2	1.6	0.2	8.50	14	<1	9
36390581	<0.2	13.4	2860	2.8	1.29	<1	108	31	51	33	3.5	5.0	1.5	9.46	14	4	15
36390582	<0.2	12.1	6240	2.5	1.05	<1	105	31	71	176	3.2	4.5	1.1	9.62	17	3	15
36390584	<0.2	13.1	1720	1.9	2.37	<1	97	21	93	46	0.5	4.7	1.2	9.31	17	3	15
36390586	<0.2	12.7	2630	1.8	1.12	<1	108	32	54	80	2.1	4.7	1.5	9.55	17	3	14
36390587	<0.2	15.5	1530	3.2	0.79	<1	41	64	271	147	<0.2	3.5	<0.2	13.0	11	<1	11
36390589	<0.2	13.0	36800	3.4	0.95	<1	76	30	483	120	1.4	4.1	0.8	9.35	16	2	11
36390590	<0.2	13.7	2000	1.6	0.80	<1	43	3	154	15	3.4	2.4	<0.2	1.36	16	3	2
36390592	<0.2	0.07	4	<0.2	<0.01	<1	<1	<1	307	3	<0.2	<0.2	<0.2	0.32	<1	<1	<1
36390600	<0.2	12.1	1040	1.1	0.47	<1	62	<1	181	2	4.3	3.4	<0.2	0.85	13	2	7
36390587 R	<0.2	15.9	1570	3.3	0.81	<1	42	67	279	155	<0.2	3.4	<0.2	13.2	11	<1	12

SRC Geoanalytical Laboratories

IOS Services Geoscientifiques Inc.

125 - 15 Innovation Blvd., Saskatoon, Saskatchewan, S7N 2X8

Report No: G-11-1169

Attention: Rejean Girard

Tel: (306) 933-8118 Fax: (306) 933-5656 Email: geolab@src.sk.ca

PO #/Project: 363 Jonathan L

Date of Report: August 26, 2011

Samples: 149

ICP1 Total Digestion

Sample Number	Aq ppm	Al2O3 wt %	Ba ppm	Be ppm	CaO wt %	Cd ppm	Ce ppm	Co ppm	Cr ppm	Cu ppm	Dy ppm	Er ppm	Eu ppm	Fe2O3 wt %	Ga ppm	Gd ppm	Hf ppm
LS4/CAR110	3.8	13.6	1680	3.5	3.16	<1	808	84	194	233	12.8	8.3	9.7	4.50	20	27	7
36390601	<0.2	5.79	30	0.5	8.78	<1	6	76	2890	2	<0.2	1.1	<0.2	12.0	<1	<1	10
36390602	<0.2	14.0	433	0.8	0.48	<1	338	<1	174	2	5.3	4.8	0.8	1.23	15	10	18
36390603	0.5	13.0	165	1.1	0.99	<1	5	4	182	277	<0.2	1.3	<0.2	1.82	12	<1	12
36390604	0.7	0.31	20	0.3	1.70	<1	3	10	288	96	<0.2	0.2	<0.2	6.50	<1	<1	5
36390605	<0.2	14.2	1080	0.8	0.60	<1	44	<1	167	14	0.9	0.6	0.6	0.63	11	1	2
36390606	<0.2	15.3	137	9.7	8.38	1	33	13	262	102	<0.2	1.7	0.4	4.63	22	<1	6
36390607	<0.2	16.6	452	1.4	1.68	<1	124	18	332	7	6.1	6.9	0.3	6.45	21	5	8
36390608	<0.2	14.2	1050	0.5	0.61	<1	96	3	303	2	3.3	2.0	0.6	1.68	11	4	8
36390609	<0.2	20.5	942	1.1	0.16	<1	226	3	107	1	<0.2	1.7	1.2	1.80	21	6	6
36390610	<0.2	15.8	141	0.6	13.8	<1	4	70	329	187	<0.2	3.0	<0.2	11.9	7	<1	9
36390611	<0.2	18.7	247	1.0	9.24	<1	9	63	360	6	<0.2	3.6	<0.2	16.5	7	<1	13
36390612	<0.2	15.0	752	1.0	3.92	<1	65	19	104	32	6.7	7.5	1.0	8.98	15	6	13
36390613	<0.2	17.5	496	1.0	6.81	<1	47	32	162	41	<0.2	2.7	0.4	8.15	9	<1	8
36390614	<0.2	13.1	800	1.5	0.56	<1	71	21	303	2	<0.2	1.7	0.2	4.90	6	<1	13
36390615	<0.2	12.4	262	1.5	0.30	<1	5	<1	231	3	0.8	1.4	<0.2	1.00	14	1	1
36390616	<0.2	12.6	87	0.6	10.4	<1	62	58	866	79	<0.2	2.4	<0.2	11.2	1	<1	9
36390617	<0.2	12.2	2710	1.0	0.38	<1	18	4	225	24	<0.2	0.7	<0.2	1.94	11	<1	3
36390619	<0.2	12.8	5350	2.6	0.87	<1	100	26	53	178	4.6	4.7	1.0	8.00	15	3	14
36390622	<0.2	15.4	904	1.6	1.52	<1	63	7	121	5	0.8	2.2	0.4	3.64	13	1	7
LS4/CAR110	3.6	13.4	1700	3.5	3.13	<1	811	79	195	232	12.2	8.1	9.7	4.46	22	27	7
36390623	<0.2	14.8	284	0.9	8.69	<1	23	60	176	3	<0.2	6.5	0.3	16.9	6	<1	13
36390624	<0.2	15.5	71	0.6	10.8	<1	7	60	345	45	<0.2	3.4	<0.2	15.4	5	<1	12
36390625	<0.2	17.0	237	0.9	5.56	<1	49	45	350	92	<0.2	2.8	0.5	9.02	10	<1	9
36390626	<0.2	17.4	145	0.8	6.80	<1	34	49	340	88	<0.2	4.0	0.4	11.3	8	<1	11
36390627	<0.2	13.8	262	2.4	1.36	<1	41	2	176	2	<0.2	1.8	0.3	1.11	12	1	3
36390628	<0.2	2.93	91	<0.2	0.03	<1	29	<1	281	3	1.0	0.8	<0.2	0.67	1	<1	2
36390629	<0.2	18.2	2060	3.7	3.18	<1	166	29	91	11	4.0	10.3	2.3	12.3	15	8	18
36390630	<0.2	16.5	790	2.6	0.57	<1	37	19	361	17	<0.2	1.6	<0.2	6.64	12	<1	8
36390631	<0.2	14.9	189	0.4	0.44	<1	5	<1	215	1	<0.2	1.3	<0.2	1.42	19	<1	2
36390632	<0.2	0.05	2	<0.2	<0.01	<1	<1	<1	300	2	<0.2	<0.2	<0.2	0.29	<1	<1	<1
36390633	<0.2	14.1	789	0.5	0.08	<1	25	<1	217	4	1.2	1.2	0.3	0.82	11	1	3
36390634	<0.2	16.8	265	0.7	10.0	<1	4	55	473	26	<0.2	2.8	<0.2	12.9	6	<1	10
36390635	<0.2	22.8	514	1.6	0.06	<1	15	47	57	119	<0.2	4.0	<0.2	10.4	21	<1	22
36390636	<0.2	17.9	354	1.8	0.06	<1	10	27	92	54	<0.2	4.6	<0.2	5.85	17	<1	17
36390637	<0.2	25.0	630	2.9	0.03	<1	9	42	69	32	<0.2	0.7	<0.2	8.83	38	<1	8
36390638	<0.2	22.5	698	3.0	0.05	<1	4	33	2390	44	<0.2	7.4	<0.2	7.52	51	<1	48
36390640	<0.2	18.9	257	1.2	0.02	2	10	56	43	130	<0.2	2.1	<0.2	13.5	15	<1	25
36390642	<0.2	18.1	530	2.5	0.54	<1	12	15	128	70	<0.2	4.0	<0.2	5.24	22	<1	25
36390637 R	<0.2	25.1	632	2.9	0.03	<1	10	40	67	32	<0.2	0.7	<0.2	8.93	38	<1	7

SRC Geoanalytical Laboratories

IOS Services Geoscientifiques Inc.

125 - 15 Innovation Blvd., Saskatoon, Saskatchewan, S7N 2X8

Report No: G-11-1169

Attention: Rejean Girard

Tel: (306) 933-8118 Fax: (306) 933-5656 Email: geolab@src.sk.ca

PO #/Project: 363 Jonathan L

Date of Report: August 26, 2011

Samples: 149

ICPI Total Digestion

Sample Number	Aq ppm	Al2O3 wt %	Ba ppm	Be ppm	CaO wt %	Cd ppm	Ce ppm	Co ppm	Cr ppm	Cu ppm	Dy ppm	Er ppm	Eu ppm	Fe2O3 wt %	Ga ppm	Gd ppm	Hf ppm
LS4/CAR110	3.9	13.6	1710	3.5	3.15	<1	804	81	191	235	12.4	8.6	9.7	4.52	22	26	6
36390643	<0.2	0.06	2	<0.2	<0.01	<1	<1	<1	247	2	<0.2	<0.2	<0.2	0.25	<1	<1	<1
36390644	<0.2	16.9	515	1.2	9.49	<1	10	51	437	<1	<0.2	3.0	<0.2	14.0	7	<1	11
36390645	<0.2	11.6	2090	0.3	0.33	<1	25	<1	281	4	1.3	1.7	<0.2	1.48	8	<1	6
36390646	<0.2	4.54	43	0.3	1.26	<1	4	100	2380	2	<0.2	0.5	<0.2	8.19	<1	<1	8
36390647	<0.2	10.6	84	0.4	7.24	<1	4	64	1930	9	<0.2	1.4	<0.2	9.76	<1	<1	9
36390648	<0.2	16.4	371	0.9	9.62	<1	3	55	481	<1	<0.2	2.5	<0.2	12.6	4	<1	10
36390649	<0.2	13.0	403	1.5	0.30	<1	7	12	187	82	1.4	3.4	<0.2	4.68	18	<1	13
36390650	<0.2	2.15	62	<0.2	0.36	<1	6	7	257	11	0.5	7.2	<0.2	2.52	4	<1	83
36390651	<0.2	7.76	290	0.5	0.83	<1	28	17	314	18	<0.2	3.3	<0.2	6.36	11	<1	26
36390652	1.2	10.1	155	0.9	6.94	1	16	28	246	103	<0.2	2.7	<0.2	35.9	<1	<1	24
36390653	<0.2	1.02	17	0.2	0.04	<1	6	5	471	4	<0.2	<0.2	<0.2	1.22	<1	<1	1
36390654	<0.2	9.73	30	0.7	8.20	<1	1	35	447	53	<0.2	1.4	<0.2	7.30	2	<1	5
36390655	<0.2	17.2	1010	28.0	0.29	<1	255	2	182	23	8.1	4.7	1.3	3.72	21	12	31
36390656	<0.2	17.5	85	0.7	11.2	1	8	72	261	49	<0.2	3.5	<0.2	15.6	4	<1	11
36390657	<0.2	13.6	387	1.0	0.61	<1	77	<1	244	2	3.2	2.7	0.2	1.56	15	3	5
36390658	<0.2	13.0	53	0.5	12.7	<1	2	65	1230	47	<0.2	1.7	<0.2	11.4	<1	<1	9
36390659	0.3	13.2	572	1.0	1.78	1	26	55	230	276	<0.2	1.4	<0.2	6.94	10	<1	9
36390660	<0.2	0.14	3	<0.2	0.02	<1	<1	1	294	2	<0.2	<0.2	<0.2	0.38	<1	<1	<1
36390663	0.4	19.8	305	1.4	0.06	<1	16	17	107	44	<0.2	1.4	<0.2	6.58	14	<1	14
LS4/CAR110	4.4	13.6	1690	3.5	3.19	<1	825	78	194	240	12.4	8.4	9.7	4.50	22	27	6
36390664	1.0	15.0	291	1.1	0.17	<1	24	12	142	50	<0.2	1.3	<0.2	4.98	12	<1	14
36390668	<0.2	12.1	24500	0.8	0.25	<1	13	<1	256	6	3.0	2.8	<0.2	2.12	12	1	4
36390663 R	0.4	20.3	311	1.5	0.06	<1	17	19	117	46	<0.2	1.5	<0.2	6.62	15	<1	15
LS4/CAR110	3.5	13.7	1710	3.6	3.25	<1	762	77	199	216	12.1	8.4	9.1	4.58	18	24	7
36390579	<0.2	10.4	1050	2.5	0.45	<1	46	33	732	192	1.1	2.2	0.5	5.36	14	2	4
36390588	<0.2	12.1	9860	3.2	1.23	<1	91	29	64	1220	3.7	4.4	1.4	8.74	19	5	10
36390593	<0.2	15.1	207	0.6	0.91	<1	38	17	180	175	1.8	8.5	0.3	5.50	11	3	86
36390594	<0.2	14.1	228	0.3	0.18	<1	25	26	137	146	2.9	10.1	<0.2	6.72	11	2	107
36390595	<0.2	11.2	210	0.9	0.14	<1	9	8	157	68	<0.2	2.2	<0.2	3.03	10	<1	15
36390596	<0.2	14.8	274	1.1	0.16	1	22	24	155	126	<0.2	4.1	<0.2	8.95	11	<1	49
36390598	<0.2	20.6	453	1.4	0.25	1	28	35	161	174	1.8	10.0	<0.2	8.30	34	1	114
36390599	<0.2	19.6	315	1.0	0.19	<1	21	37	101	742	<0.2	9.3	<0.2	11.6	16	<1	101
36390620	<0.2	15.2	4420	3.1	0.39	<1	18	35	332	586	<0.2	1.5	<0.2	5.90	14	<1	6
36390639	<0.2	21.6	219	1.1	5.00	<1	44	90	66	744	<0.2	7.3	<0.2	16.2	18	<1	54
36390662	<0.2	18.5	321	1.4	0.07	<1	18	27	69	187	<0.2	3.7	<0.2	9.09	21	<1	38
36390665	<0.2	12.4	242	<0.2	1.24	<1	94	36	207	549	33.7	52.3	2.3	6.66	15	18	493
36390662 R	<0.2	18.3	317	1.3	0.06	<1	17	27	70	184	<0.2	3.9	<0.2	8.93	21	<1	38
LS4/CAR110	3.8	13.5	1660	3.4	3.24	<1	799	81	197	224	12.5	8.5	9.2	4.52	21	26	8
36390551	<0.2	20.6	325	<0.2	0.88	<1	45	111	144	5490	13.0	39.5	0.6	13.5	27	7	512

SRC Geoanalytical Laboratories

125 - 15 Innovation Blvd., Saskatoon, Saskatchewan, S7N 2X8
 Tel: (306) 933-8118 Fax: (306) 933-5656 Email: geolab@src.sk.ca

Report No: G-11-1169

IOS Services Geoscientifiques Inc.

Attention: Rejean Girard
 PO #/Project: 363 Jonathan L
 Samples: 149

Date of Report: August 26, 2011

ICP1 Total Digestion

Sample Number	Ag ppm	Al2O3 wt %	Ba ppm	Be ppm	CaO wt %	Cd ppm	Ce ppm	Co ppm	Cr ppm	Cu ppm	Dy ppm	Er ppm	Eu ppm	Fe2O3 wt %	Ga ppm	Gd ppm	Hf ppm
36390585	<0.2	12.3	14600	3.0	0.96	<1	87	20	77	537	3.4	3.7	0.9	9.10	18	4	15
36390597	<0.2	19.1	496	<0.2	0.90	1	32	46	320	1260	16.8	37.5	0.6	8.56	37	7	491
36390621	0.5	8.61	7170	4.5	0.73	<1	15	27	56	1700	2.2	5.0	<0.2	6.16	28	11	6
36390641	<0.2	20.3	761	<0.2	0.18	<1	83	40	273	190	25.0	51.2	0.9	11.7	32	11	577
36390661	<0.2	20.1	500	<0.2	0.11	<1	21	51	228	145	10.2	30.2	<0.2	11.5	29	3	390
36390666	<0.2	20.0	412	<0.2	0.87	<1	54	56	261	203	27.4	56.8	1.1	11.0	43	13	722
36390591	<0.2	11.2	10300	2.1	0.57	<1	<1	5	32	162	<0.2	2.9	<0.2	2.20	22	7	<1
36390669	2.2	4.20	6240	1.3	0.11	<1	<1	4	24	106	3.9	8.8	<0.2	5.96	22	20	<1
36390580	0.5	11.0	2340	4.3	0.96	<1	<1	15	66	1020	17.0	12.0	3.4	3.10	37	24	<1
36390583	0.9	10.8	8660	7.2	1.15	<1	<1	32	<1	2420	<0.2	9.2	<0.2	7.91	62	27	<1
36390618	<0.2	10.5	15600	9.6	1.29	<1	<1	39	<1	1310	<0.2	8.8	<0.2	7.83	72	24	1
36390667	3.3	3.80	6410	<0.2	0.53	<1	16	<1	14	111	16.5	17.4	<0.2	7.53	27	43	<1
36390667 R	3.0	3.83	6740	<0.2	0.54	<1	14	<1	16	110	16.7	16.8	<0.2	7.52	28	44	<1

SRC Geoanalytical Laboratories

IOS Services Geoscientifiques Inc.

125 - 15 Innovation Blvd., Saskatoon, Saskatchewan, S7N 2X8

Report No: G-11-1169

Attention: Rejean Girard

Tel: (306) 933-8118 Fax: (306) 933-5656 Email: geolab@src.sk.ca

PO #/Project: 363 Jonathan L

Date of Report: August 26, 2011

Samples: 149

ICP1 Total Digestion

Sample Number	Ho ppm	K2O wt %	La ppm	Li ppm	MgO wt %	MnO wt %	Mo ppm	Na2O wt %	Nb ppm	Nd ppm	Ni ppm	P2O5 wt %	Pb ppm	Pr ppm	Sc ppm	Sm ppm	Sr ppm
LS4/CAR110	3	3.16	414	85	3.32	0.08	66	1.32	17	362	406	0.88	450	90	10	44	3
36390550	1	3.33	164	107	1.46	0.09	4	3.91	30	102	11	0.22	102	29	14	15	4
36390552	1	0.89	2	63	7.01	0.59	<1	2.21	7	1	162	0.04	8	<1	50	<1	<1
36390553	<1	0.69	1	76	5.37	1.07	<1	1.79	9	<1	135	0.03	7	<1	44	<1	1
36390554	<1	1.34	9	35	1.08	0.04	<1	2.84	1	5	16	0.10	5	1	4	<1	<1
36390555	<1	0.46	2	74	8.81	0.29	<1	3.37	4	2	178	0.04	10	<1	49	<1	<1
36390556	<1	2.59	24	34	3.09	0.15	<1	2.34	8	16	116	0.10	19	<1	24	2	<1
36390557	<1	2.23	12	44	5.28	0.18	1	2.92	7	7	109	0.10	647	<1	34	<1	<1
36390558	<1	2.00	14	84	4.22	0.13	5	1.98	6	9	201	0.07	22	<1	15	1	<1
36390559	1	1.83	2	33	6.36	0.22	<1	1.43	5	3	141	0.05	11	<1	52	1	<1
36390560	<1	0.36	2	73	5.88	0.19	<1	0.97	5	2	107	0.06	7	<1	40	1	<1
36390561	<1	2.56	31	5	2.53	0.03	<1	8.38	18	14	9	0.10	81	4	6	2	<1
36390562	1	1.88	17	16	2.53	0.08	14	3.91	5	16	52	0.06	281	2	14	4	<1
36390563	<1	6.10	7	65	3.94	0.16	1	2.90	4	4	107	<0.01	10	<1	18	<1	<1
36390564	1	1.04	3	47	5.95	0.20	<1	2.28	5	4	150	0.07	7	<1	46	<1	<1
36390565	<1	1.81	2	90	9.03	0.40	<1	1.82	6	1	122	0.05	29	<1	43	<1	<1
36390566	<1	0.84	1	37	9.61	0.16	<1	3.24	2	1	126	0.03	5	<1	50	1	<1
36390567	<1	0.92	3	39	8.88	0.20	<1	2.33	5	3	166	0.04	10	<1	44	1	<1
36390568	<1	0.46	3	13	4.61	0.14	1	0.46	4	3	45	0.18	7	<1	10	1	<1
36390569	<1	0.06	<1	4	26.8	0.14	<1	0.39	3	<1	1600	<0.01	10	<1	21	3	<1
LS4/CAR110	3	3.13	421	85	3.35	0.08	69	1.31	17	361	401	0.90	446	93	10	44	4
36390570	<1	0.07	<1	30	30.7	0.09	<1	0.03	4	<1	1370	0.02	16	<1	8	1	<1
36390571	<1	1.19	5	14	6.55	0.21	<1	2.52	7	4	87	0.07	7	<1	46	<1	<1
36390572	<1	3.74	5	58	3.48	0.04	4	1.27	4	3	59	0.13	5	<1	8	<1	<1
36390573	1	1.13	5	34	5.00	0.20	17	2.36	10	4	101	0.89	21	<1	47	<1	<1
36390574	1	0.98	12	41	5.21	0.11	<1	2.11	8	13	183	0.12	15	<1	37	2	<1
36390575	<1	<0.01	<1	2	0.02	<0.01	4	<0.01	<1	<1	5	<0.01	<1	<1	<1	<1	1
36390576	<1	2.56	2	49	8.82	0.23	<1	2.59	5	1	184	0.04	8	<1	42	<1	7
36390577	<1	1.78	9	26	1.01	0.04	1	5.20	<1	6	6	0.07	11	1	3	<1	<1
36390578	<1	2.19	29	213	9.99	0.10	3	1.33	7	19	346	0.14	25	1	24	3	<1
36390581	1	4.44	52	117	4.44	0.07	1	2.00	13	46	16	0.50	18	9	16	6	<1
36390582	1	5.06	49	121	4.49	0.07	2	0.80	14	45	21	0.49	59	8	17	5	<1
36390584	1	3.81	47	121	5.84	0.11	<1	2.28	13	41	12	0.47	40	8	16	5	<1
36390586	1	5.06	53	127	5.40	0.09	1	1.35	13	45	16	0.49	14	9	16	6	<1
36390587	1	2.64	21	236	9.96	0.14	5	1.71	8	16	126	0.15	79	<1	36	1	<1
36390589	1	1.57	37	188	8.83	0.09	4	1.68	12	32	194	0.27	43	3	26	4	<1
36390590	<1	3.30	22	23	0.56	0.02	<1	4.34	17	15	6	0.02	37	3	5	3	<1
36390592	<1	0.02	<1	2	0.02	<0.01	4	0.02	<1	<1	3	<0.01	<1	<1	<1	<1	<1
36390600	<1	4.09	26	4	0.18	<0.01	1	3.51	11	17	4	<0.01	4	5	2	3	<1
36390587 R	1	2.70	22	243	10.2	0.14	4	1.76	9	17	129	0.15	81	<1	37	1	<1

SRC Geoanalytical Laboratories

125 - 15 Innovation Blvd., Saskatoon, Saskatchewan, S7N 2X8
 Tel: (306) 933-8118 Fax: (306) 933-5656 Email: geolab@src.sk.ca

Report No: G-11-1169

IOS Services Geoscientifiques Inc.

Attention: Rejean Girard
 PO #/Project: 363 Jonathan L
 Samples: 149

Date of Report: August 26, 2011

ICP1 Total Digestion

Sample Number	Ho ppm	K2O wt %	La ppm	Li ppm	MgO wt %	MnO wt %	Mo ppm	Na2O wt %	Nb ppm	Nd ppm	Ni ppm	P2O5 wt %	Pb ppm	Pr ppm	Sc ppm	Sm ppm	Sr ppm
LS4/CAR110	3	3.18	416	86	3.35	0.08	66	1.33	17	362	422	0.89	440	92	10	45	3
36390601	<1	0.05	2	2	24.4	0.12	<1	0.54	5	1	1250	0.01	6	<1	20	3	<1
36390602	1	5.04	169	10	0.53	0.03	7	3.74	4	114	6	0.02	49	36	3	17	<1
36390603	<1	1.27	5	10	0.54	0.01	1	4.85	<1	<1	4	<0.01	35	<1	<1	<1	<1
36390604	<1	0.03	1	<1	2.55	0.29	4	0.03	3	<1	27	<0.01	5	<1	<1	<1	<1
36390605	<1	6.72	25	2	0.12	<0.01	3	3.05	<1	14	9	0.01	45	4	<1	2	<1
36390606	<1	2.05	18	17	1.85	0.10	<1	0.67	10	12	29	0.27	20	3	8	2	8
36390607	2	4.29	64	55	2.40	0.07	5	3.73	31	46	69	0.03	46	10	15	8	<1
36390608	<1	7.34	51	10	0.55	0.02	5	2.62	6	35	5	0.18	32	10	3	6	<1
36390609	<1	9.83	112	6	0.25	0.08	1	3.94	4	78	24	0.04	24	23	4	13	2
36390610	<1	0.48	2	18	5.73	0.21	<1	3.81	4	2	128	0.06	6	<1	41	1	<1
36390611	1	2.26	2	40	7.88	0.28	<1	1.97	7	4	116	0.04	13	<1	48	1	<1
36390612	2	1.67	30	22	1.51	0.10	<1	3.66	15	28	9	0.24	10	5	14	6	<1
36390613	<1	1.77	26	35	5.18	0.13	<1	4.17	5	17	101	0.16	10	1	20	2	<1
36390614	<1	4.21	40	98	4.45	0.06	3	2.38	5	19	86	0.06	9	6	6	2	<1
36390615	<1	3.28	3	12	0.26	0.03	3	4.45	11	2	4	<0.01	38	<1	3	<1	1
36390616	<1	0.48	36	58	11.9	0.16	<1	2.80	5	17	383	0.06	3	1	27	3	<1
36390617	<1	3.30	11	47	1.29	0.04	3	3.66	12	6	13	<0.01	50	1	3	1	<1
36390619	1	5.96	48	123	4.14	0.04	<1	0.34	14	41	23	0.37	31	8	14	5	<1
36390622	<1	2.83	38	93	2.29	0.05	<1	3.94	12	20	12	0.08	20	5	7	3	<1
LS4/CAR110	3	3.14	417	85	3.29	0.07	59	1.32	18	360	400	0.88	452	92	10	45	4
36390623	1	1.54	8	67	5.86	0.19	<1	1.53	12	13	51	0.26	25	<1	39	2	<1
36390624	1	0.34	2	102	8.83	0.21	<1	2.04	6	3	127	0.05	5	<1	46	<1	<1
36390625	<1	0.91	27	74	6.10	0.11	<1	4.13	6	20	148	0.17	20	<1	26	2	<1
36390626	1	0.52	15	45	5.96	0.14	<1	3.76	9	14	156	0.18	6	<1	27	2	<1
36390627	<1	1.48	22	64	1.30	0.06	<1	5.00	4	12	9	0.03	10	4	1	2	<1
36390628	<1	0.87	14	2	0.08	<0.01	6	0.02	2	10	5	<0.01	<1	3	1	1	<1
36390629	1	7.43	78	50	2.41	0.12	4	0.08	28	80	13	2.37	4	12	36	6	<1
36390630	<1	4.44	17	73	4.51	0.07	27	0.91	6	12	95	0.15	3	<1	15	1	<1
36390631	<1	7.28	2	7	0.14	0.16	4	3.01	<1	1	6	0.09	35	<1	6	<1	<1
36390632	<1	0.01	<1	3	<0.01	<0.01	3	<0.01	<1	<1	4	<0.01	<1	<1	<1	<1	2
36390633	<1	9.09	14	3	0.22	0.01	5	1.99	4	9	7	0.01	41	2	2	1	3
36390634	<1	1.78	1	21	7.62	0.20	5	3.18	4	2	192	0.04	4	<1	45	<1	<1
36390635	<1	4.98	14	102	8.62	0.14	2	1.62	18	<1	548	<0.01	24	<1	10	<1	<1
36390636	1	4.08	11	66	4.98	0.08	3	1.50	9	<1	283	<0.01	23	<1	5	<1	7
36390637	<1	6.74	4	102	7.15	0.10	1	0.37	16	1	699	<0.01	9	<1	13	<1	10
36390638	1	7.24	7	103	4.71	0.07	1	0.10	101	<1	299	<0.01	37	<1	53	<1	27
36390640	<1	3.29	5	100	7.74	0.13	5	0.40	18	<1	157	<0.01	54	<1	9	<1	7
36390642	<1	3.20	9	31	2.41	0.07	5	4.93	29	<1	35	0.01	20	<1	10	<1	8
36390637 R	<1	6.80	3	103	7.22	0.10	2	0.38	15	1	695	<0.01	10	<1	13	<1	9

SRC Geoanalytical Laboratories

125 - 15 Innovation Blvd., Saskatoon, Saskatchewan, S7N 2X8
 Tel: (306) 933-8118 Fax: (306) 933-5656 Email: geolab@src.sk.ca

Report No: G-11-1169

IOS Services Geoscientifiques Inc.

Attention: Rejean Girard

PO #/Project: 363 Jonathan L

Samples: 149

Date of Report: August 26, 2011

ICP1 Total Digestion

Sample Number	Ho ppm	K2O wt %	La ppm	Li ppm	MgO wt %	MnO wt %	Mo ppm	Na2O wt %	Nb ppm	Nd ppm	Ni ppm	P2O5 wt %	Pb ppm	Pr ppm	Sc ppm	Sm ppm	Sn ppm
LS4/CAR110	3	3.13	410	86	3.33	0.08	67	1.32	17	356	413	0.88	454	91	10	44	4
36390643	<1	0.01	<1	1	0.01	<0.01	3	<0.01	<1	<1	3	<0.01	<1	<1	<1	<1	1
36390644	<1	2.96	4	52	8.60	0.23	<1	2.66	5	3	180	0.06	7	<1	42	1	1
36390645	<1	7.20	11	5	0.34	0.01	5	1.42	7	5	8	0.01	10	1	2	<1	<1
36390646	<1	0.04	1	11	33.3	0.12	<1	0.14	4	<1	1830	<0.01	4	<1	15	1	<1
36390647	<1	0.07	2	26	24.4	0.15	<1	0.60	4	1	943	0.02	4	<1	31	2	<1
36390648	<1	1.82	1	39	10.5	0.19	<1	2.54	4	<1	175	0.04	5	<1	42	<1	<1
36390649	1	4.16	4	41	2.51	0.05	9	0.55	39	1	57	0.06	15	<1	13	<1	14
36390650	1	0.73	12	20	1.55	0.03	7	0.08	22	<1	47	<0.01	132	<1	8	<1	<1
36390651	<1	2.11	18	41	2.55	0.08	72	1.25	33	3	60	<0.01	153	<1	11	<1	3
36390652	1	0.46	2	14	4.90	1.47	4	1.15	16	2	90	0.08	14	<1	31	<1	<1
36390653	<1	0.17	3	20	1.17	0.02	8	0.07	1	1	47	<0.01	<1	<1	1	<1	4
36390654	<1	0.20	<1	67	5.01	0.11	<1	0.54	3	1	75	0.02	4	<1	25	1	<1
36390655	1	6.42	126	28	1.60	0.03	10	1.23	6	87	19	0.13	350	26	7	19	<1
36390656	<1	0.21	3	17	8.97	0.18	<1	2.62	6	2	234	0.08	5	<1	40	<1	<1
36390657	<1	5.41	39	17	0.36	0.02	6	3.35	8	26	6	0.03	38	8	3	5	<1
36390658	<1	0.27	1	13	12.4	0.19	<1	1.82	3	<1	313	0.03	6	<1	43	2	<1
36390659	<1	2.68	12	30	1.92	0.06	4	2.97	4	7	75	0.05	21	1	8	1	<1
36390660	<1	0.03	<1	2	0.10	<0.01	3	0.03	<1	<1	3	<0.01	<1	<1	<1	<1	<1
36390663	<1	4.13	8	67	4.09	0.06	1	2.67	17	2	64	<0.01	14	<1	9	<1	7
LS4/CAR110	3	3.14	423	85	3.32	0.07	63	1.32	17	366	415	0.90	446	94	10	45	3
36390664	<1	3.97	12	66	3.44	0.05	1	0.89	14	5	33	<0.01	17	1	7	<1	3
36390668	<1	5.60	7	7	0.16	<0.01	8	2.85	<1	4	4	<0.01	108	1	<1	<1	<1
36390663 R	<1	4.21	8	68	4.17	0.06	1	2.71	18	3	66	<0.01	16	<1	9	<1	8
LS4/CAR110	2	3.17	414	86	3.38	0.07	66	1.29	15	349	413	0.91	448	90	10	43	3
36390579	<1	1.37	25	119	5.90	0.06	2	2.06	6	20	300	0.05	58	4	9	4	<1
36390588	1	5.13	51	109	3.95	0.05	3	0.95	16	49	45	0.45	487	8	16	6	<1
36390593	1	2.36	20	61	4.21	0.08	5	2.90	22	<1	79	<0.01	227	2	10	3	<1
36390594	1	2.81	18	70	4.57	0.08	3	1.42	20	<1	47	<0.01	317	<1	10	3	<1
36390595	<1	2.98	7	40	2.04	0.03	4	1.13	5	<1	24	<0.01	47	<1	3	<1	2
36390596	<1	3.08	12	80	5.50	0.09	5	0.55	32	<1	100	<0.01	111	<1	15	<1	7
36390598	1	6.16	16	98	4.95	0.08	2	0.16	68	<1	104	<0.01	198	<1	36	<1	12
36390599	1	3.60	15	101	7.21	0.12	2	1.19	43	<1	227	<0.01	149	<1	20	<1	6
36390620	<1	2.69	13	138	5.94	0.08	2	3.19	11	8	144	0.05	434	<1	8	<1	<1
36390639	1	2.70	29	146	11.5	0.26	<1	0.87	8	2	916	<0.01	230	3	9	4	2
36390662	<1	4.30	9	82	5.31	0.09	2	0.95	32	<1	99	<0.01	44	<1	17	<1	10
36390665	10	3.26	64	78	4.82	0.10	1	0.12	70	<1	75	0.03	1470	3	28	10	<1
36390662 R	<1	4.21	9	81	5.24	0.08	2	0.94	31	<1	100	<0.01	42	<1	17	<1	12
LS4/CAR110	3	3.21	415	85	3.33	0.07	63	1.30	16	359	403	0.90	438	93	10	44	3
36390551	7	4.00	65	110	7.96	0.16	2	0.32	64	<1	454	<0.01	557	<1	40	4	<1

SRC Geoanalytical Laboratories

125 - 15 Innovation Blvd., Saskatoon, Saskatchewan, S7N 2X8
 Tel: (306) 933-8118 Fax: (306) 933-5656 Email: geolab@src.sk.ca

Report No: G-11-1169

IOS Services Geoscientifiques Inc.

Attention: Rejean Girard
 PO #/Project: 363 Jonathan L
 Samples: 149

Date of Report: August 26, 2011

ICP1 Total Digestion

Sample Number	Ho ppm	K2O wt %	La ppm	Li ppm	MqO wt %	MnO wt %	Mo ppm	Na2O wt %	Nb ppm	Nd ppm	Ni ppm	P2O5 wt %	Pb ppm	Pr ppm	Sc ppm	Sm ppm	Sn ppm
36390585	1	4.67	46	122	4.26	0.06	7	0.93	18	43	46	0.42	526	6	15	4	<1
36390597	7	5.66	52	97	4.78	0.09	<1	0.09	110	<1	189	0.02	537	<1	54	<1	7
36390621	3	2.48	27	79	2.85	0.04	70	0.99	25	42	49	0.31	1430	<1	13	1	<1
36390641	9	5.64	97	119	6.74	0.11	1	0.09	117	<1	173	0.03	453	<1	53	6	2
36390661	5	5.42	41	112	6.59	0.11	2	0.13	93	<1	287	0.02	258	<1	44	<1	4
36390666	10	5.22	87	111	6.14	0.12	<1	0.09	113	<1	277	0.03	806	<1	60	4	<1
36390591	2	3.06	16	41	1.21	0.05	6	3.43	18	19	23	0.02	1650	<1	3	<1	<1
36390669	8	1.93	15	36	0.56	0.02	36	0.15	13	62	53	0.03	2380	<1	1	3	2
36390580	7	1.58	16	75	2.43	0.06	44	3.00	22	63	84	0.04	1320	<1	6	10	4
36390583	9	3.95	28	124	4.46	0.07	9	1.14	46	74	78	0.38	5320	<1	16	<1	<1
36390618	9	2.99	24	148	5.08	0.08	3	1.13	50	65	87	0.43	6300	<1	18	<1	<1
36390667	13	1.66	67	8	0.15	0.02	204	0.73	14	123	10	0.01	3490	<1	1	13	<1
36390667 R	13	1.65	63	8	0.15	0.02	207	0.74	14	121	12	0.01	3520	<1	1	13	<1

SRC Geoanalytical Laboratories

125 - 15 Innovation Blvd., Saskatoon, Saskatchewan, S7N 2X8
 Tel: (306) 933-8118 Fax: (306) 933-5656 Email: geolab@src.sk.ca

Report No: G-11-1169

IOS Services Geoscientifiques Inc.

Attention: Rejean Girard
 PO #/Project: 363 Jonathan L
 Samples: 149

Date of Report: August 26, 2011

ICP1 Total Digestion

Sample Number	Sr ppm	Ta ppm	Tb ppm	Th ppm	TiO2 wt %	U, ICP ppm	V ppm	W ppm	Y ppm	Yb ppm	Zn ppm	Zr ppm
LS4/CAR110	710	<1	2	130	0.51	3500	245	5	61	4.5	126	290
36390550	119	<1	<1	200	0.83	57	45	<1	43	3.6	140	919
36390552	62	<1	<1	2	0.93	9	331	2	25	2.5	142	32
36390553	55	<1	<1	2	0.67	13	287	2	20	2.0	118	40
36390554	128	<1	<1	3	0.28	3	33	66	6	0.5	39	89
36390555	183	<1	<1	1	0.83	4	303	<1	18	1.8	189	42
36390556	103	<1	<1	7	0.83	4	181	2	20	2.0	131	152
36390557	90	<1	<1	5	0.93	4	237	<1	21	2.2	548	131
36390558	43	<1	<1	6	0.45	5	102	7	14	1.6	2350	124
36390559	109	<1	<1	1	1.07	2	380	<1	23	2.1	138	14
36390560	156	<1	<1	1	1.05	5	343	2	21	2.0	122	10
36390561	157	1	<1	107	0.30	170	44	9	25	3.4	32	224
36390562	238	<1	<1	6	0.71	2	93	<1	33	2.9	67	279
36390563	94	<1	<1	3	0.68	3	179	2	8	0.5	155	68
36390564	117	<1	<1	1	1.31	<2	405	<1	25	2.2	124	14
36390565	112	<1	<1	1	0.82	5	287	<1	18	1.6	192	45
36390566	135	<1	<1	1	0.76	3	271	<1	16	1.4	146	14
36390567	127	<1	<1	1	1.04	3	349	<1	21	2.0	150	11
36390568	79	<1	<1	1	0.24	2	171	184	15	1.3	93	4
36390569	4	<1	<1	1	0.22	8	115	111	7	0.6	105	<1
LS4/CAR110	710	<1	2	126	0.51	3370	246	4	59	4.3	134	286
36390570	1	<1	<1	1	0.14	5	66	5	3	0.2	173	2
36390571	160	<1	<1	1	1.26	3	354	<1	22	2.0	108	23
36390572	29	<1	<1	7	0.42	7	72	8	8	0.8	72	111
36390573	313	<1	<1	3	1.55	6	402	12	26	2.6	180	78
36390574	118	<1	<1	2	1.38	<2	302	<1	29	2.7	984	53
36390575	1	<1	<1	<1	<0.01	<2	2	1	<1	<0.1	2	5
36390576	88	<1	<1	1	0.73	5	257	<1	21	2.1	169	36
36390577	585	<1	<1	1	0.27	<2	30	<1	4	0.4	57	69
36390578	54	<1	<1	4	0.54	44	171	2	13	1.2	143	73
36390581	61	<1	<1	3	1.53	10	121	5	35	3.0	71	378
36390582	134	<1	<1	4	1.59	106	206	4	32	2.7	67	371
36390584	58	<1	<1	3	1.54	26	227	<1	33	2.7	94	357
36390586	45	<1	<1	3	1.56	14	144	7	33	2.9	77	355
36390587	42	<1	<1	3	1.08	170	378	<1	26	2.2	163	103
36390589	1610	<1	<1	10	0.95	89	559	6	32	2.7	126	177
36390590	101	2	<1	14	0.10	4	13	<1	23	3.2	22	63
36390592	1	<1	<1	<1	<0.01	<2	1	2	<1	<0.1	2	4
36390600	49	2	<1	17	0.09	<2	3	<1	25	3.2	8	196
36390587 R	44	<1	<1	3	1.10	177	384	1	26	2.3	168	101

SRC Geoanalytical Laboratories

IOS Services Geoscientifiques Inc.

125 - 15 Innovation Blvd., Saskatoon, Saskatchewan, S7N 2X8

Report No: G-11-1169

Attention: Rejean Girard

Tel: (306) 933-8118 Fax: (306) 933-5656 Email: geolab@src.sk.ca

PO #/Project: 363 Jonathan L

Date of Report: August 26, 2011

Samples: 149

ICP1 Total Digestion

Sample Number	Sr ppm	Ta ppm	Tb ppm	Th ppm	TiO2 wt %	U, ICP ppm	V ppm	W ppm	Y ppm	Yb ppm	Zn ppm	Zr ppm
LS4/CAR110	712	<1	2	128	0.51	3460	248	2	61	4.5	121	283
36390601	14	<1	<1	1	0.27	7	221	<1	10	0.8	66	2
36390602	80	<1	<1	343	0.12	49	6	<1	27	2.2	34	566
36390603	93	1	<1	161	0.02	7	2	<1	5	0.9	16	309
36390604	2	<1	<1	2	0.02	4	6	<1	3	0.3	93	8
36390605	246	2	<1	20	0.02	4	3	<1	5	0.4	8	59
36390606	493	<1	<1	8	0.40	8	101	163	13	1.2	56	131
36390607	221	<1	<1	45	0.60	10	102	1	60	5.4	121	140
36390608	175	1	<1	24	0.15	3	15	<1	17	1.0	26	269
36390609	118	1	<1	46	0.12	<2	20	<1	13	1.1	17	157
36390610	121	<1	<1	2	1.00	2	332	<1	21	1.9	130	18
36390611	73	<1	<1	1	0.98	5	399	<1	29	2.7	212	52
36390612	189	<1	<1	6	0.96	4	47	<1	58	5.2	85	350
36390613	226	<1	<1	4	0.72	2	145	1	20	1.8	99	94
36390614	67	<1	<1	28	0.47	5	79	<1	11	1.1	57	404
36390615	52	1	<1	16	0.07	12	4	<1	13	1.3	26	17
36390616	98	<1	<1	3	0.44	4	204	<1	19	1.6	80	52
36390617	103	1	<1	7	0.10	33	31	<1	7	0.8	43	48
36390619	52	<1	<1	4	1.19	25	115	4	35	3.1	60	402
36390622	163	<1	<1	11	0.43	4	42	<1	17	1.6	70	202
LS4/CAR110	704	<1	2	122	0.50	3400	240	3	59	4.3	125	290
36390623	183	<1	<1	2	1.56	4	341	<1	47	4.7	156	66
36390624	101	<1	<1	1	1.09	4	369	<1	24	2.2	139	22
36390625	154	<1	<1	5	1.04	4	233	<1	20	1.7	91	130
36390626	141	<1	<1	4	1.17	3	210	<1	27	2.5	146	158
36390627	84	1	<1	16	0.13	<2	10	<1	17	1.4	33	109
36390628	4	<1	<1	10	0.06	2	8	6	5	0.7	2	63
36390629	46	<1	<1	3	4.68	<2	335	6	54	4.2	87	450
36390630	13	<1	<1	9	0.66	4	120	2	12	1.1	81	139
36390631	81	1	<1	3	<0.01	13	2	<1	12	2.6	7	31
36390632	<1	<1	<1	<1	<0.01	<2	1	2	<1	<0.1	1	5
36390633	91	1	<1	19	0.07	2	6	<1	10	1.4	11	66
36390634	130	<1	<1	1	0.90	3	323	<1	20	1.8	137	19
36390635	26	<1	<1	466	0.40	42	36	3	13	2.4	99	471
36390636	26	<1	<1	521	0.24	49	17	<1	19	2.6	55	411
36390637	10	<1	<1	43	0.31	7	54	<1	6	0.7	80	52
36390638	9	<1	<1	497	1.98	56	215	8	21	5.1	70	1320
36390640	11	<1	<1	233	0.32	54	30	3	8	1.3	140	479
36390642	127	<1	<1	363	0.48	54	33	<1	16	2.6	91	629
36390637 R	10	<1	<1	41	0.30	7	54	<1	6	0.7	84	49

SRC Geoanalytical Laboratories

125 - 15 Innovation Blvd., Saskatoon, Saskatchewan, S7N 2X8
 Tel: (306) 933-8118 Fax: (306) 933-5656 Email: geolab@src.sk.ca

Report No: G-11-1169

IOS Services Geoscientifiques Inc.

Attention: Rejean Girard
 PO #/Project: 363 Jonathan L
 Samples: 149

Date of Report: August 26, 2011

ICP1 Total Digestion

Sample Number	Sr ppm	Ta ppm	Tb ppm	Th ppm	TiO2 wt %	U, ICP ppm	V ppm	W ppm	Y ppm	Yb ppm	Zn ppm	Zr ppm
LS4/CAR110	705	<1	2	120	0.50	3430	243	5	59	4.3	128	271
36390643	1	<1	<1	<1	<0.01	<2	1	1	<1	<0.1	1	5
36390644	129	<1	<1	1	0.85	3	307	<1	20	1.8	214	35
36390645	61	1	<1	13	0.18	3	13	<1	11	1.8	10	175
36390646	10	<1	<1	<1	0.19	5	93	<1	5	0.5	133	<1
36390647	15	<1	<1	1	0.46	4	180	4	11	1.0	105	16
36390648	72	<1	<1	1	0.74	3	284	<1	18	1.7	119	27
36390649	18	<1	<1	104	0.53	17	49	<1	23	3.0	49	273
36390650	19	<1	<1	824	0.36	114	35	2	15	4.3	30	2400
36390651	47	<1	<1	393	0.75	65	41	3	8	1.6	95	678
36390652	149	<1	<1	5	0.86	18	242	1	24	2.2	194	32
36390653	2	<1	<1	1	0.04	<2	12	3	1	0.2	13	8
36390654	51	<1	<1	1	0.50	2	177	<1	10	1.0	71	11
36390655	120	<1	<1	155	0.13	135	19	<1	34	3.0	34	869
36390656	138	<1	<1	3	1.24	4	338	<1	24	2.2	131	36
36390657	91	1	<1	35	0.12	11	7	<1	23	2.2	31	132
36390658	107	<1	<1	2	0.54	4	242	<1	13	1.1	97	21
36390659	114	<1	<1	8	0.37	4	57	1	11	1.3	277	159
36390660	1	<1	<1	1	<0.01	<2	2	1	<1	<0.1	2	5
36390663	38	<1	<1	62	0.38	10	46	<1	7	1.2	56	334
LS4/CAR110	700	<1	2	133	0.51	3390	253	2	60	4.5	132	282
36390664	14	<1	<1	64	0.32	11	28	4	7	1.1	45	338
36390668	527	<1	<1	18	0.04	114	57	1	23	2.8	9	80
36390663 R	39	<1	<1	63	0.39	10	47	<1	7	1.2	57	329
LS4/CAR110	697	<1	1	122	0.50	3120	240	4	62	4.4	121	296
36390579	52	<1	<1	11	0.32	396	267	<1	24	1.7	71	88
36390588	228	<1	<1	10	1.36	1320	610	9	34	2.6	59	342
36390593	42	<1	<1	861	0.44	181	34	<1	44	6.7	73	2490
36390594	26	<1	<1	1110	0.44	179	36	3	50	7.8	76	3020
36390595	16	<1	<1	297	0.15	72	9	<1	11	1.4	32	424
36390596	14	<1	<1	294	0.66	113	58	5	21	3.9	96	1320
36390598	13	<1	<1	905	1.48	235	86	5	43	8.4	103	3310
36390599	24	<1	<1	874	0.88	174	60	6	42	8.2	106	2850
36390620	126	<1	<1	18	0.46	814	655	<1	11	0.6	83	185
36390639	49	<1	<1	816	0.21	192	38	5	45	5.7	186	1460
36390662	19	<1	<1	273	0.70	53	60	<1	19	3.5	76	1050
36390665	38	<1	<1	4620	1.21	930	76	8	253	47.1	104	14600
36390662 R	19	<1	<1	277	0.68	53	59	<1	20	3.6	75	1070
LS4/CAR110	704	<1	2	127	0.50	3270	238	4	61	4.2	120	273
36390551	100	<1	<1	3030	1.44	788	86	15	152	32.4	142	13900

SRC Geoanalytical Laboratories

125 - 15 Innovation Blvd., Saskatoon, Saskatchewan, S7N 2X8
 Tel: (306) 933-8118 Fax: (306) 933-5656 Email: geolab@src.sk.ca

Report No: G-11-1169

IOS Services Geoscientifiques Inc.

Attention: Rejean Girard
 PO #/Project: 363 Jonathan L
 Samples: 149

Date of Report: August 26, 2011

ICP1 Total Digestion

Sample Number	Sr ppm	Ta ppm	Tb ppm	Th ppm	TiO2 wt %	U, ICP ppm	V ppm	W ppm	Y ppm	Yb ppm	Zn ppm	Zr ppm
36390585	313	<1	<1	19	1.32	929	886	5	32	2.3	65	356
36390597	51	<1	<1	2400	2.34	813	157	5	156	36.7	105	12900
36390621	2710	<1	<1	51	0.97	5280	2700	8	35	1.3	60	269
36390641	40	<1	<1	3710	2.32	1020	187	12	212	46.7	101	15000
36390661	18	<1	<1	2180	1.91	428	100	8	130	27.6	106	10400
36390666	45	<1	<1	3870	2.32	1160	158	12	241	51.8	109	19000
36390591	849	<1	<1	42	0.11	4320	1510	15	12	0.6	41	61
36390669	2530	<1	3	89	0.03	12200	714	3	71	4.7	24	20
36390580	123	<1	1	60	0.21	8490	2940	18	85	6.9	39	110
36390583	1040	<1	<1	109	1.23	15400	5660	8	42	1.0	73	302
36390618	468	<1	<1	95	1.42	13600	8010	<1	45	<0.1	95	307
36390667	2540	<1	7	125	0.01	18100	591	1	233	9.9	12	6
36390667 R	2490	<1	7	126	0.01	18300	596	<1	237	10.0	11	5

Total Digestion: A 0.125 g pulp is gently heated in a mixture of HF/HNO3/HClO4 until dry and the residue is dissolved in dilute HNO3.
 The standard is CAR110.

SRC Geoanalytical Laboratories

125 - 15 Innovation Blvd., Saskatoon, Saskatchewan, S7N 2X8
Tel: (306) 933-8118 Fax: (306) 933-5656 Email: geolab@src.sk.ca

Report No: G-11-1169

IOS Services Geoscientifiques Inc.

Attention: Rejean Girard
PO #/Project: 363 Jonathan L
Samples: 149

Date of Report: August 26, 2011

TEST REPORT
Method U3O8

Column Header Details

U3O8 Assay by ICP in wt % (U3O8)

Sample Number	U3O8 wt %
BL4A	0.149
36390588	0.155
36390588 R	0.156
BL2A	0.503
36390621	0.624
36390641	0.110
36390666	0.118
36390641 R	0.107
BL3	1.22
36390591	0.532
36390669	1.50
36390580	1.04
36390583	1.85
36390618	1.66
36390667	2.26
36390667 R	2.24

Uranium Assay: A 1.00 g pulp is digested with 24 ml of 3:1 HCl:HNO3 for 1 hour at 95 C.

SRC Geoanalytical Laboratories

125 - 15 Innovation Blvd., Saskatoon, Saskatchewan, S7N 2X8
Tel: (306) 933-8118 Fax: (306) 933-5656 Email: geolab@src.sk.ca

Report No: G-11-1169

IOS Services Geoscientifiques Inc.

Attention: Rejean Girard
PO #/Project: 363 Jonathan L
Samples: 149

Date of Report: September 02, 2011

Fire Assay

Column Header Details

Au Fire Assay by ICP in ppb (Au)

Sample Number	Au ppb
36390550	<2
36390552	<2
36390553	42
36390554	<2
36390555	<2
36390556	<2
36390557	<2
36390558	<2
36390559	<2
36390560	<2
36390561	<2
36390562	5
36390563	<2
36390564	<2
36390565	<2
36390566	<2
36390567	2
36390568	<2
36390569	<2
36390570	<2
36390571	3
36390572	7
36390573	79
36390574	12
36390575	<2
36390576	<2
36390577	4
36390578	<2
36390581	<2
36390582	<2
36390584	<2
36390586	<2
36390587	<2
36390589	<2
36390590	<2

SRC Geoanalytical Laboratories

Report No: G-11-1169

IOS Services Geoscientifiques Inc.

125 - 15 Innovation Blvd., Saskatoon, Saskatchewan, S7N 2X8
Tel: (306) 933-8118 Fax: (306) 933-5656 Email: geolab@src.sk.ca

Attention: Rejean Girard
PO #/Project: 363 Jonathan L
Samples: 149

Date of Report: September 02, 2011

Fire Assay

Sample Number	Au ppb
36390592	<2
36390600	2
36390587 R	<2
36390601	<2
36390602	3
36390603	9
36390604	4
36390605	<2
36390606	<2
36390607	<2
36390608	2
36390609	<2
36390610	6
36390611	<2
36390612	<2
36390613	<2
36390614	<2
36390615	<2
36390616	<2
36390617	<2
36390619	<2
36390622	<2
36390623	<2
36390624	<2
36390625	4
36390626	<2
36390627	<2
36390628	<2
36390629	5
36390630	9
36390631	<2
36390632	<2
36390633	<2
36390634	525
36390635	3
36390636	10
36390637	<2
36390638	<2
36390640	32
36390642	3

SRC Geoanalytical Laboratories

Report No: G-11-1169

IOS Services Geoscientifiques Inc.

125 - 15 Innovation Blvd., Saskatoon, Saskatchewan, S7N 2X8
 Tel: (306) 933-8118 Fax: (306) 933-5656 Email: geolab@src.sk.ca

Attention: Rejean Girard

PO #/Project: 363 Jonathan L

Samples: 149

Date of Report: September 02, 2011

Fire Assay

Sample Number	Au ppb
36390637 R	<2
36390643	<2
36390644	69
36390645	11
36390646	<2
36390647	2
36390648	<2
36390649	<2
36390650	4
36390651	3
36390652	<2
36390653	8
36390654	2
36390655	4
36390656	<2
36390657	<2
36390658	<2
36390659	9
36390660	<2
36390663	<2
36390664	<2
36390668	<2
36390663 R	<2
LS4/CAR110	N/R
36390579	<2
36390588	<2
36390593	<2
36390594	3
36390595	<2
36390596	<2
36390598	3
36390599	<2
36390620	2
36390639	4
36390662	<2
36390665	14
36390662 R	<2
LS4/CAR110	N/R
36390551	66
36390585	<2

SRC Geoanalytical Laboratories

IOS Services Geoscientifiques Inc.

Attention: Rejean Girard

PO #/Project: 363 Jonathan L

Samples: 149

125 - 15 Innovation Blvd., Saskatoon, Saskatchewan, S7N 2X8
Tel: (306) 933-8118 Fax: (306) 933-5656 Email: geolab@src.sk.ca

Report No: G-11-1169

Date of Report: September 02, 2011

Fire Assay

Sample Number	Au ppb
36390597	2
36390621	5
36390641	<2
36390661	<2
36390666	7
36390591	10
36390669	8
36390580	26
36390583	22
36390618	26
36390667	7
36390667 R	6

Fire Assay: A pulp is subjected to standard fire assaying procedures.